

A detailed historical map of the Warmia and Mazury region, rendered in a light green monochrome. The map shows a network of rivers, numerous towns and castles, and various geographical features. Large letters 'N', 'A', 'G', 'I', 'A', 'R', 'M', 'M', 'land' are scattered across the map, likely representing administrative divisions or historical names. The map is the background for the book cover.

Katalog grodzisk Warmii i Mazur

pod redakcją
Rafała Soleckiego

Tom 4

Katalog grodzisk Warmii i Mazur

Tom 4

Instytut Archeologii
Uniwersytetu Kardynała Stefana Wyszyńskiego w Warszawie

Katalog grodzisk Warmii i Mazur

pod redakcją Rafała Soleckiego

Tom 4

Autorzy:
Przemysław Jażdżyk, Anna Lejzerowicz, Kamil Rabięga,
Daniel Skoczylas, Rafał Solecki, Dawid F. Wieczorek

Warszawa 2024

Katalog grodzisk Warmii i Mazur. Część 2. Warmia Wschodnia i Natangia Tom 4

Publikacja recenzowana do druku przez
dr. Marka Jagodzińskiego
i dr. Łukasza Miechowicza

Redakcja: Rafał Solecki
Projekt książki: Bartłomiej Gruszka
Skład: Rafał Solecki
Korekty: Jagoda Biskont
Projekt okładki: Rafał Solecki

© Copyright by Wydawnictwo Uniwersytetu Kardynała Stefana Wyszyńskiego,
Warszawa 2024

ISBN 978-83-8281-468-2 (wersja drukowana)
ISBN 978-83-8281-469-9 (wersja elektroniczna)

Publikacja naukowa finansowana w ramach programu
Ministra Nauki i Szkolnictwa Wyższego pod nazwą
„Narodowy Program Rozwoju Humanistyki” w latach 2018–2023,
nr projektu 11H 18 0117 86, kwota finansowania 1 346 853 zł



Wydawnictwo:
Wydawnictwo Naukowe
Uniwersytetu Kardynała Stefana Wyszyńskiego w Warszawie
ul. Dewajtis 5, domek nr 2
01-815 Warszawa
+48 22 561 89 23 (wew. 323)
wydawnictwo@uksw.edu.pl

SPIS TREŚCI

GMINA LELKOWO

Głębock, st. 5	7
Jarzeń, st. 1	21
Wilknity, st. 6	41

GMINA ORNETA

Orneta, st. 7	67
Opin, st. 16	79

GMINA PŁOSKINIA

Giedyle, st. 1	103
Dąbrowa, st. 8	125
Dąbrowa, st. 9	145

GMINA PIENIĘŻNO

Bornity, st. 12	165
Wojnity, st. 1	185
Pieniężno (Kajnity, st. 2)	207
Kajnity, st. 1	233
Lubianka, st. 6	249
Wopy, st. 5	305

WERYFIKACJE NEGATYWNE

Wilknity, st. 1, gm. Lelkowo	327
Bieniewo, st. 7, gm. Lubomino	333
Rogiedle, st. 1, gm. Lubomino	339
Wilczkowo, st. 1, gm. Lubomino	343
Chwałęcín, st. 2, gm. Orneta	347
Osetnik, st. 2, gm. Orneta	351
Tawty, st. 1, gm. Orneta	367
Łoźnik, st. 6, gm. Pieniężno	371
Różaniec, st. 2, gm. Pieniężno	377

Wykaz cytowanej literatury	381
----------------------------------	-----

Lubianka, st. 6

Gmina Pieniężno

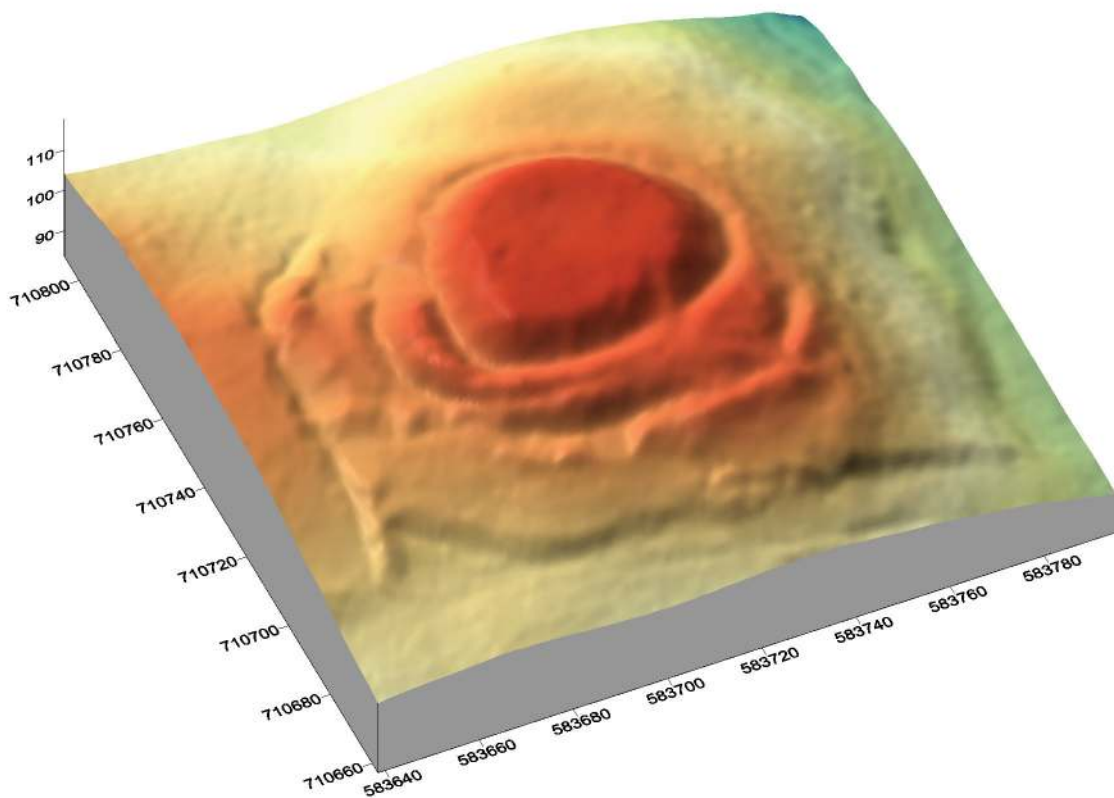
Powiat braniewski

AZP 14-59/13

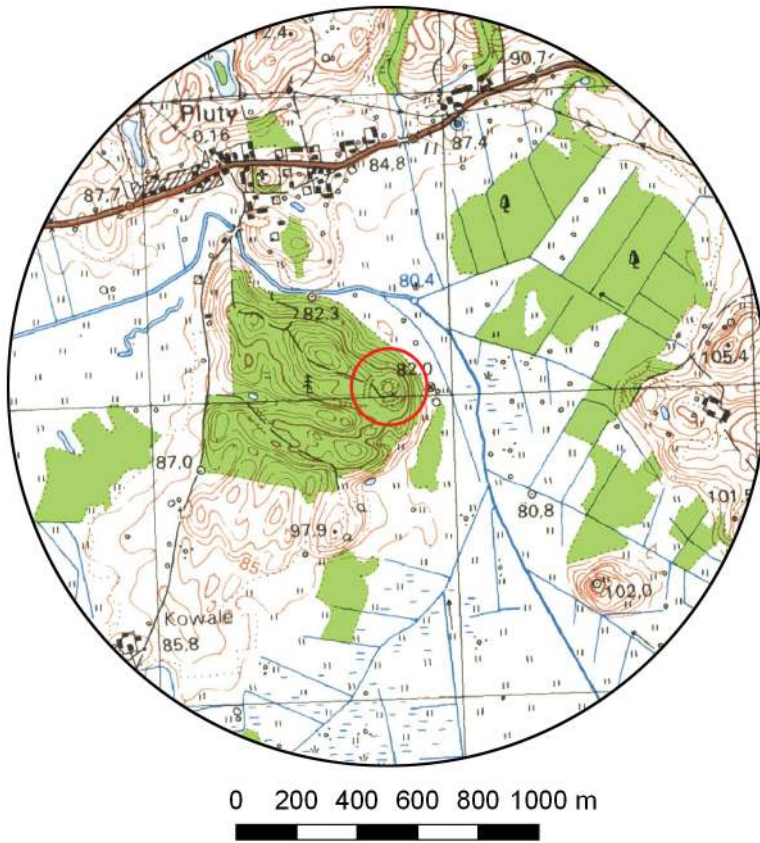
Współrzędne geograficzne:

N 54° 15' 14''

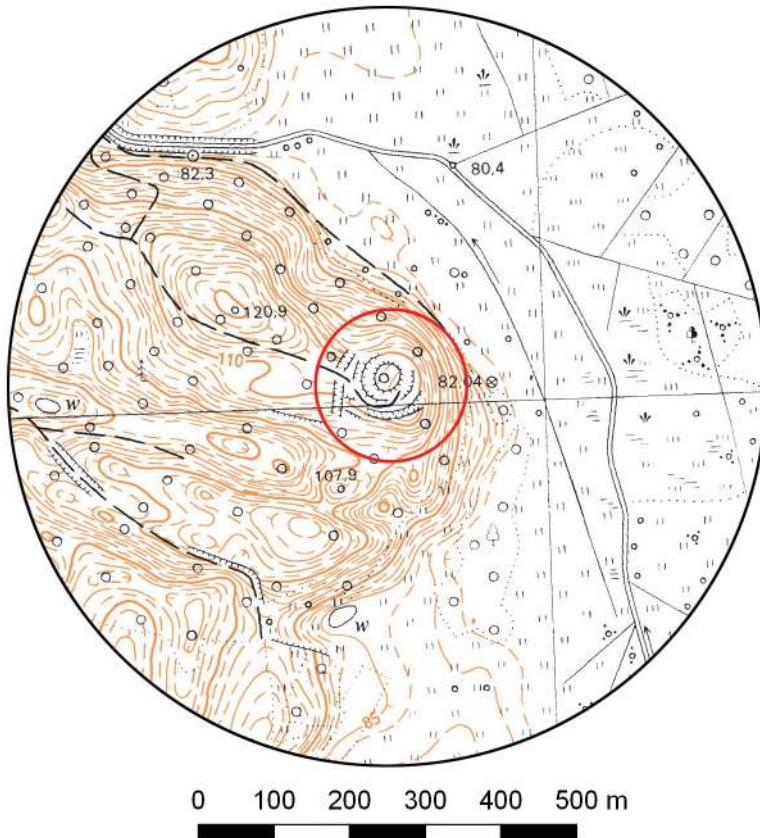
E 20° 17' 07''



Ryc. 1. Grodzisko w Lubiance, st. 6
na mapie w skali 1:25 000
(na podstawie materiałów GUGiK,
oprac. R. Solecki)



Ryc. 2. Grodzisko w Lubiance, st. 6
na mapie w skali 1:10 000
(na podstawie materiałów GUGiK,
oprac. R. Solecki)



POŁOŻENIE GRODZISKA

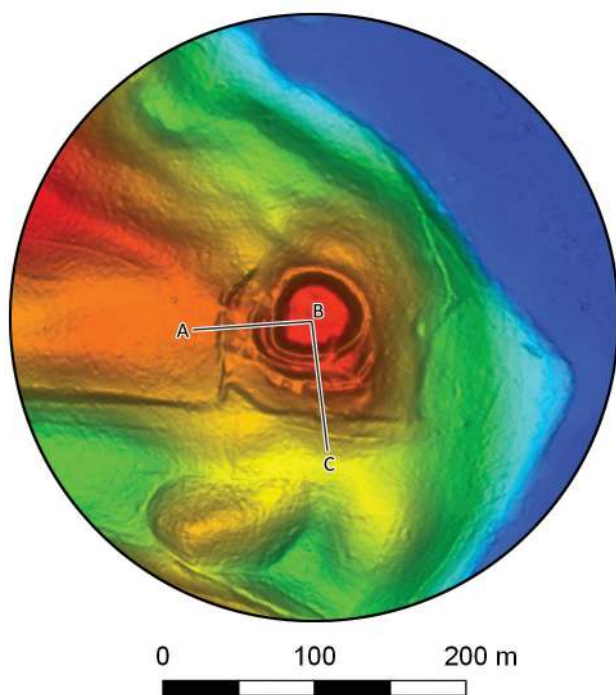
I JEGO FORMA

DANIEL SKOCZYLAS I RAFAŁ SOLECKI

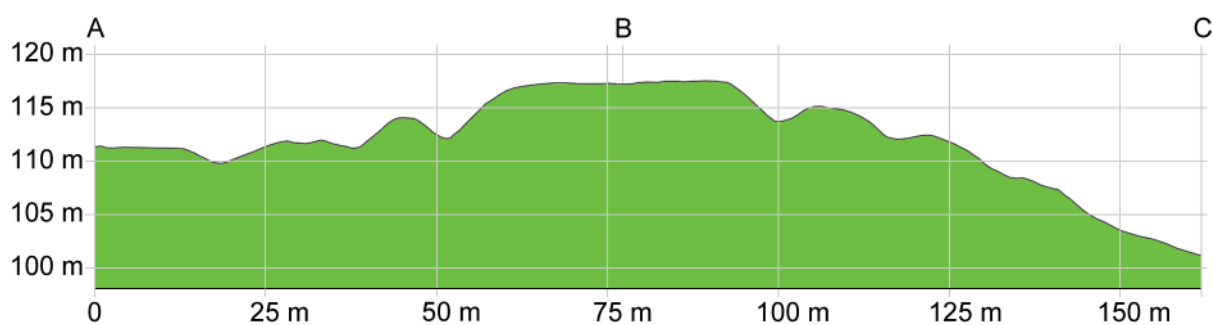
Grodzisko w Lubiance (niem. *Liebenthal*), st. 6 znajduje się w odległości około 2,3 km na północ od wsi. Jest znane od dawna. Znajduje się zarówno w ewidencji stanowisk archeologicznych, jak i zostało wpisane do rejestru zabytków decyzją z 29 grudnia 1969 roku. W tym miejscu należy wyjaśnić, że obecna nazwa grodziska, wynikająca z przypisania go do określonego obrębu ewidencyjnego, nie pokrywa się z nazwą zwyczajową. Grodzisko to bowiem niemal zawsze wiązane było z miejscowością Pluty (niem. *Plauten*), od której oddalone jest o 0,8 km na południe. Nawet na decyzji o wpisie grodziska do rejestru zabytków znajduje się opis „Grodzisko zw. <Starym Zamkiem> w miejscowości Pluty”¹.

¹ Decyzja nr 67-A o wpisaniu dobra kultury do rejestru zabytków z 29 grudnia 1969 r. Księga C-081.

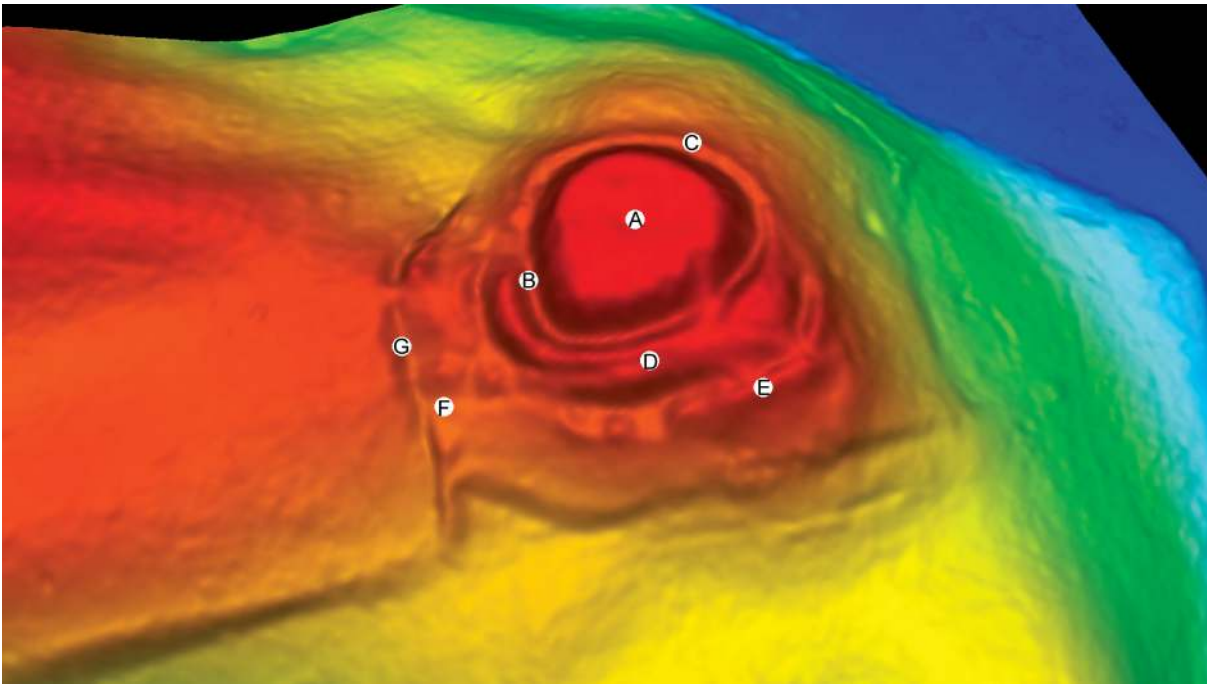
Na południe od miejscowości Pluty znajduje się lokalny masyw, którego szczyt osiąga poziom 120,9 m n.p.m. Grodzisko zajmuje drugi, nieco niższy szczyt położony w odległości około 230 m na południowy wschód (ryc. 3–4). Niższy szczyt ma naturalne cechy obronne – od północy i wschodu chronią go naturalne strome stoki, które opływane są przez płynącą u podnóża masywu rzekę Wałszę. Od południa grodzisko odcina jar, którego północna krawędź nosi ślady intencjonalnego podcinania, prawdopodobnie w celu zwiększenia nachylenia. Dodatkowo od strony południowej zbudowano wał (ryc. 5:E) długości około 70 m, którego względna wysokość wynosi obecnie około 0,9 m. Dogodne dojście jest tylko od strony północno-zachodniej. Od tej strony zbudowano zewnętrzny wał i fosę (ryc. 5:F–G) o długości 94 m. Na dobrze zachowanym odcinku szerokość tej fosy dochodzi do 5,8 m, jej głębokość względem przedpola osiąga do 1,3 m, a wysokość względem szczytu wału zewnętrznego do-



Ryc. 3. Grodzisko w Lubiance, st. 6 na obrazowaniu ALS (na podstawie materiałów GUGiK, oprac. R. Solecki)



Ryc. 4. Przekrój grodziska w Lubiance, st. 6 uzyskany z danych ALS (na podstawie materiałów GUGiK, oprac. R. Solecki)



Ryc. 5. Lubianka, st. 6. NMT z opisem wydzielonych elementów grodziska i jego otoczenia: A) majdan, B) fosa poniżej majdanu, C) taras poniżej majdanu, D) wał grodziska z rampą, E) wał południowy, F) wał zewnętrzny, G) fosa zewnętrzna (oprac. R. Solecki)



Ryc. 6. Lubianka, st. 6. Widok w kierunku południowo-zachodnim na majdan grodziska (fot. A. Lejzerowicz)



Ryc. 7. Lubianka, st. 6. Widok z majdanu w kierunku południowym na wał grodziska (fot. A. Lejzerowicz)

chodzi do 2,6 m. Pierwotnie wał południowy mógł się łączyć z wałem zewnętrznym, ten odcinek obecnie jest jednak silnie zniszczony i pewności brak. Po minięciu wału zewnętrznego kolejnym umocnieniem jest właściwy wał grodziska (ryc. 5:D), który otacza majdan od zachodu i południa. Jego długość wynosi 110 m, wysokość względem powierzchni przy wale zewnętrznym dochodzi do 3 m, a wysokość względem fosy otaczającej majdan od południa (ryc. 5:B) dochodzi do 2 m. Na zewnętrznym stoku tego wału usypano rampę, która łagodnym podejściem prowadzi na szczyt wału. Za właściwym wałem grodziska znajduje się już majdan (ryc. 5:A), od południa otoczony suchą fosą (ryc. 5:B), a od północy tarasem szerokości do 6 m (ryc. 5:C), wysuniętym w kierunku doliny Wąlszy. Jego *plateau* wyniesione jest względem dna fosy i powierzchni tarasu od 4,5 m do nawet 6 m. Majdan ma kształt łezkowaty z narożnikiem od strony południowo-zachodniej (od strony wału zewnętrznego). Przy jego krawędzi nie ma czytelnych reliktów wału bądź innej fortyfikacji. Powierzchnia majdanu wynosi około 13 arów, a powierzchnia całego stanowiska, liczona do krawędzi przedpoła za fosą zewnętrzną, wynosi około 1,2 ha.

Na Karcie Ewidencji Stanowiska Archeologicznego z 1985 roku jest adnotacja, że podczas prospekcji nie natrafiono na materiał zażytkowy na powierzchni. Jest jednak informacja, że „w niewielkich wykopach widoczne są fragmenty konstrukcji kamiennych”, a na ziemi można znaleźć okruchy cegieł². W archiwum NID znajduje się teczka grodziska, w której z kolei jest notatka Romualda Odoja sporządzona 5 maja 1959 roku, z której wynika, że wkopy rabunkowe zostały zrobione przez robotników wykonujących w miejscowości prace melioracyjne, ale jako winnych wskazywano także tamtejszego księdza oraz nauczyciela³. Opisanie wkopy nie zostały naniesione na plan stanowiska i obecnie trudno było ustalić ich położenie. Było to o tyle trudne, że na powierzchni widoczne są także nowe wkopy o charakterze rabunkowym.

Pierwszą informacją o zamku w Plutach jest dokument w *Codex Diplomaticus Warmiensis* z 27 marca 1325 roku, w którym znajduje się odwołanie do *castris*, które

w komentarzu opisane jest jako *Schloss Plut*⁴. Nieco więcej informacji dostarcza notatka Piotra z Dusburga zawarta w jego kronice. Budowę zamku w Plutach przypisuje on Jordanowi, początkowo proboszczowi kapituły warmińskiej, a w latach 1326–1328 biskupowi warmińskiemu. Oryginalny zapis brzmi: „Et Jordanus Præpositus Warmiensis castrum dictum Plut, circa civitatem Meelsack”⁵. Można zatem podejrzewać, że w Plutach na początku XIV wieku wybudowano zamek, a jako że jego fundatorem była kapituła warmińska, musiał on być w jakiś sposób umocowany w jej strukturze. W pracy Caspara Hennebergera z 1595 roku znajduje się z kolei informacja, że zamek w Plutach jest już opuszczony⁶. To oznacza, że historia tego założenia była bardzo krótka – zamek nie funkcjonował dłużej niż trzy wieki, a biorąc pod uwagę fakt, że na jego temat nie ma więcej wzmianek źródłowych, zapewne istniał jeszcze krócej.

We współczesnych źródłach opis grodziska w Plutach pojawia się w monografii Johannesa Voigta *Geschichte Preussens*, tom 4, z 1830 roku. Potwierdził on wcześniejsze przekazy, że prepozyt Jordan był fundatorem zamku w Plutach⁷. W 1863 roku ukazał się 2 tom pracy Antona Eichhorna *Zeitschrift für die Geschichte und Altertumskunde Ermlands*. Autor podał tam między innymi informację, że w Plutach znajdowała się przeprawa przez rzekę Wąlszę, a kolejna była dopiero w oddalonym o około 11 km na zachód Pieniężnie. Zamek miał powstać w 1325 roku, aby bronić tej przeprawy⁸. Informacja o budowie zamku w Plutach została podana za kroniką Piotra z Dusburga. Adolf Boeticher w swojej książce z 1894 roku podaje w zasadzie te same informacje, co wcześniej A. Eichhorn. Rozwinięciem jest dołączenie planu grodziska nazwanego *Burg Plut* (ryc. 8:A), na którym oznaczony jest zbliżony do kwadratu obiekt umiejscowiony w południowo-zachodniej części majdanu. Uzupełnieniem planu jest szkic pokazujący panoramę z grodziskiem, którego powierzchnia została odlesiona

⁴ Woelky i Saage 1860: 375–376, dokument 221.

⁵ Piotr z Dusburga 1679: 407–408; Wyszomirski 2011: 232–233, dokument 360.

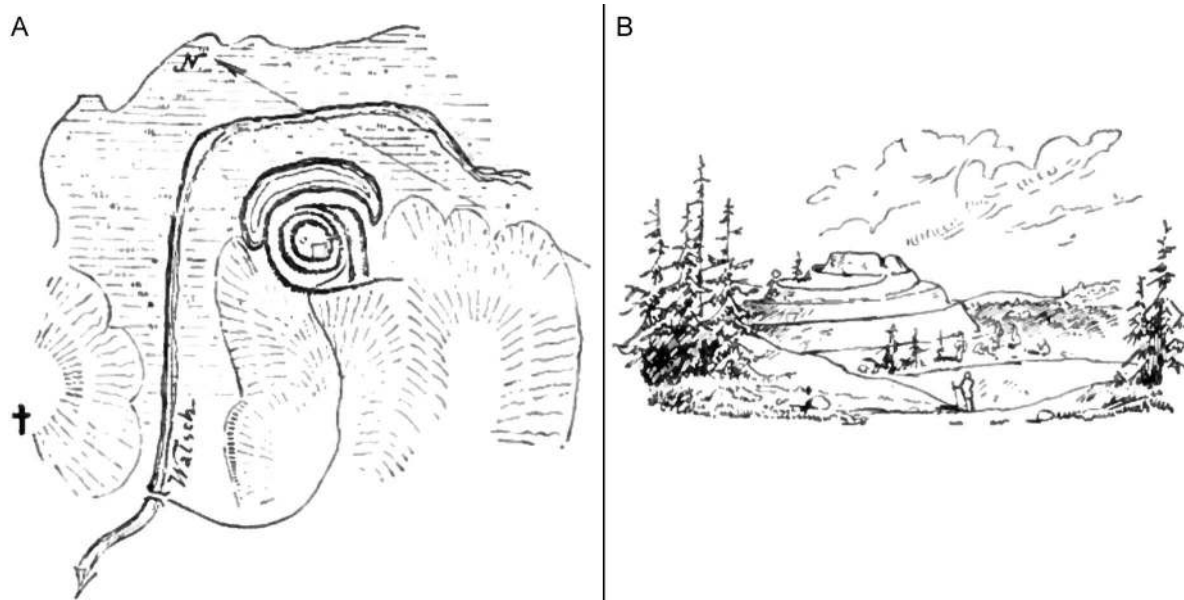
⁶ Henneberger 1595: 349.

⁷ Voigt 1830: 403.

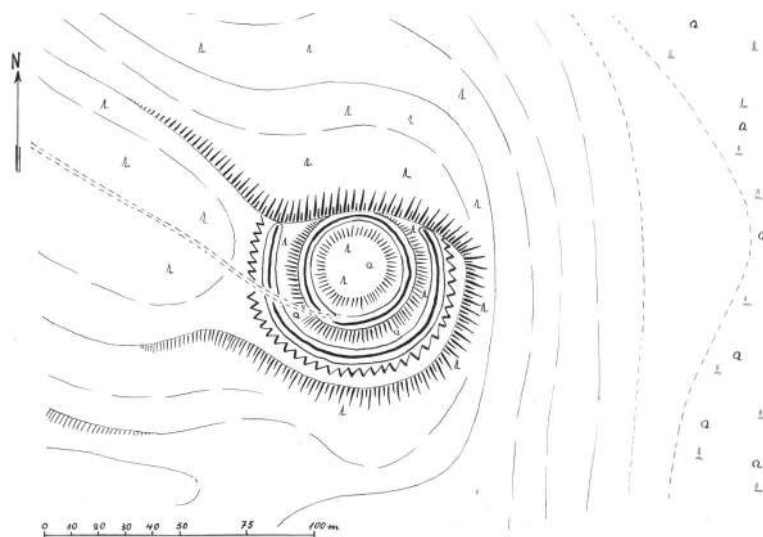
⁸ Eichhorn 1863: 394–395.

² Informacja z KESA 14-59/13.

³ Notatki z teczki grodziska w Plutach z archiwum NID.



Ryc. 8. Grodzisko opisane *Burg Plut*, na przedstawieniu z końca XIX wieku: A) plan, B) panorama (Boetticher 1894: ryc. 155–156)



Ryc. 9. Grodzisko w Lubiance, st. 6 na karcie ze zbioru *Burgwall-kartei* (źródło: *Staatliche Museen zu Berlin, Museum für Vor- und Frühgeschichte*, IXc 90, Bl. 45)

(ryc. 8:B)⁹. W 1908 roku Emil Hollack zamieszcza grodzisko w swoim katalogu, ale jego opis jest bardzo skrótowy. Dodatkową informacją jest jedynie wskazanie, że w odległości około 500-600 kroków od grodziska znajdują się relikty wału¹⁰. W 1937 roku grodzisko wymienia Hans Crome, nazywając je *Wallberg* i *Pluta berg*¹¹, a następnie raz jeszcze w 1940 roku uzupełniając powielony opis o bibliografię¹². Grodzisko w okresie międzywojennym wprowadzono do katalogu *Burgwall-kartei*. Na karcie znajduje się zapis, że podczas prospekcji nie znaleziono żadnych zabytków. Wykonano tylko szkic stanowiska (ryc. 9).

W notatce prasowej, która ukazała się

w *Königsberger Tageblatt*, nr 199, z 21 lipca 1937 roku znalazła się informacja wskazująca, że istniały przesłanki jakoby stanowisko miało być dwufazowe – w czasach przedkrzyżackich miało się tam znajdować refugium, na obszarze którego w XIV wieku powstał zamek. Głównym tematem notatki jest jednak odkrycie cmentarzyska datowanego na XIII wiek (ryc. 10). Cmentarzysko to miało być znajdować się przy umocnieniach, ale z korespondencji znajdującej się w teczce miejscowości Pluty w *Staatliche Museen zu Berlin, Museum für Vor- und Frühgeschichte* wynika, że natrafiono na nie na północ od wsi¹³.

Pomimo że stanowisko było znane od dawna to do 2021 roku nie były w jego obrębie prowadzone badania archeologiczne.

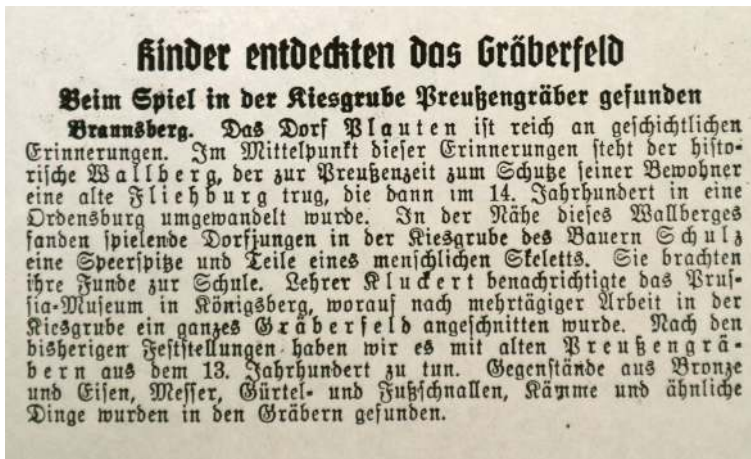
⁹ Boetticher 1894: 203–204.

¹⁰ Hollack 1908: 116.

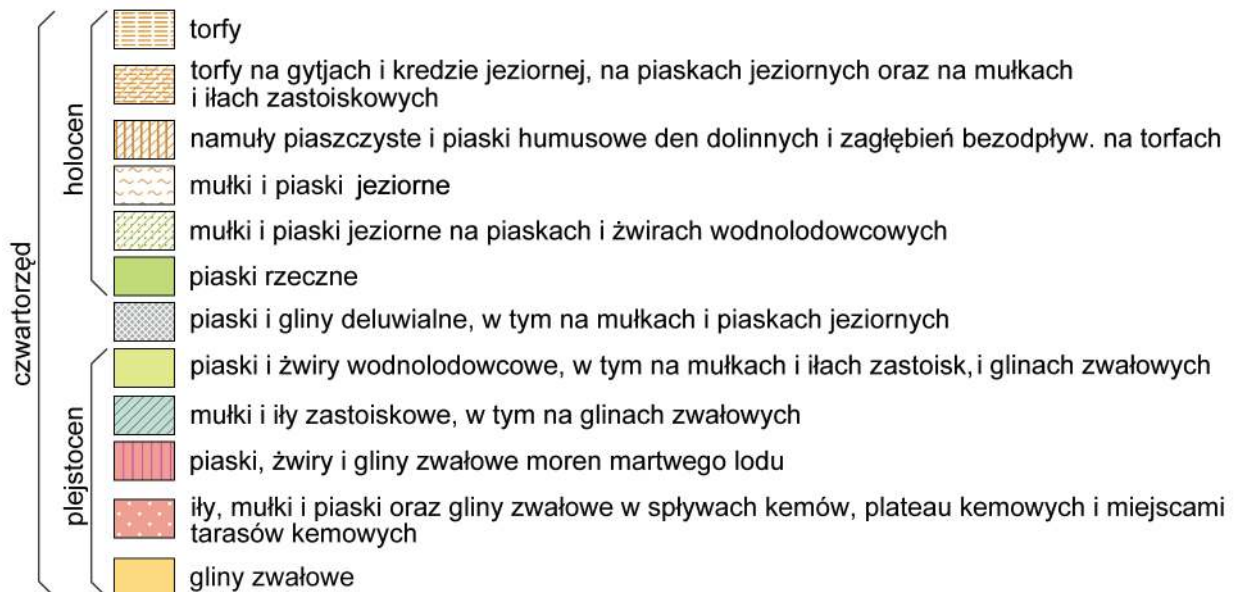
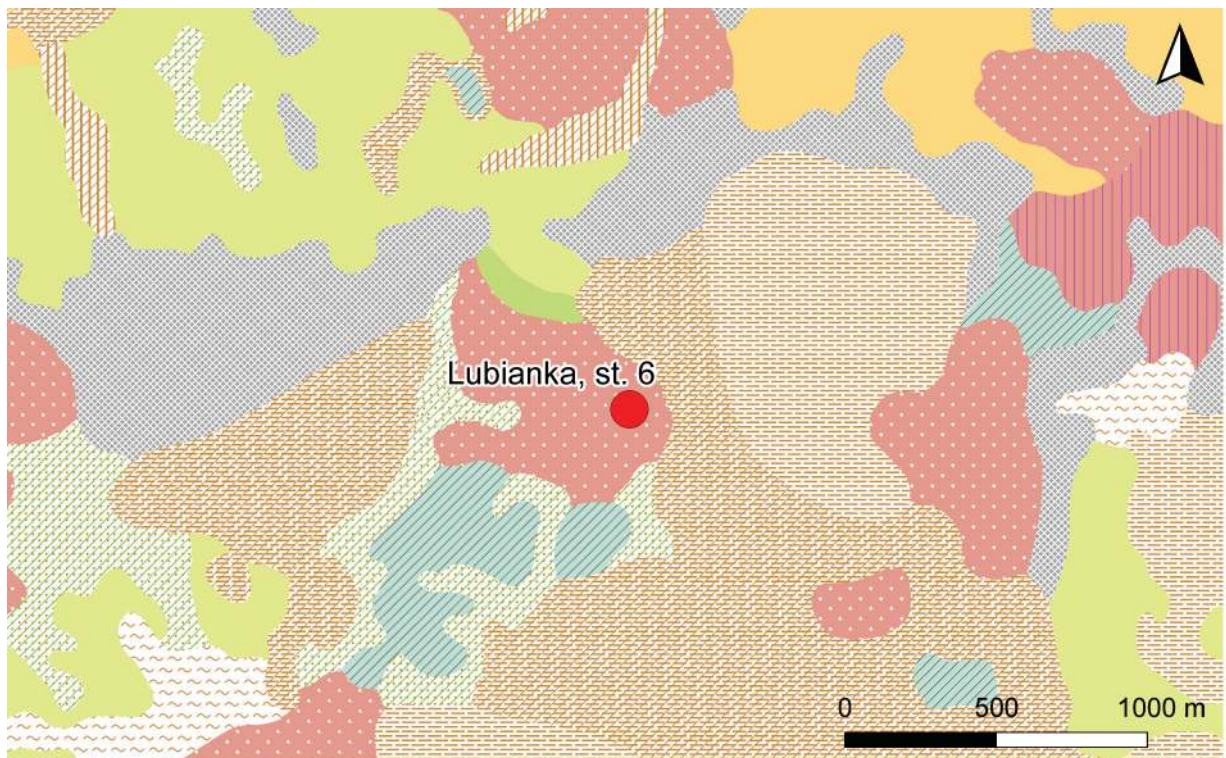
¹¹ Crome 1937: 103.

¹² Crome 1940: 100.

¹³ Teczka miejscowości Pluty w *Staatliche Museen zu Berlin, Museum für Vor- und Frühgeschichte*, PM-A 1138/1.

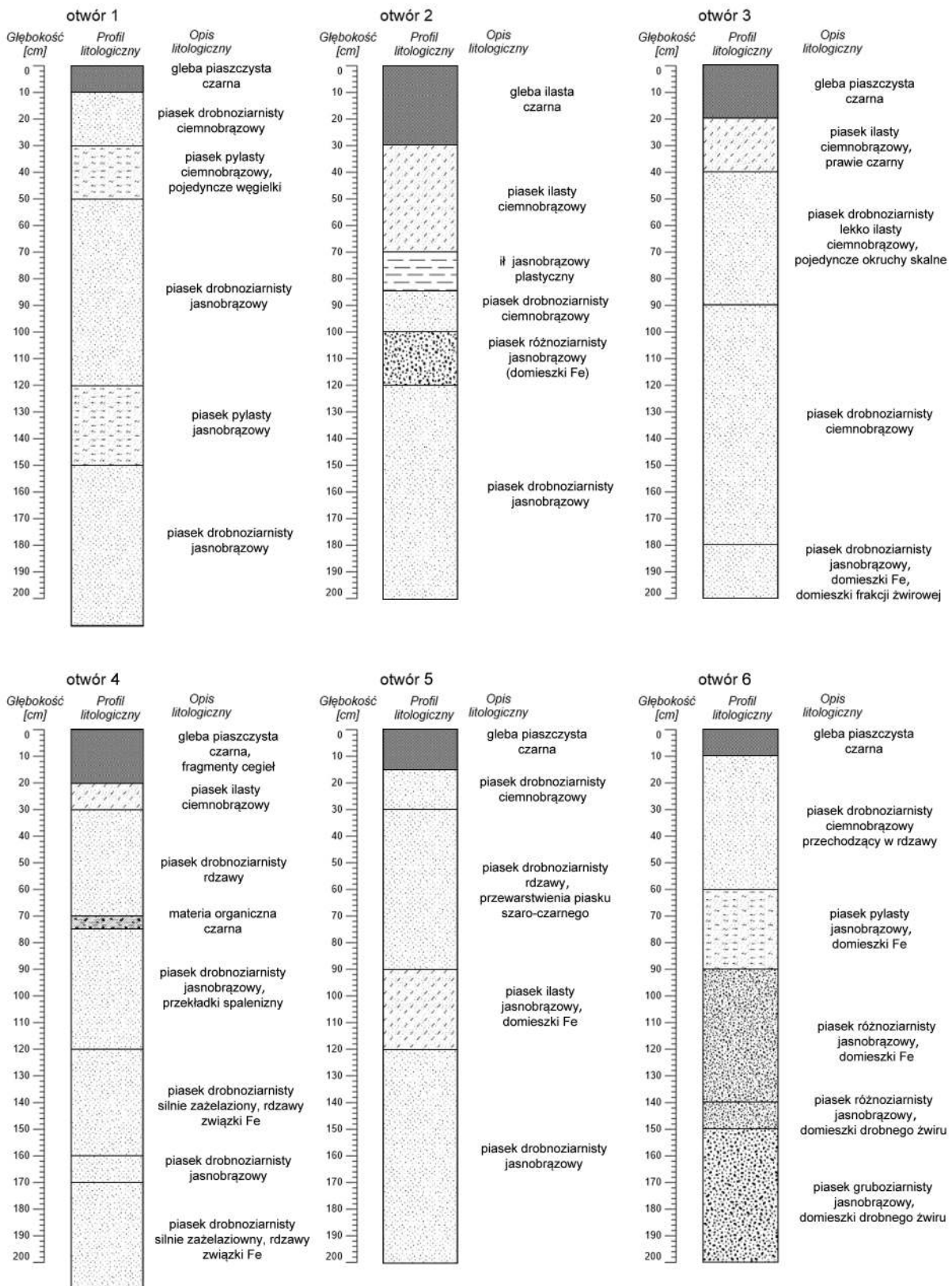


Ryc. 10. Notatka prasowa na temat znalezisk archeologicznych we wsi Pluty opublikowana w *Königsberger Tageblatt*, nr 199, 21 lipca 1937 r. (źródło: *Staatliche Museen zu Berlin, Museum für Vor- und Frühgeschichte*, PM-A 1138/1)



Ryc. 11. Wycinek arkusza *Szczegółowej Mapy Geologicznej Polski* z zaznaczonym stanowiskiem w Lubiance, st. 6 (źródło:

www.cbdgmapa.pgi.gov.pl/arcgis/services/kartografia/smgp50k/MapServer/WMS/Server, oprac. R. Solecki)



Ryc. 12. Profile litologiczne odwiertów wykonanych na grodzisku w Lubiance, st. 6 (oprac. A. Lejzerowicz)

ŚRODOWISKO FIZYCZNOGEOGRAFICZNE

ANNA LEJZEROWICZ

Według podziału fizycznogeograficznego Polski Jerzego Kondrackiego grodzisko w Lubiance znajduje się w mezoregionie Wzniesienia Górowskie¹⁴. Położone jest na kemie, który powstał podczas recesji lądolodu zlodowacenia Wisły. Należy on do grupy niewielkich pagórków kemowych rozrzuconych na obszarze otaczającej stanowisko wysoczyzny morenowej falistej. Tutejsze formy kemów zbudowane są łąkami, piasków pyłowato-żwirowatych, piasków pyłowatych i mułków¹⁵. Grodzisko znajduje się na szczycie wzniesienia o deniwelcji około 30 m względem doliny rzeki Wąszy opływającej omawiany kem od wschodu. Sam szczyt wzniesienia jest stosunkowo płaski natomiast poniżej niego widoczne są pozostałości wałów obronnych i fos.

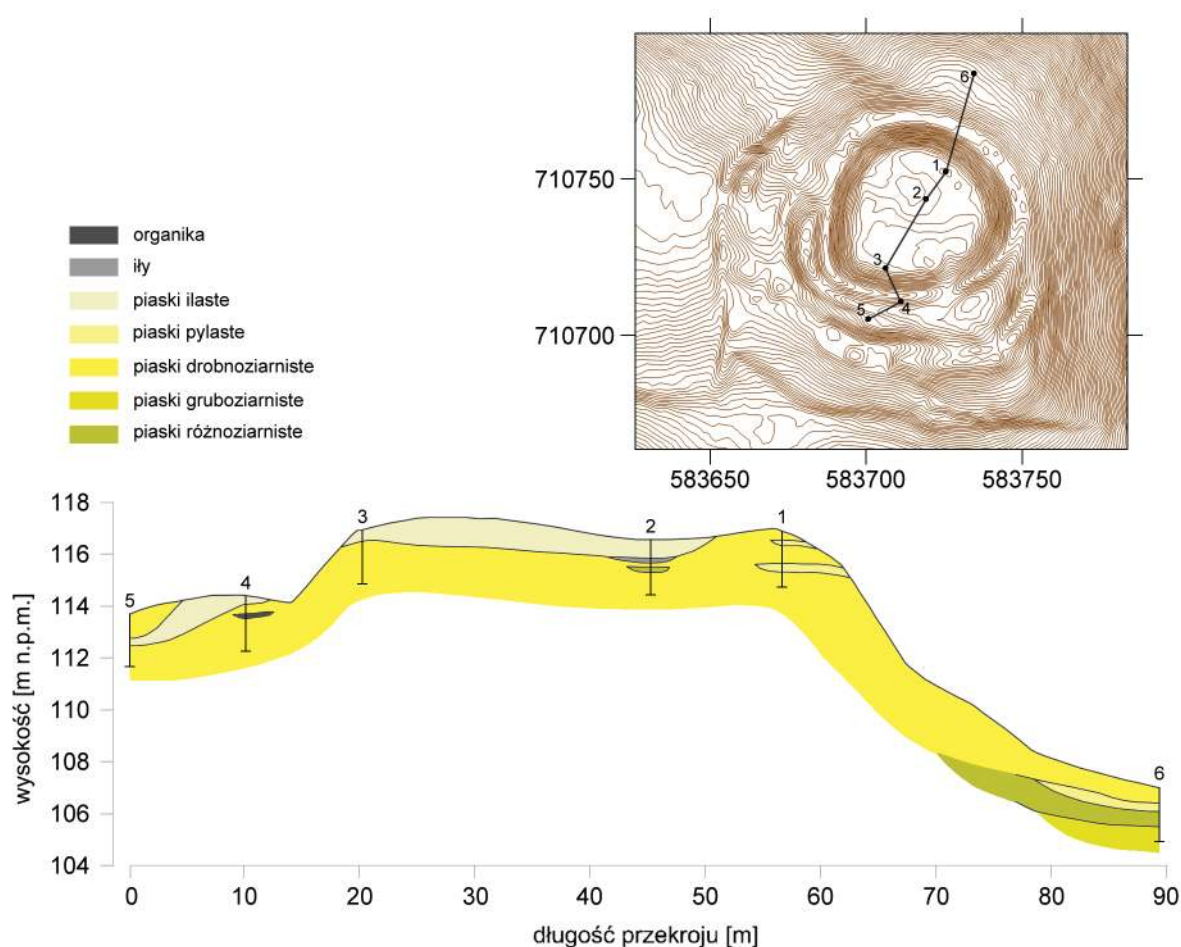
Według *Szczegółowej Mapy Geologicznej Polski w skali 1:50 000* na obszarze gro-

¹⁴ Kondracki 2002: 100–102.

¹⁵ Kacprzak i Honczaruk 2014: 11.

dziska występują łąki, mułki i piaski oraz gliny zwałowe w spływach kemów, plateau kemowych i miejscami tarasów kemowych (ryc. 11). Według *Mapy Geologicznej Polski* w skali 1:500 000 jest to obszar występowania glin zwałowych, ich zwietrzelin oraz piasków i żwirów lodowcowych.

Na obszarze grodziska wykonano sześć wierceń sondą ręczną do maksymalnej głębokości 2,1 m w celu rozpoznania budowy geologicznej. Na podstawie wykonanych wierceń stworzony został schematyczny przekrój geologiczny przez stanowisko (ryc. 13). W wierceniach zaobserwowano występowanie głównie osadów piaszczystych oraz lokalnie jedynie łąki (ryc. 12 otwór 2) oraz grubszych przekładek materii organicznej (ryc. 12 otwór 4). Osady piaszczyste to piaski drobnoziarniste o różnym zabarwieniu, często z domieszkami związków żelaza. W wierceniach występują również piaski różnoziarniste, pylaste oraz ilaste stanowiące warstwy o stosunkowo nieznacznych miąższościach. Szczegółowa litologia jest widoczna oraz została opisana na poszczególnych profilach wierceń (ryc. 12).



Ryc. 13. Schematyczny przekrój geologiczny przez grodzisko w Lubiance, st. 6 (oprac. A. Lejzerowicz)

BADANIA ARCHEOLOGICZNE

DANIEL SKOCZYLAŚ, DAWID F. WIECZOREK
I RAFAŁ SOLECKI

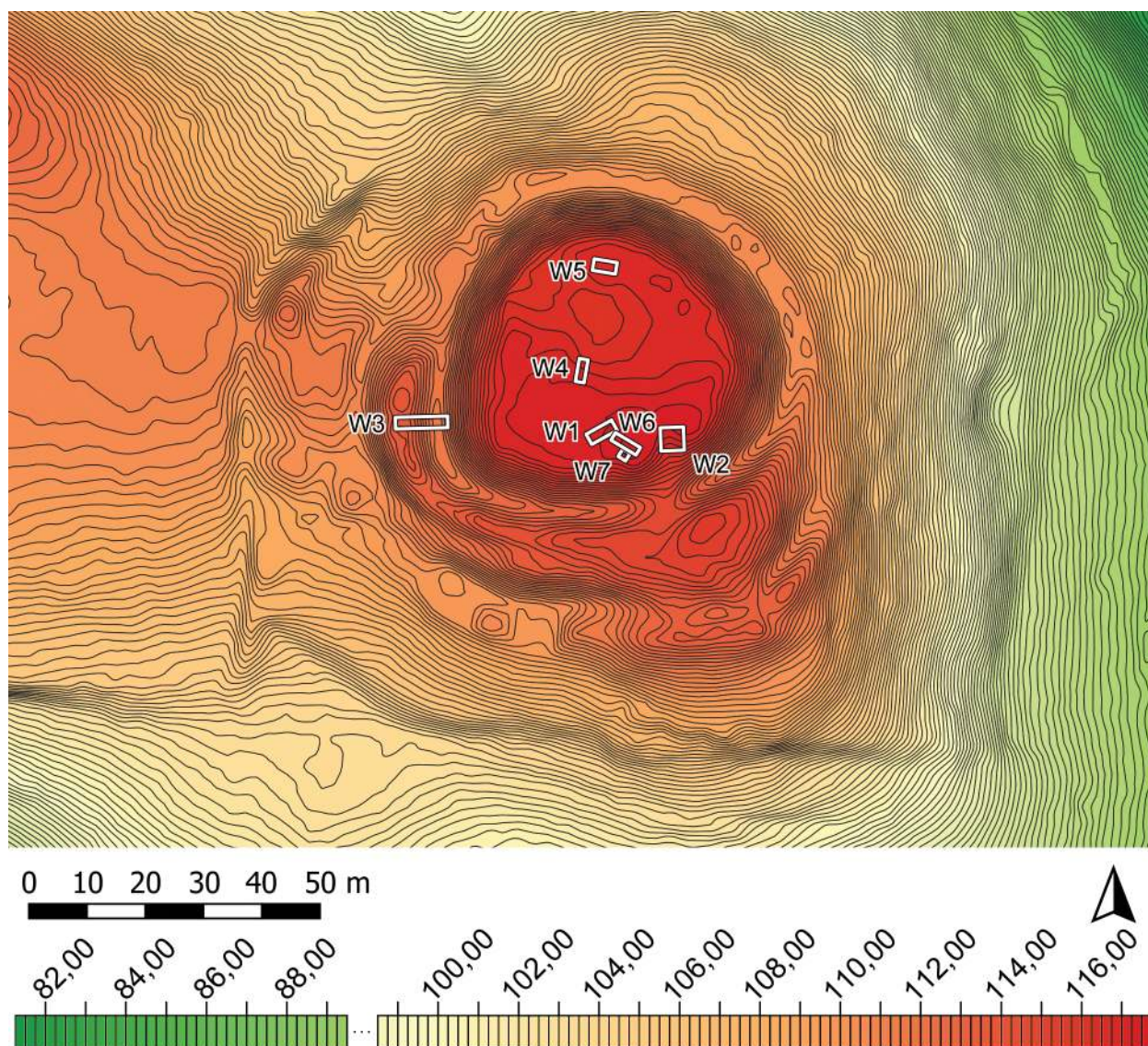
Przebieg badań terenowych

Weryfikację stanowiska w terenie przeprowadzono wiosną, a badania nieinwazyjne i wykopaliskowe latem 2021 roku. Uzupełniające badania wykopaliskowe przeprowadzono latem 2023 roku.

Obszar całego stanowiska jest dość mocno porośnięty lasem, często jeszcze młodym i gęstym (ryc. 6–7). Z tego względu możliwości przeprowadzenia badań nieinwazyjnych były ograniczone. Z tego względu zrezygnowano z rozpoznania powierzchniowego, a wykonano przekrój majdanu grodziska z wykorzystaniem metody tomografii elektrooporowej.

Badania wykopaliskowe także skupiły się na obszarze majdanu, gdyż tam możliwe było jeszcze wytyczenie relatywnie dużych wyko-

pów. Wykopy 1, 6 i 7 (W1, W6. i W7) wytyczono w południowej części majdanu, miały one na celu rozpoznać obszar, gdzie prawdopodobnie mogły znajdować się relikty architektury średniowiecznej, na co wskazywały znaleziska kawałków cegieł w odwiercie i na na powierzchni. W1 miał wymiary 2 × 5 m, W6 1,5 × 5 m, a W7 1,5 × 1,5 m. W2, o wymiarach 4 × 4 m, wytyczono w południowo-wschodniej części majdanu, w miejscu, gdzie być może znajdowało się wejście na majdan, za czym przemawiał fakt, że na wysokości tego miejsca kończyła się rampa, a w obrębie fosi znajdował się garb mogący pełnić funkcję nasypu pod drogę. W4 i W5 miały na celu rozpoznać anomalie, które uchwycono w czasie badań nieinwazyjnych. W4 miał wymiary 1,5 × 4 m i znajdował się w centralnej części majdanu, a W5 miał wymiary 2 × 4 m i zlokalizowano go w jego północnej części. Stratygrafia nawarstwień w obrębie fosi i wału



Ryc. 14. Lubianka, st. 6. Plan grodziska z naniesionymi wykopami archeologicznymi (oprac. R. Solecki)

pod majdanem rozpoznano tylko jednym wykopem W3, o wymiarach 2×9 m. Wytyczono go na zachód od majdanu, ponad wejściem na obszar grodziska od strony zachodniej. Położenie wykopów prezentuje ryc. 14.

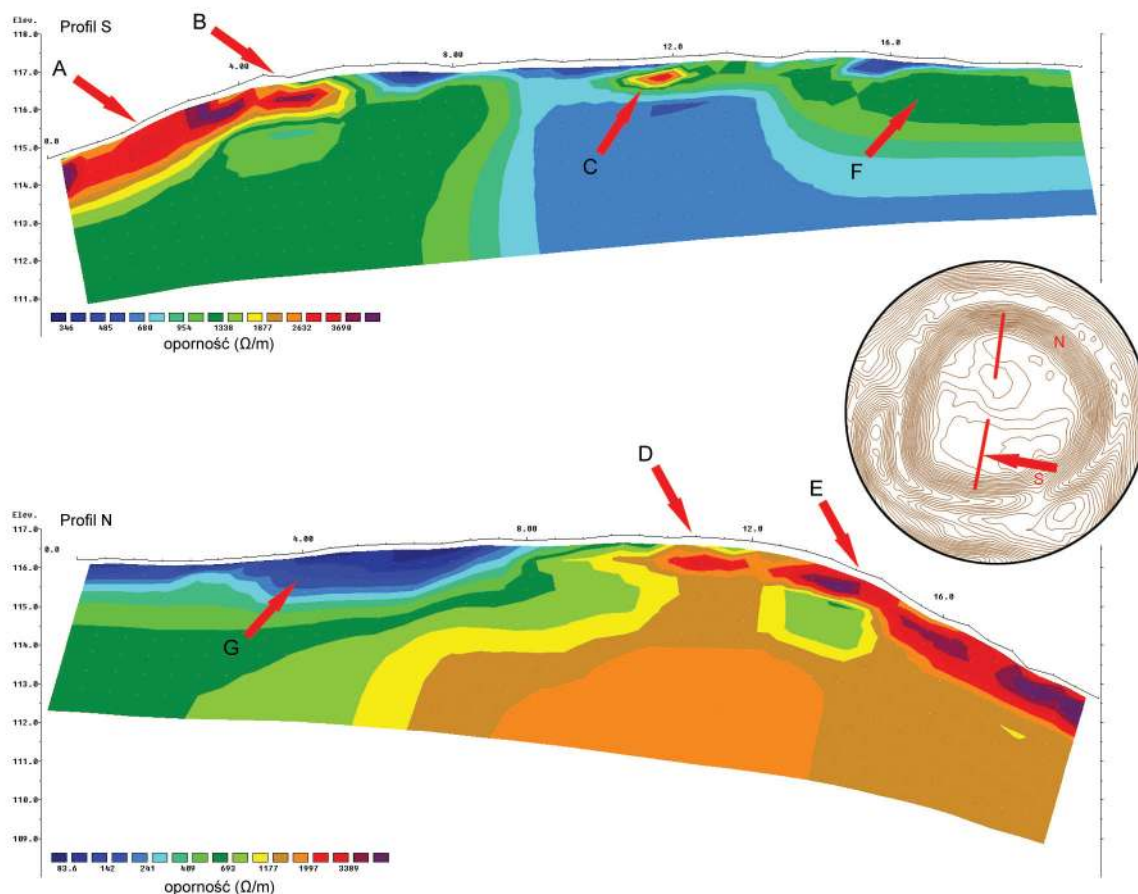
Badania nieinwazyjne

Pomiary z wykorzystaniem metody tomografii elektrooporowej zostały przeprowadzone za pomocą urządzenia ARES II firmy GF Instruments z wieloelektrowym miernikiem rezystywności z 40 elektrodami. Długość mierzonych profili wynosiła 19,5 m, przy odległość między elektrodami wynoszącej 0,5 m. Linia pomiarowa została wytyczona wzdłuż osi zbliżonej do północ-południe. W ramach porównań pomiary zostały wykonane w konfiguracjach Wennera i Schlumbergera¹⁶. Łącznie zarejestrowano 18 profili. Zarejestrowane dane ERT zostały przetworzone za pomocą programu Res2DInv firmy Geotomo z korekty topograficznej. Uzyskany model przedstawia rzeczywisty rozkład mierzonej rezystywności poziomej wzdłuż danej osi.

Na uzyskanych profilach czytelne są ano-

malie (ryc. 15:B, D) wskazujące, że w przeszłości krawędź majdanu była umocniona, być może za pomocą konstrukcji kamienno-ceglanej, na co wskazuje wysoka wartość oporności. Takie same wartości pomiarów uzyskano na stokach majdanu w kierunku fosy (ryc. 15: A, E), co z kolei może wskazywać, że powierzchnię tę zabezpieczono przed erozją za pomocą płaszcza kamieni albo że są to relikty umocnienia krawędzi majdanu, które w wyniku zniszczenia, bądź rozbiórki, stoczyły się w dół stoku i tam osiadły. Na obszarze majdanu, przy jego południowej krawędzi uchwycono także anomalię z wysoką wartością oporności (ryc. 15:C), która może wskazywać na istnienie obiektu z wypełniskiem kamiennym lub ceglanym. W analizowanym profilu widoczne były także dwa regularne zakłębienia (ryc. 15: F, G), które jednak wyróżniały się niską opornością. Być może są to obiekty ziemne wypełnione luźnym materiałem mineralnym, być może z dodatkiem materii organicznej, który dłużej zatrzymuje wodę. Na podstawie wyników tych badań zdecydowano się na rozpoznanie obiektów ziemnych na obszarze majdanu oraz tak wytyczyć wykop przy krawędzi majdanu, aby była szansa na rozpoznanie formy jej umocnienia.

¹⁶ Pasierb 2012: 192–197.



Ryc. 15. Lubianka, st. 6. Przekrój ERT przez majdan grodziska (oprac. D. Skoczylas)

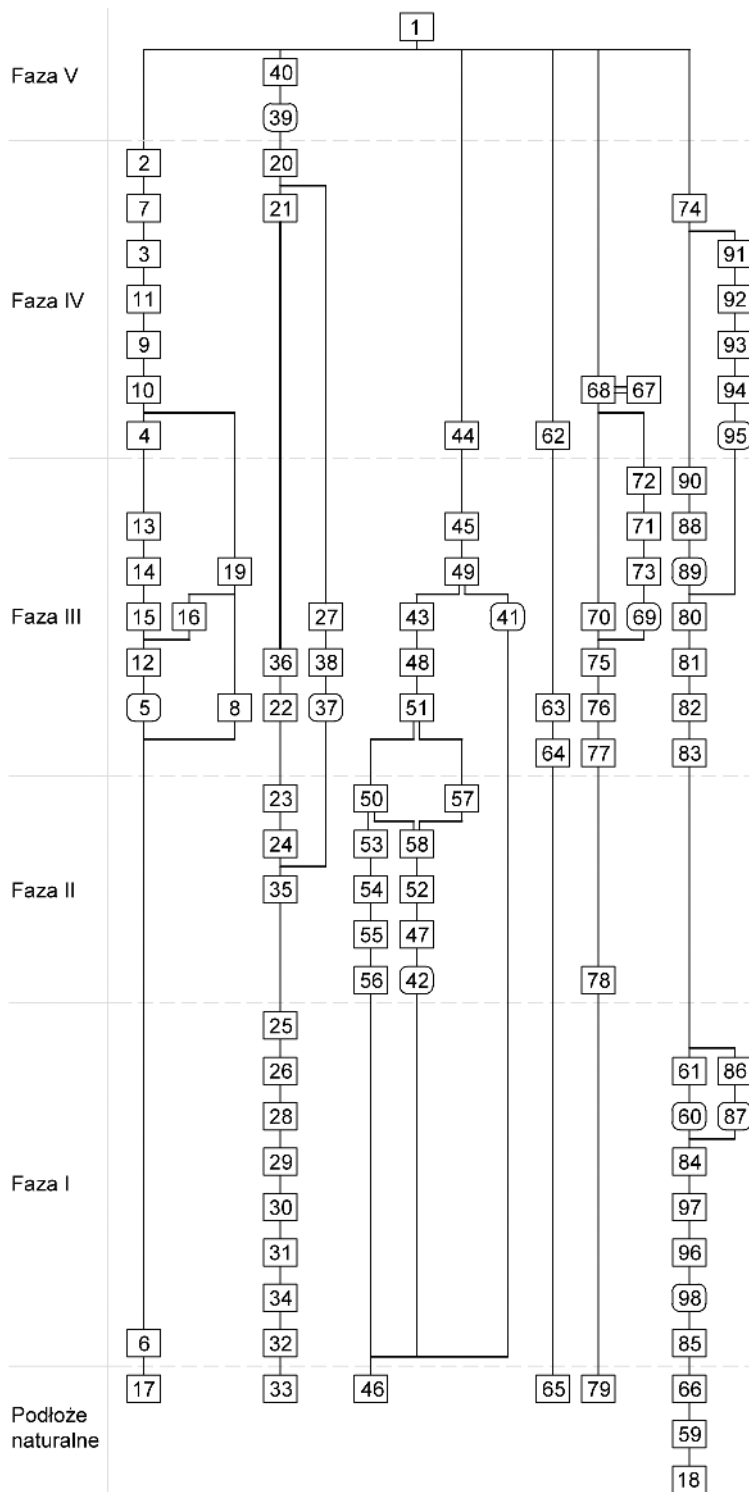
Stratygrafia stanowiska

W trakcie omawianych badań archeologicznych wydzielono łącznie 98 jednostek stratygraficznych (tabela 1). Możliwe było ich rozdzielanie pomiędzy jednostki związane z podłożem naturalnym i pięć faz związanych z dziejami stanowiska. Diagram Harrisa dla wydzielonych jednostek stratygraficznych przedstawia ryc. 16, a zadokumentowane powierzchniennie ryc. 17–26.

Warstwy naturalne

W trakcie badań jako jednostkę naturalną zidentyfikowano:

- w południowej części majdanu: sypki piasek ze smugami żelazistych wytrąceń 17 i 18, a także lekko ilasty piasek z żyłami żelazistych wytrąceń 33. W W6 ponad warstwą 18 wydzielono ilasty piasek 59 z silnymi żelazistymi wytręciami w obrębie całego pokładu, a w jej stropie ilasty piasek 66 z żelazistymi wytręciami w postaci orsztynu.



Ryc. 16. Lubianka, st. 6.
Diagram relacji stratygraficznych (oprac. D. Skoczylas, D.F. Wieczorek i R. Solecki)

Tabela 1. Lubianka, st. 6. Katalog warstw i obiektów oraz ich zależności stratygraficznych
(oprac. D. Skoczylas, D.F. Wieczorek i R. Solecki)

Numer jednostki	Numer obiektu	Numer wykopu	Położenie w obrębie stanowiska	Współrzędne geodezyjne (PUWG 1992)	Opis jednostki stratygraficznej	Barwa (Munsell)	Pozycja stratygraficzna	
							Znajduje się pod	Znajduje się nad
1	-	1, 2, 3, 4, 5, 6, 7	cała powierzchnia stanowiska	X=710721,5-710756,6; Y=583679,5-583729,5	Piasek z bardzo dużą domieszką materii organicznej, silnie poprzerastany korzeniami; miąższość do 20 cm; współczesny poziom użytkowy	10YR 3/2	-	2, 7, 20, 21, 40, 62, 74
2	-	1	część S majdanu	X=710724,4-710728,7; Y=583712,4-583717,9	Przemieszany piasek z dużą domieszką materii organicznej i pojedynczymi kawałkami gruzu ceglano; miąższość do 45 cm; warstwa erozyjna	10YR 4/3	1	3, 7, 19
3	-	1	część S majdanu	X=710724,4-710728,7; Y=583712,4-583717,9	Przemieszany piasek z dużymi grudami zwartej gliny, materią organiczną i kawałkami gruzu ceglano; miąższość do 110 cm; warstwa zasypiskowa	10YR 6/4	2, 7	4, 19
4	-	1	część S majdanu	X=710724,4-710728,7; Y=583712,4-583717,9	Sypki piasek z domieszką drobnego żwiru i silnymi żelazistymi wytrąceniami; miąższość do 45 cm; warstwa zasypiskowa	10YR 5/6	3	12, 13, 14
5	5	1	część S majdanu	X=710724,4-710728,7; Y=583712,4-583717,9	Szerokopłaszczyznowy wkop budowlany pod piwniczkę; uchwycone wymiary to szerokość co najmniej 280 cm i głębokość do 110 cm	-	12, 14	6, 17
6	-	1	część S majdanu	X=710724,4-710728,7; Y=583712,4-583717,9	Piasek z bardzo dużą domieszką miału węglowego i pojedynczymi kamieniami o średnicy do 10 cm; miąższość do 25 cm; warstwa kulturowa	10YR 2/2	5, 8, 19	17
7	-	1	część S majdanu	X=710724,4-710728,7; Y=583712,4-583717,9	Piasek z dużą domieszką materii organicznej i pojedynczymi drobinami węgla drzewnych; miąższość do 80 cm; warstwa zasypiskowa	10YR 4/4	1, 2	3
8	-	1	część S majdanu	X=710724,4-710728,7; Y=583712,4-583717,9	Piasek przemieszany z licznymi drobinami gruzu ceglano i pojedynczymi węglami drzewnymi; miąższość do 15 cm; warstwa związana z budową piwniczki	10YR 4/6	19	6
9	-	1	część S majdanu	X=710724,4-710728,7; Y=583712,4-583717,9	Gлина przemieszana z drobnym rumosem kamienno-ceglanym; warstwa zasypiskowa	5YR 5/6	3, 11	4, 10, 13, 19
10	-	1	część S majdanu	X=710724,4-710728,7; Y=583712,4-583717,9	Rumosz kamienno-ceglany oblepiony gliną; zniszczona konstrukcja mурowana	-	9, 11	4, 13, 19
11	-	1	część S majdanu	X=710724,4-710728,7; Y=583712,4-583717,9	Plastry gliny z grudami polepy i drobinami węgla drzewnych przemieszane z sypkim piaskiem; zrzucone wylepienie ściany lub posadzki	5YR 6/4 (60%) 10YR 8/3 (40%)	3, 7	9, 10, 13
12	5	1	część S majdanu	X=710724,4-710728,7; Y=583712,4-583717,9	Całkowicie zdegradowany relik spalanej drewnianej ściany piwniczki; zachowana wysokość 50 cm	10 YR 2/2	4, 14, 19	5, 17
13	5	1	część S majdanu	X=710724,4-710728,7; Y=583712,4-583717,9	Całkowicie zdegradowany relik spalanej drewnianej młodszej podłogi piwniczki	10YR 2/2	4	14
14	5	1	część S majdanu	X=710724,4-710728,7; Y=583712,4-583717,9	Sypki piasek z dużą domieszką materii organicznej i węgla drzewnych; miąższość do 20 cm; podłoże podłogi	10YR 6/4	4, 13	5, 12, 17
15	5	1	część S majdanu	X=710724,4-710728,7; Y=583712,4-583717,9	Całkowicie zdegradowany relik spalanej drewnianej starszej podłogi piwniczki	10YR 2/2	13, 14	5, 17
16	5	1	część S majdanu	X=710724,4-710728,7; Y=583712,4-583717,9	Piasek z domieszką materii organicznej i drobin węgla drzewnych; wypełniko obiektu 5	10YR 5/3	12, 19	5, 17
17	-	1	część S majdanu	X=710724,4-710728,7; Y=583712,4-583717,9	Sypki piasek ze smugami żelazistych wytrąceń; podłoże naturalne	10YR 7/4	5, 6, 15, 16	-
18	-	6	część S majdanu	X=710722,5-710726,5; Y=583716,6-583721,9	Sypki piasek z żelazistymi wytrąceniami; podłoże naturalne	10YR 7/4	59	-
19	-	1	część S majdanu	X=710724,4-710728,7; Y=583712,4-583717,9	Sypki piasek z domieszką materii organicznej i smugami żelazistych wytrąceń; miąższość do 50 cm; warstwa niwelacyjna	10YR 7/5	2, 3	6, 8, 12
20	-	2	część S majdanu	X=710723,2-710727,5; Y=583725,1-583729,4	Przemieszany, sypki piasek z dużą domieszką materii organicznej; miąższość do 35 cm; warstwa erozyjna	10YR 5/4	1, 39, 40	27, 29, 30, 31, 34, 38, 41
21	-	2	część S majdanu	X=710723,2-710727,5; Y=583725,1-583729,4	Przemieszany, sypki piasek z domieszką materii organicznej; miąższość do 55 cm; warstwa erozyjna	10YR 6/4	1, 20, 39, 40	22, 29, 36
22	-	2	część S majdanu	X=710723,2-710727,5; Y=583725,1-583729,4	Przemieszany piasek z dużą domieszką materii organicznej i drobinami węgla drzewnych; miąższość do 40 cm; warstwa kulturowa	10YR 4/4	21, 36	23, 24, 35

Tabela 1. Lubianka, st. 6. Katalog warstw i obiektów oraz ich zależności stratygraficznych, ciąg dalszy (oprac. D. Skoczylas, D.F. Wieczorek i R. Solecki)

Numer jednostki	Numer obiektu	Numer wykopu	Polozenie w obrębie stanowiska	Współrzędne geodezyjne (PUWG 1992)	Opis jednostki stratygraficznej	Barwa (Munsell)	Pozycja stratygraficzna	
							Znajduje się pod	Znajduje się nad
23	-	2	część S majdanu	X=710723,2-710727,5; Y=583725,1-583729,4	Luźne skupisko kamieni o średnicy do 15 cm; umocnienie szczytu wału	-	22, 36	35
24	-	2	część S majdanu	X=710723,2-710727,5; Y=583725,1-583729,4	Przemieszany piasek z dużą domieszką materii organicznej; miąższość do 20 cm; nasyp wału	10YR 6/4	22	26, 28, 29, 35
25	-	2	część S majdanu	X=710723,2-710727,5; Y=583725,1-583729,4	Kamienie o średnicy około 10 cm układające się w skupisko o średnicy około 70 cm; palenisko?	-	35	26
26	-	2	część S majdanu	X=710723,2-710727,5; Y=583725,1-583729,4	Piasek z dużą domieszką węgla drzewnych; miąższość do 15 cm; warstwa kulturowa	10YR 4/2	24, 25, 35	28, 29
27	37	2	część S majdanu	X=710723,2-710727,5; Y=583725,1-583729,4	Przemieszany piasek z domieszką materii organicznej i węgla drzewnych; wypełniko obiektu 37	10YR 4/3	20	34, 35, 37, 38
28	-	2	część S majdanu	X=710723,2-710727,5; Y=583725,1-583729,4	Sypki piasek; miąższość do 5 cm; warstwa niwelacyjna	10YR 8/3	24, 26, 35	29
29	-	2	część S majdanu	X=710723,2-710727,5; Y=583725,1-583729,4	Przemieszany piasek z dużą domieszką materii organicznej i pojedynczymi drobinami węgla drzewnych; miąższość do 15 cm; warstwa kulturowa	10YR 4/3	20, 21, 22, 24, 26, 28	30, 31, 32
30	-	2	część S majdanu	X=710723,2-710727,5; Y=583725,1-583729,4	Piasek z domieszką materii organicznej, węgla drzewnych i soczewkami jasnego, sypkiego piasku; miąższość do 15 cm; warstwa kulturowa	10YR 6/2	20, 29	31, 32
31	-	2	część S majdanu	X=710723,2-710727,5; Y=583725,1-583729,4	Piasek z domieszką materii organicznej i bardzo dużą domieszką miału węglowego; miąższość do 15 cm; warstwa kulturowa	10YR 2/2	20, 29, 30	32, 34
32	-	2	część S majdanu	X=710723,2-710727,5; Y=583725,1-583729,4	Sypki piasek z dużą domieszką materii organicznej i węgla drzewnych; miąższość do 50 cm; warstwa kulturowa	10YR 4/3	29, 30, 31, 34, 41	33
33	-	2	część S majdanu	X=710723,2-710727,5; Y=583725,1-583729,4	Lekko ilasty piasek z żyłami żelazistych wytrąceń; podłoże naturalne	10YR 8/4	32	-
34	-	2	część S majdanu	X=710723,2-710727,5; Y=583725,1-583729,4	Przemieszany piasek z nieregularnie rozłożonymi plamami spalenizny i domieszki organicznej; miąższość do 45 cm; nasyp wału?	10YR 7/6	20, 31	32
35	-	2	część S majdanu	X=710723,2-710727,5; Y=583725,1-583729,4	Przemieszany piasek z soczewkami ilastej materii organicznej i pojedynczymi drobinami węgla drzewnych; miąższość do 60 cm; nasyp wału	10YR 7/4	21, 22, 23, 24, 36, 37	25, 26, 28
36	-	2	część S majdanu	X=710723,2-710727,5; Y=583725,1-583729,4	Sypki piasek; miąższość do 60 cm; nasyp wału	7.5YR 7/4	21	22, 23, 35
37	37	2	część S majdanu	X=710723,2-710727,5; Y=583725,1-583729,4	Wkop, nieregularnie owalny w planie, nieregularnie U-kształtny w przekroju; uchwycone wymiary to średnica do 140 cm i głębokość do 80 cm; dół postępuowy	-	27, 38	29, 34, 35
38	37	2	część S majdanu	X=710723,2-710727,5; Y=583725,1-583729,4	Przemieszany piasek, lekko próchniczny; wypełniko obiektu 37; cień po zdegradowanym pału	10YR 4/4	20, 27, 39, 40	29, 32, 35, 37
39	39	2	część S majdanu	X=710723,2-710727,5; Y=583725,1-583729,4	Wkop, nieregularny w planie i nieregularny w przekroju; uchwycone wymiary to szerokość do 110 cm i głębokość do 75 cm; współczesny wkop rabunkowy?	-	40	20, 21
40	39	2	część S majdanu	X=710723,2-710727,5; Y=583725,1-583729,4	Przemieszany, luźny piasek z dużą domieszką materii organicznej; wypełniko obiektu 39	10YR 5/4	1	20, 21, 39
41	41	3	fosa poniżej majdanu	X=710727,0-710729,4; Y=583679,5-583688,7	Wkop, rów, w przekroju nieckowaty; uchwycone wymiary to szerokość co najmniej 430 cm i głębokość do 170 cm; fosa fazy III	-	45, 49	46
42	42	3	wał poniżej majdanu	X=710727,0-710729,4; Y=583679,5-583688,7	Wkop, prawdopodobnie rów, w przekroju nieckowaty; uchwycone wymiary to szerokość około 180 cm i głębokość do 75 cm; fosa fazy II	-	47, 52, 58	46
43	-	3	wał poniżej majdanu	X=710727,0-710729,4; Y=583679,5-583688,7	Przemieszany, sypki piasek z dużą domieszką materii organicznej; miąższość do 100 cm; nasyp wału	10YR 4/6	1, 49	48, 52
44	41	3	fosa poniżej majdanu	X=710727,0-710729,4; Y=583679,5-583688,7	Lekko ilasty piasek z bardzo dużą domieszką materii organicznej i pojedynczymi kamieniami o średnicy do 35 cm; warstwa erozyjna	10YR 3/2	1	45

Tabela 1. Lubianka, st. 6. Katalog warstw i obiektów oraz ich zależności stratygraficznych, ciąg dalszy
(oprac. D. Skoczylas, D.F. Wieczorek i R. Solecki)

Numer jednostki	Numer obiektu	Numer wykopu	Położenie w obrębie stanowiska	Współrzędne geodezyjne (PUWG 1992)	Opis jednostki stratygraficznej	Barwa (Munsell)	Pozycja stratygraficzna	
							Znajduje się pod	Znajduje się nad
45	41	3	fosa poniżej majdanu	X=710727,0-710729,4; Y=583679,5-583688,7	Lekko ilasty piasek z bardzo dużą domieszką materii organicznej i żelazistymi wytrąceniami; miąższość do 15 cm; wyłożenie powierzchni dna fosy poniżej majdanu	7.5YR 4/6	44	41, 49
46	-	3	wał i fosa poniżej majdanu	X=710727,0-710729,4; Y=583679,5-583688,7	Sypki piasek, w części stropowej z silnymi, żelazistymi wytrąceniami; podłoże naturalne	7.5YR 7/6	41, 42, 43, 45, 47, 49, 50, 52, 54, 55, 56, 58	-
47	42	3	wał poniżej majdanu	X=710727,0-710729,4; Y=583679,5-583688,7	Sypki piasek z domieszką materii organicznej; miąższość do 10 cm; wypełnisko obiektu 42	10YR 5/2	52, 58	42, 46
48	-	3	wał poniżej majdanu	X=710727,0-710729,4; Y=583679,5-583688,7	Sypki piasek przemieszany z węglami drzewnymi; miąższość do 20 cm; warstwa niwelacyjna	10YR 4/2	43	50, 51, 52
49	41	3	fosa poniżej majdanu	X=710727,0-710729,4; Y=583679,5-583688,7	Lekko ilasty piasek z dużą domieszką materii organicznej i żelazistymi wytrąceniami; miąższość do 20 cm; wyłożenie powierzchni stoku fosy poniżej majdanu	7.5YR 5/6	1, 45	41, 43, 46
50	-	3	wał poniżej majdanu	X=710727,0-710729,4; Y=583679,5-583688,7	Przemieszany, sypki piasek z soczewkami materii organicznej; miąższość do 50 cm; nasyp wału	10YR 6/3	48, 51	46, 53, 54, 58
51	-	3	wał poniżej majdanu	X=710727,0-710729,4; Y=583679,5-583688,7	Przemieszany, lekko ilasty piasek z domieszką materii organicznej; miąższość do 30 cm; warstwa niwelacyjna	10YR 5/6	48	50, 52, 57, 58
52	52	3	wał poniżej majdanu	X=710727,0-710729,4; Y=583679,5-583688,7	Przemieszany sypki piasek z dużą domieszką materii organicznej; miąższość do 25 cm; wypełnisko obiektu 42	10YR 5/3	43, 48, 51, 58	42, 46, 47
53	-	3	wał poniżej majdanu	X=710727,0-710729,4; Y=583679,5-583688,7	Piasek z drobinami węgla drzewnych; miąższość do 10 cm; nasyp wału	10YR 3/2	50	54
54	-	3	wał poniżej majdanu	X=710727,0-710729,4; Y=583679,5-583688,7	Przemieszany ilasty piasek z domieszką materii organicznej; miąższość do 30 cm; nasyp wału	10YR 5/4	50, 53	46, 55
55	-	3	wał poniżej majdanu	X=710727,0-710729,4; Y=583679,5-583688,7	Sypki piasek z domieszką materii organicznej; miąższość do 10 cm; nasyp wału	10YR 5/3	54	46, 56
56	-	3	wał poniżej majdanu	X=710727,0-710729,4; Y=583679,5-583688,7	Sypki piasek; miąższość do 15 cm; nasyp wału	10YR 6/2	55	46
57	42	3	wał poniżej majdanu	X=710727,0-710729,4; Y=583679,5-583688,7	Pojedyncze kamienie o średnicy do 15 cm grupujące się w obrębie obiektu 42	-	51	58
58	42	3	wał poniżej majdanu	X=710727,0-710729,4; Y=583679,5-583688,7	Sypki piasek z dużą domieszką węgla drzewnych; miąższość do 15 cm; wypełnisko obiektu 42	10YR 3/2	50, 51, 57	42, 46, 47, 52
59	-	6	część S majdanu	X=710722,5-710726,5; Y=583716,6-583721,9	Ilasty piasek z żelazistymi wytrąceniami; miąższość do 75 cm; podłoże naturalne	10YR 6/6	66	18
60	60	6	część S majdanu	X=710722,5-710726,5; Y=583716,6-583721,9	Uchwycony fragmentarycznie wkop, nieregularnie U-kształtny w przekroju; szerokość do 120 cm, głębokość do 80 cm; funkcja nieokreślona	-	84	18, 59, 66
61	60	6	część S majdanu	X=710722,5-710726,5; Y=583716,6-583721,9	Sypki piasek z domieszką materii organicznej; wypełnisko obiektu 61	10YR 6/2	60	18, 59, 66, 85
62	-	4	centralna część majdanu	X=710734,9-710739,3; Y=583710,5-583712,9	Sypki piasek z dużą domieszką materii organicznej i pojedynczymi kawałkami gruzu ceglanoego; miąższość do 50 cm; warstwa erozyjna	10YR 4/4	1	63, 64
63	-	4	centralna część majdanu	X=710734,9-710739,3; Y=583710,5-583712,9	Piasek z domieszką materii organicznej przemieszany z grudami gliny; miąższość do 15 cm; niwelacja	10YR 5/6	62	64
64	-	4	centralna część majdanu	X=710734,9-710739,3; Y=583710,5-583712,9	Sypki piasek z dużą domieszką materii organicznej; miąższość do 35 cm; warstwa kulturowa	10YR 4/3	62, 63	65
65	-	4	centralna część majdanu	X=710734,9-710739,3; Y=583710,5-583712,9	Sypki piasek z żelazistymi wytrąceniami; podłoże naturalne	10YR 7/4	64	-
66	-	6, 7	część S majdanu	X=710721,5-710726,5; Y=583716,6-583721,9	Ilasty piasek z silnymi, żelazistymi wytrąceniami; miąższość do 35 cm; podłoże naturalne	2.5Y 6/6	84, 85	59

Tabela 1. Lubianka, st. 6. Katalog warstw i obiektów oraz ich zależności stratygraficznych, ciąg dalszy (oprac. D. Skoczylas, D.F. Wieczorek i R. Solecki)

Numer jednostki	Numer obiektu	Numer wykopu	Polozenie w obrębie stanowiska	Współrzędne geodezyjne (PUWG 1992)	Opis jednostki stratygraficznej	Barwa (Munsell)	Pozycja stratygraficzna	
							Znajduje się pod	Znajduje się nad
67	-	5	część N majdanu	X=710753,6-710756,4; Y=583713,4-583717,9	Lekko ilasty piasek z dużą domieszką materii organicznej i drobinami gruzu ceglanoego; miąższość do 30 cm; warstwa erozyjna	10YR 6/6	1	72
68	-	5	część N majdanu	X=710753,6-710756,4; Y=583713,4-583717,9	Lekko ilasty piasek z dużą domieszką materii organicznej i drobinami gruzu ceglanoego; miąższość do 50 cm; warstwa erozyjna	10YR 5/6	1	70, 72, 75
69	69	5	część N majdanu	X=710753,6-710756,4; Y=583713,4-583717,9	Wkop, prostokątny w planie, nieregularnie Ukształtny w przekroju; uchwycone wymiary to długość co najmniej 200 cm, szerokość około 150 cm i głębokość do 115 cm; funkcja nieokreślona	-	71, 72, 73	75
70	-	5	część N majdanu	X=710753,6-710756,4; Y=583713,4-583717,9	Kamienie o średnicy do 30 cm grupujące się wokół obiektu 69	-	68	75
71	69	5	część N majdanu	X=710753,6-710756,4; Y=583713,4-583717,9	Rumosz kamienno-ceglany opleciony gliną; wypełnisko obiektu 69	-	72	73
72	69	5	część N majdanu	X=710753,6-710756,4; Y=583713,4-583717,9	Piasek z domieszką materii organicznej przemieszany z dużą ilością zbitę gliny i węgla drzewnych; wypełnisko obiektu 69	10YR 6/4	67, 68	69, 71, 73, 75, 76, 77
73	69	5	część N majdanu	X=710753,6-710756,4; Y=583713,4-583717,9	Przemieszany, lekko gliniasty piasek z domieszką materii organicznej; wypełnisko obiektu 69	10YR 6/6	71, 72	69, 77, 78
74	-	6, 7	część S majdanu	X=710721,5-710726,5; Y=583716,6-583721,9	Przemieszany, gliniasty piasek z domieszką gruzu ceglanoego; miąższość do 35 cm; warstwa erozyjna	2.5Y 4/2	1	80, 88, 90, 91, 92, 93
75	-	5	część N majdanu	X=710753,6-710756,4; Y=583713,4-583717,9	Piasek z dużą domieszką materii organicznej, kawałkami gruzu ceglanoego i pojedynczymi kamieniami o średnicy do 15 cm; miąższość do 30 cm; warstwa kulturowa	10YR 4/3	68, 69, 70	76
76	-	5	część N majdanu	X=710753,6-710756,4; Y=583713,4-583717,9	Przemieszany, sypki piasek z domieszką materii organicznej; miąższość do 60 cm; warstwa niwelacyjna	10YR 5/4	75	77
77	-	5	część N majdanu	X=710753,6-710756,4; Y=583713,4-583717,9	Przemieszany, ilasty piasek z cętkami żelazistych wytrąceń; miąższość do 60 cm; warstwa niwelacyjna	10YR 7/6	69, 72, 73, 76	78
78	-	5	część N majdanu	X=710753,6-710756,4; Y=583713,4-583717,9	Sypki piasek z dużą domieszką materii organicznej; miąższość do 40 cm; warstwa kulturowa	10YR 4/3	69, 73, 77	79
79	-	5	część N majdanu	X=710753,6-710756,4; Y=583713,4-583717,9	Sypki piasek z żelazistymi wytręciami; podłoże naturalne	10YR 8/4	78	-
80	-	6, 7	część S majdanu	X=710721,5-710726,5; Y=583716,6-583721,9	Ilasty piasek z domieszką materii organicznej; miąższość do 35 cm; warstwa kulturowa	2.5Y 5/3	88, 89, 93, 94, 95	81
81	-	6, 7	część S majdanu	X=710721,5-710726,5; Y=583716,6-583721,9	Sypki piasek z domieszką materii organicznej i pojedynczymi kamieniami o średnicy do 10 cm; miąższość do 45 cm; warstwa niwelacyjna	2.5Y 7/3	80	82, 83, 84
82	-	6	część S majdanu	X=710722,5-710726,5; Y=583716,6-583721,9	Cienka warstewka popiołów; miąższość do 5 cm; warstwa niwelacyjna	10 YR 3/3	81	83
83	-	6, 7	część S majdanu	X=710721,5-710726,5; Y=583716,6-583721,9	Piasek z domieszką materii organicznej i licznymi drobinami węgla drzewnych; miąższość do 25 cm; warstwa niwelacyjna	10YR 4/3	81, 82	84, 86
84	-	6, 7	część S majdanu	X=710721,5-710726,5; Y=583716,6-583721,9	Piasek z domieszką materii organicznej, węgla drzewnych i ze śladami bielcowania; miąższość do 40 cm; warstwa kulturowa	10YR 6/2	81, 83, 86, 87	85
85	-	6, 7	część S majdanu	X=710721,5-710726,5; Y=583716,6-583721,9	Piasek z domieszką materii organicznej; miąższość do 40 cm; warstwa kulturowa	10YR 5/3	60, 84	66
86	87	6	część S majdanu	X=710722,5-710726,5; Y=583716,6-583721,9	Piasek z dużą ilością miazłu węglowego; wypełnisko obiektu 87	10YR 2/3	83	84, 87
87	87	6	część S majdanu	X=710722,5-710726,5; Y=583716,6-583721,9	Uchwycony fragmentarycznie wkop, nieregularny w planie, nieregularnie nieckowaty w przekroju; średnica do 160 cm, głębokość do 40 cm; funkcja nieokreślona	-	86	84
88	89	6, 7	część S majdanu	X=710721,5-710726,5; Y=583716,6-583721,9	Gliniasty piasek z dużą domieszką materii organicznej; wypełnisko obiektu 88	10YR 3/3	74, 90	80, 81, 89

Tabela 1. Lubianka, st. 6. Katalog warstw i obiektów oraz ich zależności stratygraficznych, ciąg dalszy (oprac. D. Skoczylas, D.F. Wieczorek i R. Solecki)

Numer jednostki	Numer obiektu	Numer wykopu	Położenie w obrębie stanowiska	Współrzędne geodezyjne (PUWG 1992)	Opis jednostki stratygraficznej	Barwa (Munsell)	Pozycja stratygraficzna	
							Znajduje się pod	Znajduje się nad
89	89	6, 7	część S majdanu	X=710721,5-710726,5; Y=583716,6-583721,9	Uchwycony fragmentarycznie wkop, prostokątny w przekroju; szerokość do 160 cm, głębokość do 25 cm; wkop fundamentowy	-	88	80, 81
90	89	6, 7	część S majdanu	X=710721,5-710726,5; Y=583716,6-583721,9	Relikty platformy o szerokości około 60 cm ułożonej z pojedynczej warstwy ustawionych na wozówkach cegieł; fundament	-	74	88
91	95	6	część S majdanu	X=710722,5-710726,5; Y=583716,6-583721,9	Przemieszana, piaszczysta glina z domieszką materii organicznej i gruzu ceglanoego; wypełnisko obiektu 95, warstwa zasypiskowa	10YR 4/4	74	92, 93
92	95	6	część S majdanu	X=710722,5-710726,5; Y=583716,6-583721,9	Rumosz kamienno-ceglany przemieszany z piaskiem i gliną; wypełnisko obiektu 95, warstwa zasypiskowa	10YR 5/8	74, 91	93, 94
93	95	6	część S majdanu	X=710722,5-710726,5; Y=583716,6-583721,9	Przemieszany piasek, glina, materia organiczna i drobinny gruzu ceglanoego; wypełnisko obiektu 95, warstwa zasypiskowa	10YR 4/3	74, 91, 92	80, 81, 82, 83, 94, 95
94	95	6	część S majdanu	X=710722,5-710726,5; Y=583716,6-583721,9	Przemieszany ilasty piasek z domieszką materii organicznej; wypełnisko obiektu 95, warstwa zasypiskowa	10YR 6/4	92, 93	81, 95
95	95	6	część S majdanu	X=710722,5-710726,5; Y=583716,6-583721,9	Uchwycony fragmentarycznie obiekt, w przekroju nieregularny; szerokość co najmniej 250 cm, głębokość do 145 cm; obiekt zasypiskowy piwniczki z obiektu 5	-	93, 94	80
96	98	7	część S majdanu	X=710721,5-710723,7; Y=583717,9-583720,1	Żelazisty piasek przemieszany z materią organiczną i drobinami węgla drzewnych; wypełnisko obiektu 96	10YR 5/6	84, 97	66, 85, 98
97	98	7	część S majdanu	X=710721,5-710723,7; Y=583717,9-583720,1	Piasek z dużą ilością węgla drzewnych; wypełnisko obiektu 98	10YR 3/2	84	96
98	98	7	część S majdanu	X=710721,5-710723,7; Y=583717,9-583720,1	Uchwycony fragmentarycznie wkop, nieckowaty w przekroju; szerokość do 70 cm, głębokość do 40 cm; funkcja nieokreślona	-	96	85

- w centralnej części majdanu: sypki piasek z żelazistymi wytrąceniami 65.
- w północnej części majdanu: sypki piasek z żelazistymi wytrąceniami 79.
- w obrębie wału i fosy poniżej majdanu po jego zachodniej stronie: sypki piasek 46, w którego części stropowej występowały silne, żelaziste wytrącenia.

Faza I

Najstarsza uchwycona faza związana z użytkowaniem tego obszaru przez człowieka, związana jest z osadnictwem ludności kultury kurhanów zachodniobałtyjskich. W fazie tej powstało osiedle obronne, którego relikty odnotowano jedynie w południowej części majdanu – w W1, W2, W6 i W7 – gdzie zachowały się poniżej młodszych jednostek stratygraficznych.

Główny poziom użytkowy z tego okresu wyznacza w W1 piasek 6 z bardzo dużą domieszką miálu węglowego i pojedynczymi kamieniami o średnicy do 10 cm, w W2 sypki piasek z dużą domieszką materii organicznej i węgla drzewnych 32, a w W6 i W7 piasek z domieszką materii organicznej 85. W W2, ponad warstwą 32, przy południowej gra-

nicy majdanu odnotowano prawdopodobnie nasyp wału, który tworzył przemieszany piasek z nieregularnie rozłożonymi plamami spalenizny i domieszki materii organicznej 34 (ryc. 17). Układał się on pasem szerokości co najmniej 150 cm na osi niemalże równoległej do krawędzi szczytu. Największa zachowana miąższość tej warstwy dochodzi do 45 cm. Na stoku tego nasypu od strony majdanu widoczny był piasek z domieszką materii organicznej i bardzo dużą domieszką miálu węglowego 31. To być może ślad uszkodzeń konstrukcji drewnianej wieńczącej wał, lub drewnianej konstrukcji przyległej do wału. Ponad warstwą spalenizny wydzielono piasek z domieszką materii organicznej, węgla drzewnych i soczewkami jasnego, sypkiego piasku 30, który jest być może pozostałością po nadsypywaniu wału, oraz przemieszany piasek z dużą domieszką materii organicznej i pojedynczymi drobinami węgla drzewnych 29, będący kontynuacją starszej warstwy kulturowej. Podobną sekwencję kontynuacji starszej warstwy kulturowej zaobserwowano w W6 i W7, gdzie nowszy poziom tworzy piasek z domieszką materii organicznej i węgla drzewnych 84. W warstwie tej



Ryc. 17. Lubianka, st. 6.
Widok na nasyp wału fazy I
i znajdujące się na jego stoku
relikty drewnianej konstrukcji
(fot. D. Skoczylas)

widoczne są ślady procesu bielnicowania bielicowania. To może oznaczać, że powierzchnia majdanu po ustaniu osadnictwa wczesnożelaznego przez długi czas nie była wykorzystywana, jako miejsce stałego bytowania.

Na pewnym etapie funkcjonowania osiedla obronnego przy nasypie wału w jego południowym odcinku powstał prawdopodobnie obiekt o funkcji mieszkalnej. Jego reliktem jest przestrzeń wysypana cienką warstwą jasnego, sypkiego piasku 28. Warstwa ta została wydzielona w W2 ponad jednostką 29, na całej szerokości wykopu i nie ma swej kontynuacji w W6 i W7. Ponad nią znajduje się nieregularna soczewka piasku z dużą domieszką węgla drzewnych 26, średnicy około 190 cm i miąższości do 15 cm, w środku której było skupisko małych kamieni 25 – zapewne pozostałość paleniska.

Z fazą tą należy także łączyć trzy obiekty:

- uchwycony fragmentarycznie wkop 98 w W7; nieckowaty w przekroju; zanotowane wymiary to szerokość do 70 cm i głębokość do 40 cm; wypełniskiem był żelazisty piasek przemieszany z materią organiczną i drobinami węgla drzewnych 96 i zalegający przy stropie piasek z dużą ilością węgla drzewnych 97;
- uchwycony fragmentarycznie wkop 60 w W6; nieregularnie U-kształtny w przekroju; zanotowane wymiary to szerokość do 120 cm i głębokość do 80 cm; wypełniskiem był sypki piasek z domieszką materii organicznej 61;
- uchwycony fragmentarycznie wkop 87 w W6; nieregularny w planie, nieregularnie nieckowaty w przekroju; zanotowane

wymiary to średnica do 160 cm i głębokość do 40 cm.

Obiekty 60 i 87 występują jeden ponad drugim i być może w rzeczywistości jest to jeden, duży obiekt. Wątpliwość w interpretacji wynikała z faktu, że pomiędzy nimi wystąpił piasek calcowy 66, który dostał się do wypełniska niższej partii obiektu najpewniej w wyniku obsypania się jego ścian. Jako że nie jest możliwe stwierdzenie w jakich okolicznościach doszło do rozdzielania się wypełnisk, w opracowaniu pozostawiono dwa obiekty.

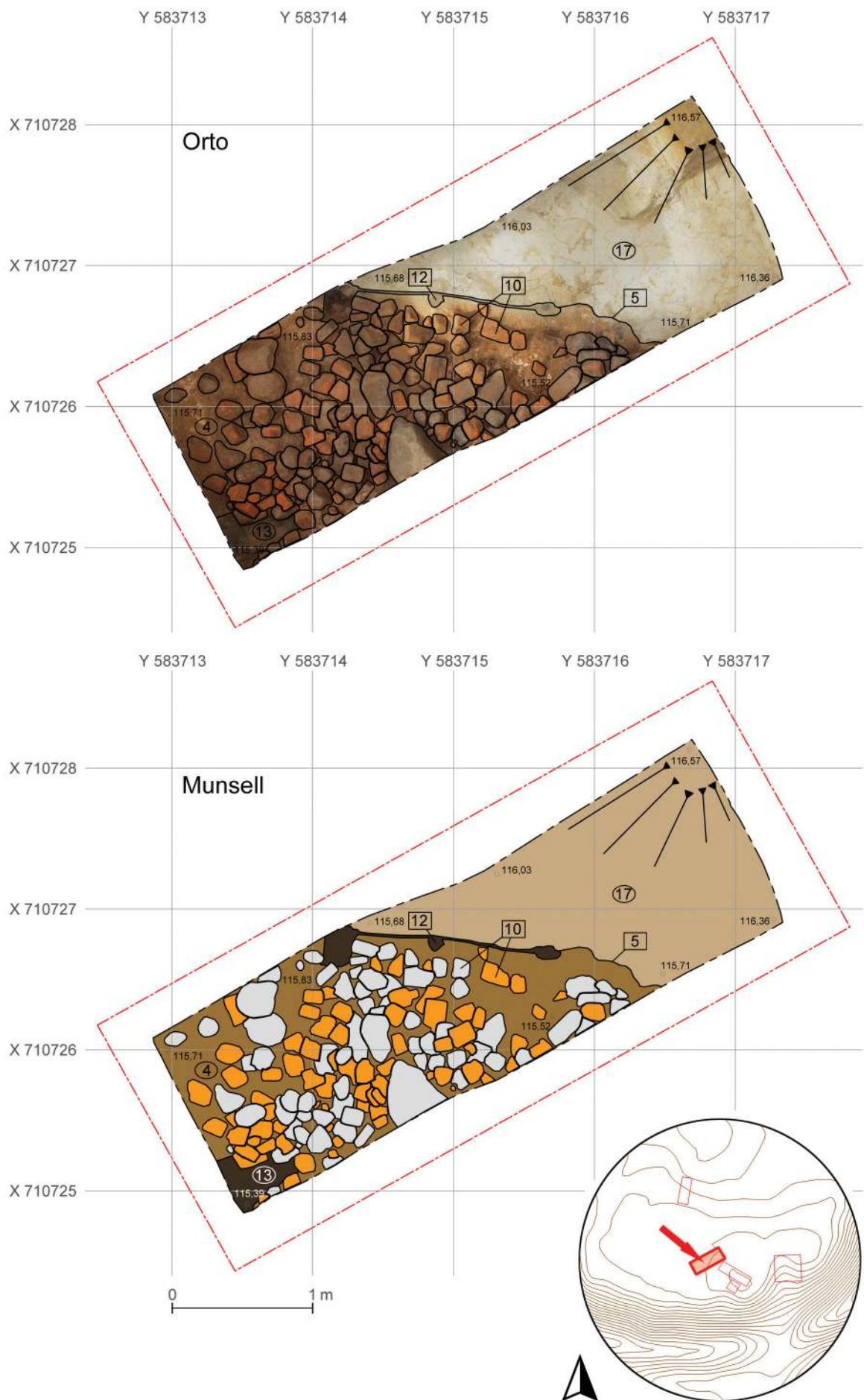
Chronologię funkcjonowania tej fazy określono z jednej strony na podstawie charakterystyki zbioru zabytków (patrz. dalej), ale także poddano analizie radiowęglowej próbę węgla pobraną z warstwy spalenizny 26, która interpretowana jest jako pozostałość paleniska. Wynik tej analizy dał po kalibracji przedział lat 364–121 p.n.e. z prawdopodobieństwem 95,4%¹⁷.

Faza II

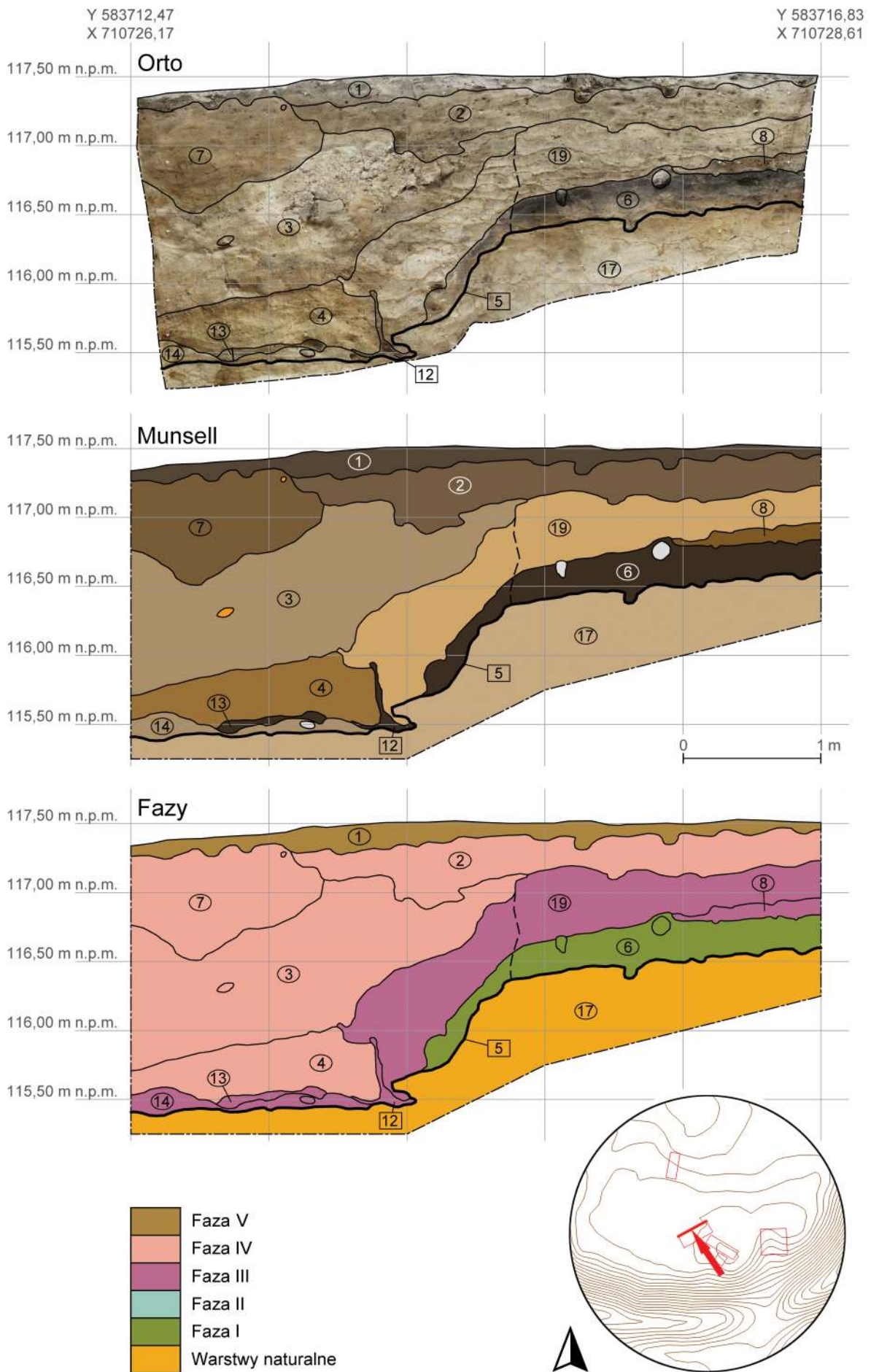
Faza ta związana jest z budową umocnień oraz wykorzystaniem obszaru grodziska w okresie wczesnego średniowiecza. Stan zachowania jednostek stratygraficznych związanych z tą fazą jest zły, gdyż zostały one silnie naruszone w wyniku prac ziemnych związanych z młodszym, średniowiecznym osadnictwem. Umocnienia, które powstały w tym czasie, to wał wewnętrzny, wał zewnętrzny i fosa.

Pozostałość wału wewnętrznego odkryto w południowej części majdanu, w W2, po-

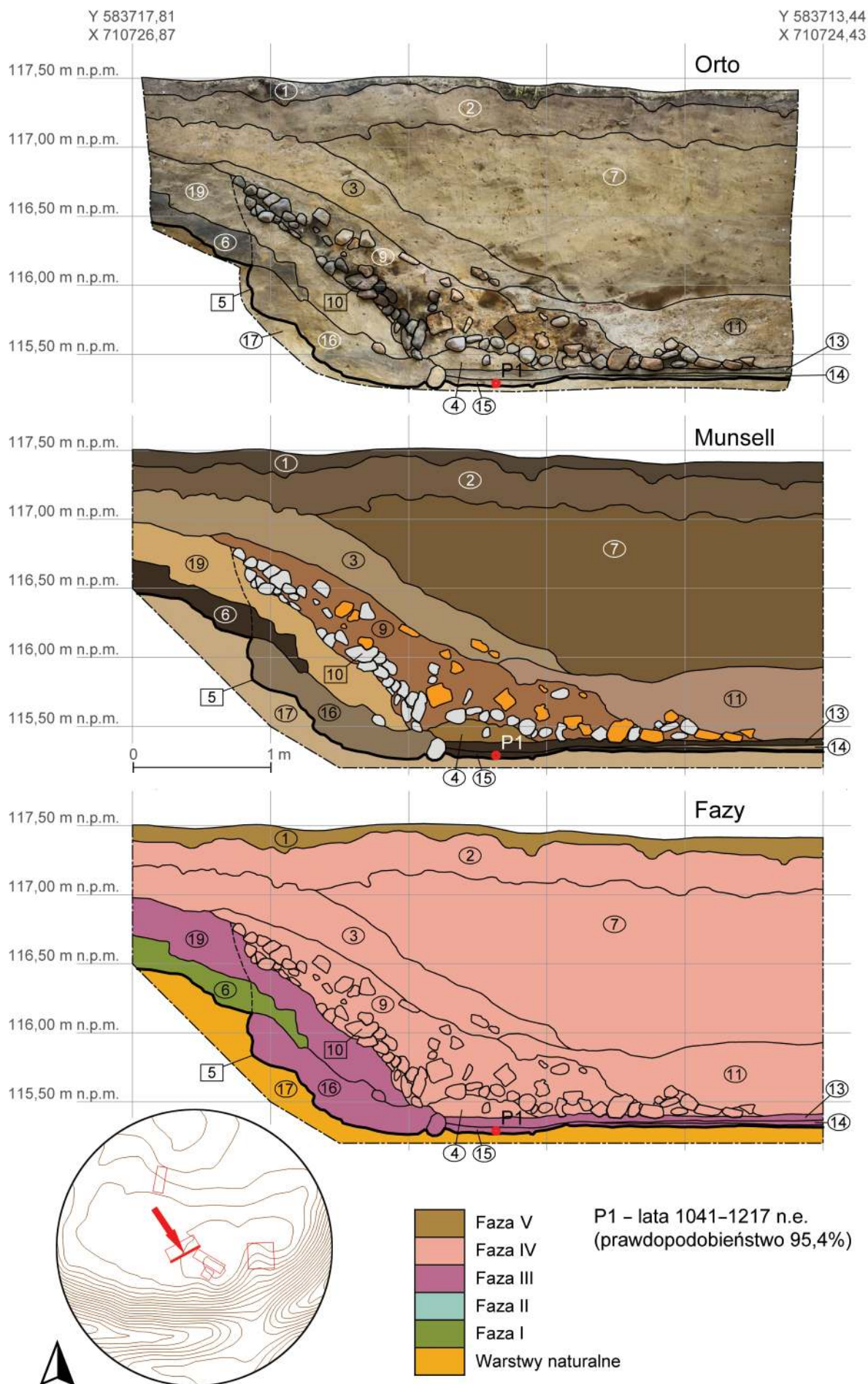
¹⁷ Analiza przeprowadzona w Poznańskim Laboratorium Radiowęglowym, próba nr Poz-149692.



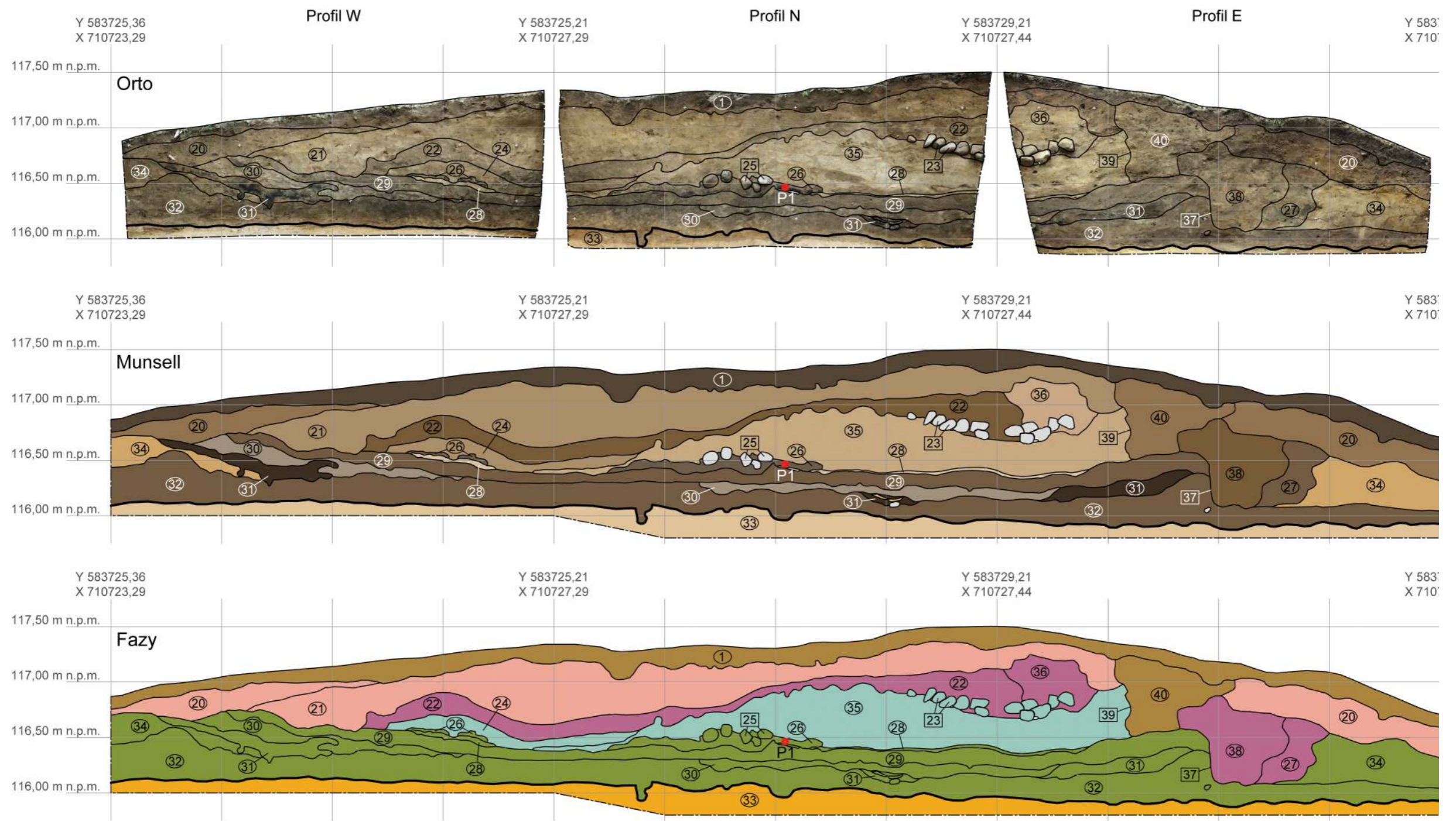
Ryc. 18. Lubianka, st. 6. Stratygrafia nawarstwień w obrębie południowej części majdanu – wykop 1, plan (oprac. D. Skoczylas i R. Solecki)



Ryc. 19. Lubianka, st. 6. Stratygrafia nawarstwień w obrębie południowej części majdanu – wykop 1, profil N (oprac. D. Skoczylas i R. Solecki)



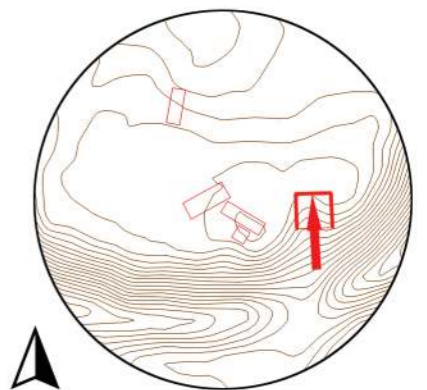
Ryc. 20. Lubianka, st. 6. Stratygrafia nawarstwień w obrębie południowej części majdanu – wykop 1, profil S (oprac. D. Skoczylas i R. Solecki)



- Faza V
- Faza IV
- Faza III
- Faza II
- Faza I
- Warstwy naturalne

0 ————— 1 m

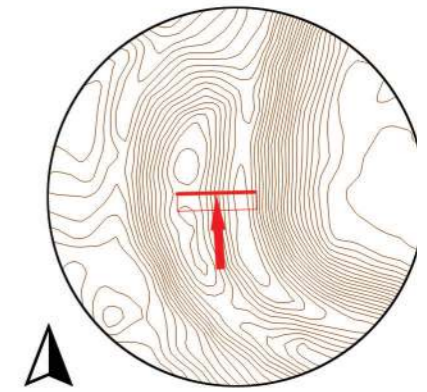
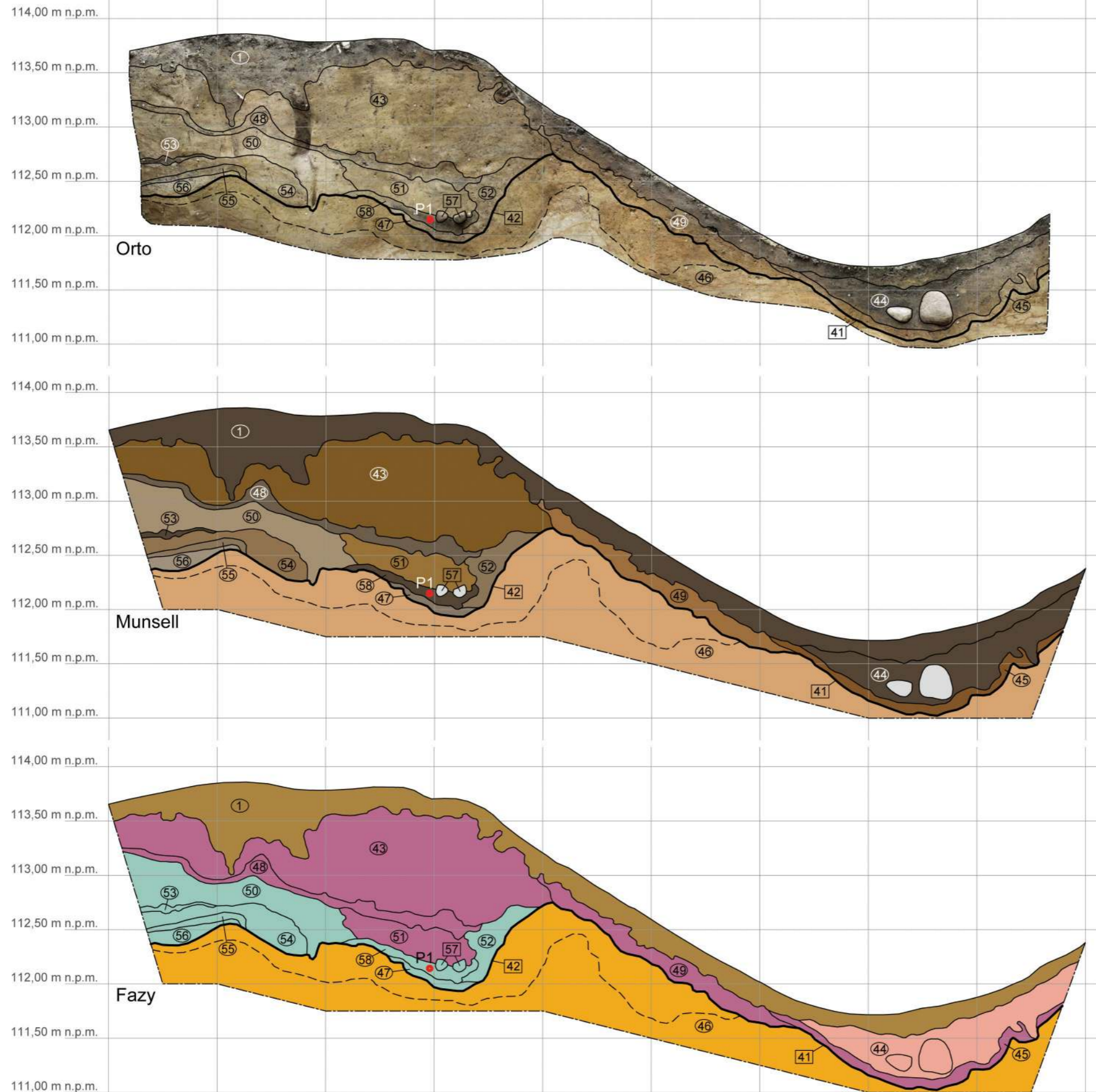
P1 - lata 364-121 p.n.e.
(prawdopodobieństwo 95,4%)



Ryc. 21. Lubianka, st. 6. Stratygrafia nawarstwień w obrębie południowej części majdanu – wykop 2, profile W, N i E (oprac. D. Skoczylas i R. Solecki)

Y 583679,64
X 710729,08

Y 583688,63
X 710729,31

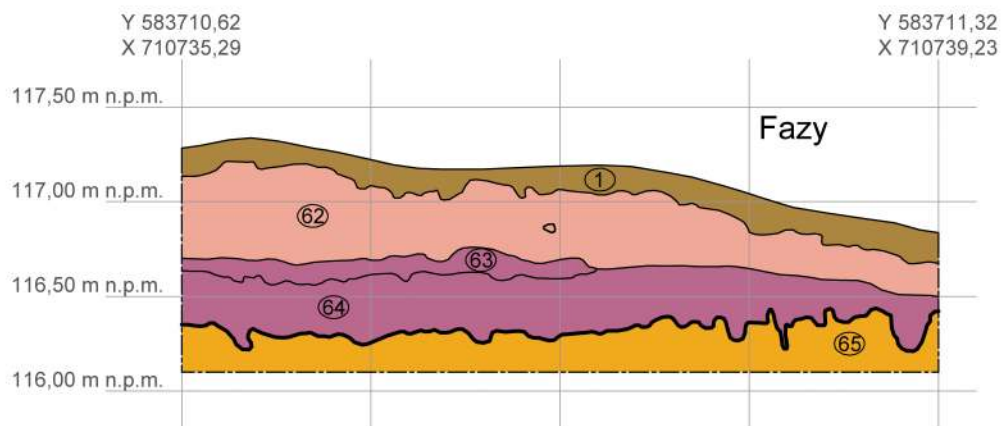
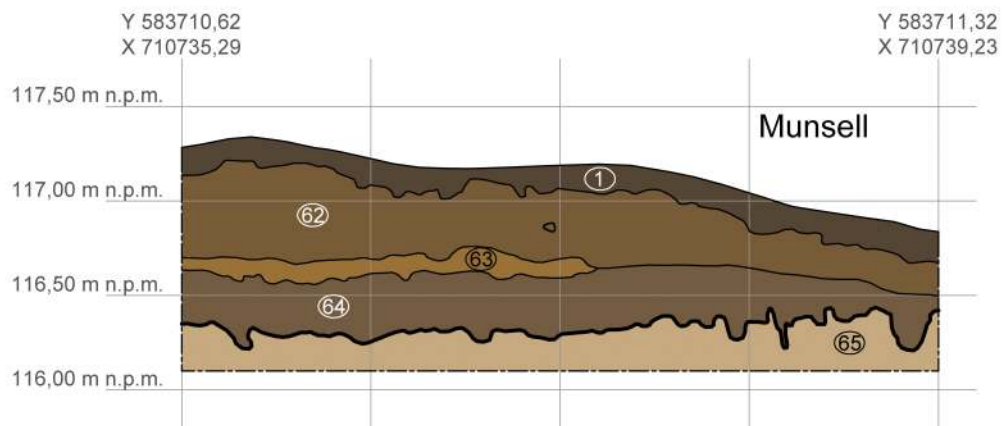
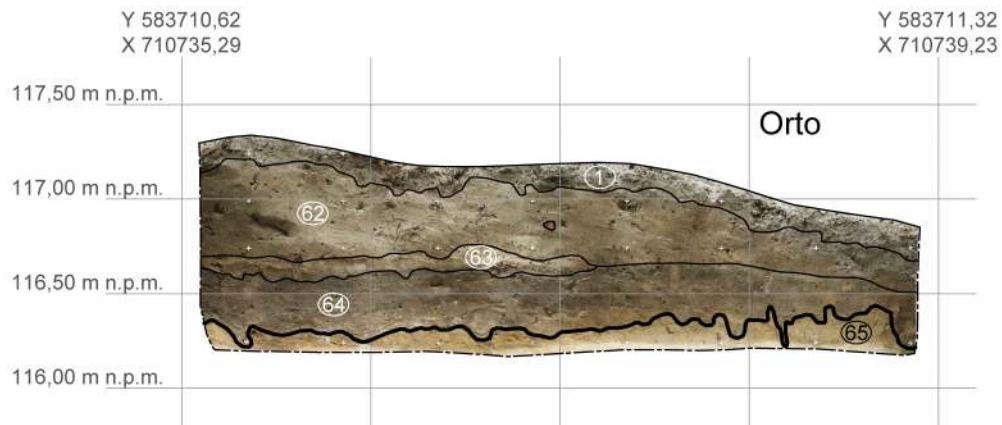


P1 – lata 671–876 n.e.
(prawdopodobieństwo 95,4%)

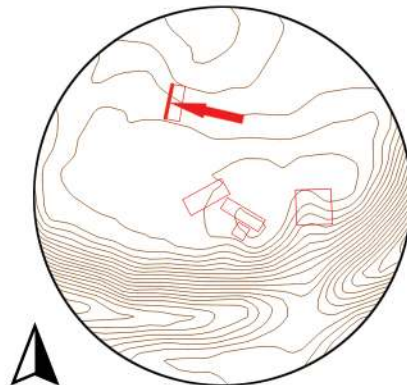
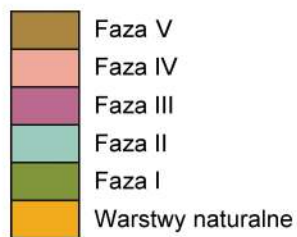
0 1 m

- Faza V
- Faza IV
- Faza III
- Faza II
- Faza I
- Warstwy naturalne

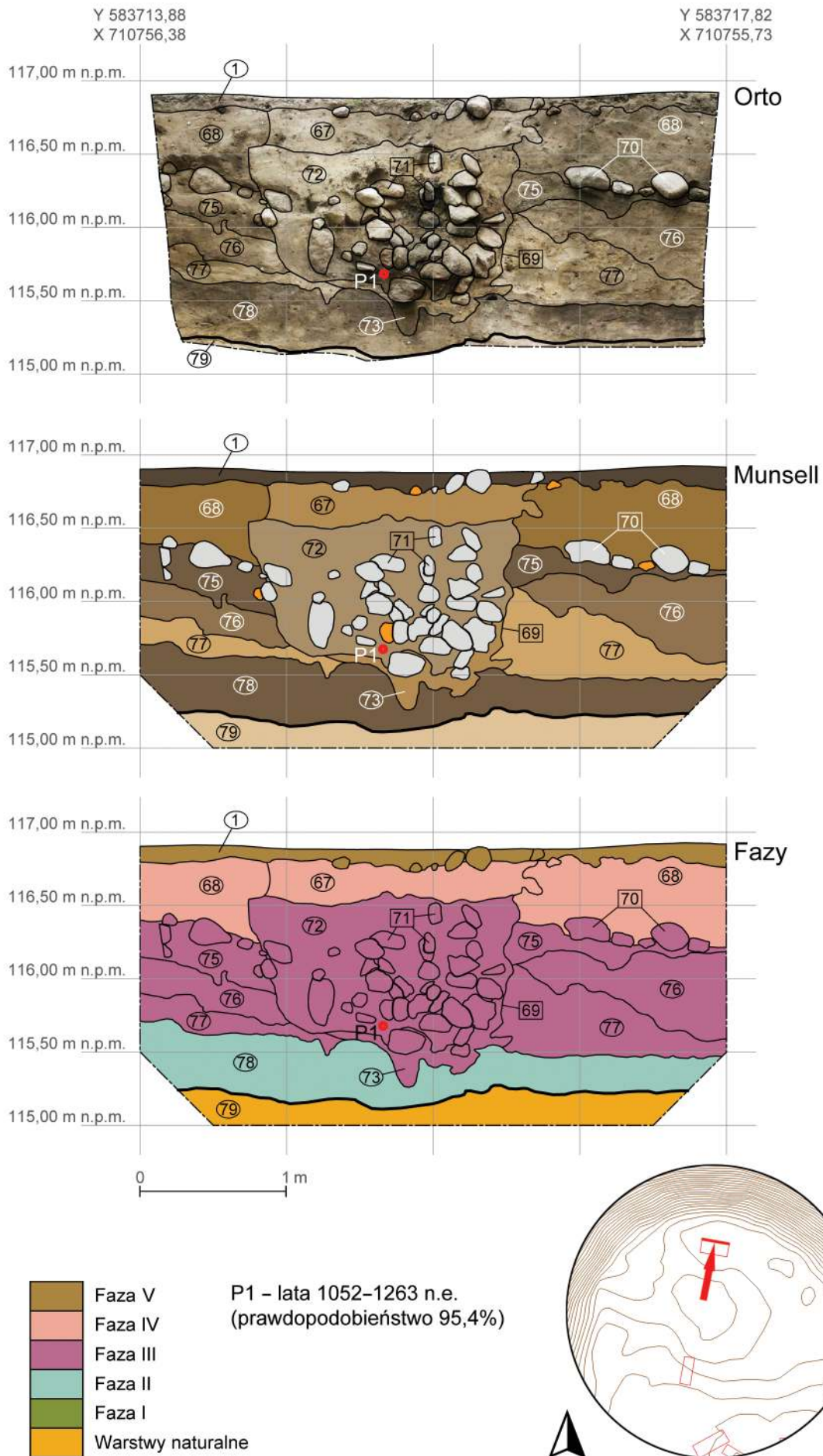
Ryc. 22. Lubianka, st. 6. Stratygrafia nawarstwień w obrębie wału i fosy poniżej majdanu – wykop 3, profil N (oprac. D. Skoczylas i R. Solecki)



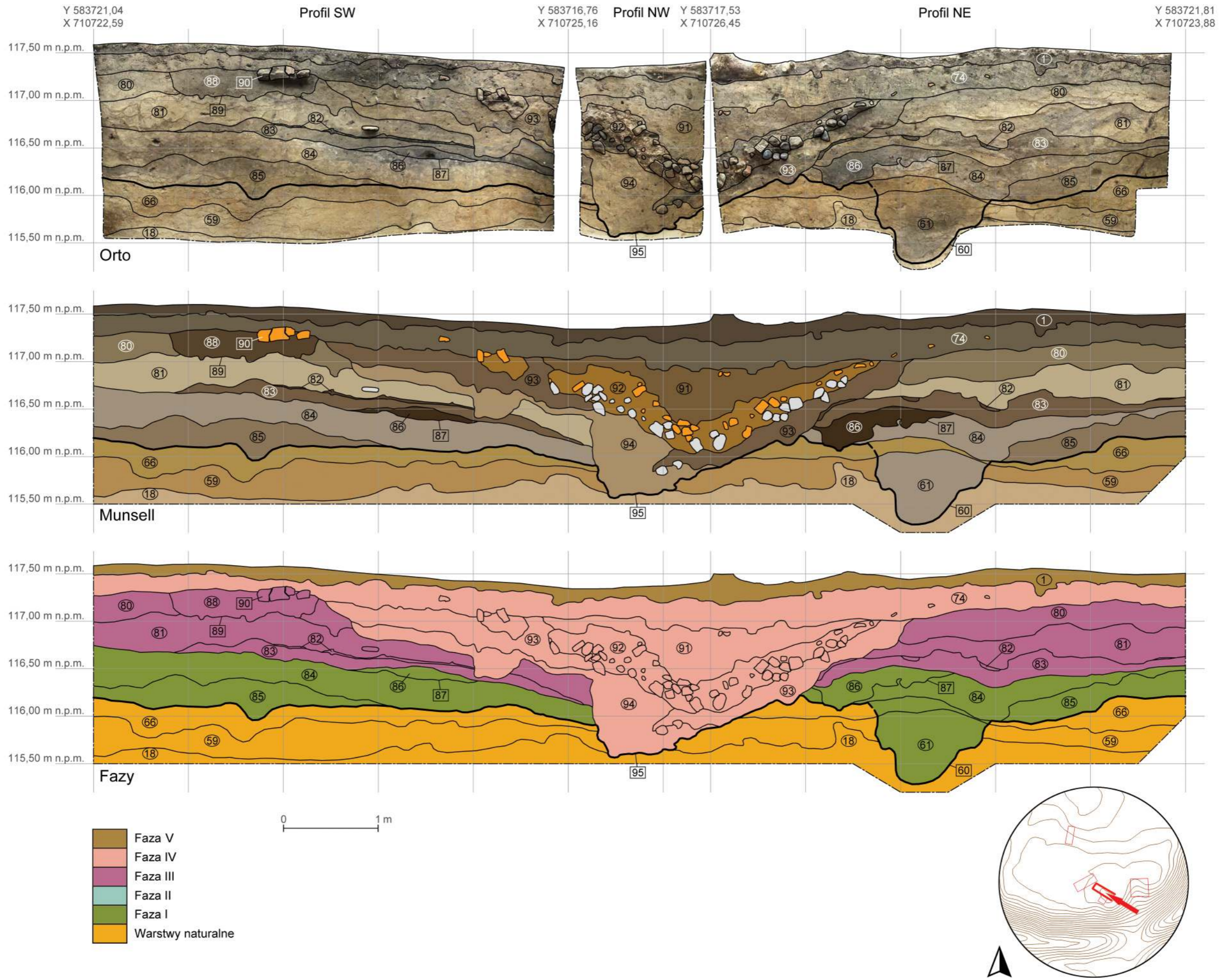
0 1 m



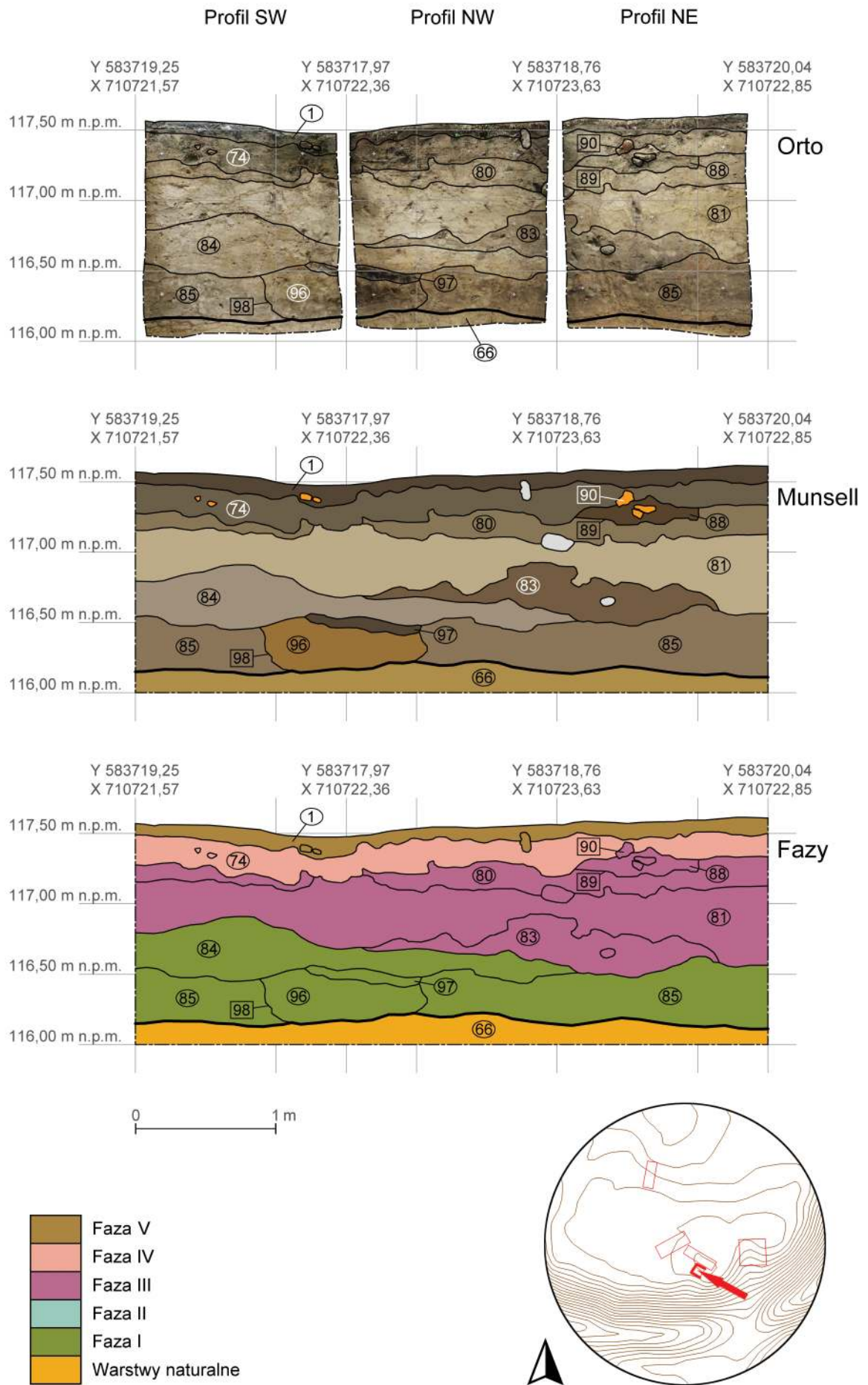
Ryc. 23. Lubianka, st. 6. Stratygrafia nawarstwień w obrębie centralnej części majdanu – wykop 4, profil W (oprac. D. Skoczylas i R. Solecki)



Ryc. 24. Lubianka, st. 6. Stratygrafia nawarstwień w obrębie północnej części majdanu – wykop 5, profil N (oprac. D. Skoczylas i R. Solecki)



Ryc. 25. Lubianka, st. 6. Stratygrafia nawarstwień w obrębie południowej części majdanu – wykop 6, profile SW, NW i NE (oprac. D.F. Wiczołek i R. Solecki)



Ryc. 26. Lubianka, st. 6. Stratygrafia nawarstwień w obrębie południowej części majdanu – wykop 7, profile SW, NW i NE (oprac. D.F. Wiczorek i R. Solecki)

nad starszym, wczesnożelaznym wałem. Wał z tej fazy miał inny układ niż starszy, ale też inny niż młodszy – w graniach W2 ułożony był on pod kątem około 45° do wału widocznego obecnie na powierzchni terenu. Nasyp wału tworzyły przemieszany piasek z soczewkami ilastej materii organicznej i pojedynczymi drobinami węgla drzewnych 35 oraz przemieszany piasek z dużą domieszką materii organicznej 24. Jego szerokość u podstawy wynosiła około 400 cm, a zachowana wysokość dochodziła do 60 cm. W stropie nasypu 35 odnotowano obecność luźno występujących kamieni 23 o średnicy do 15 cm.

Wał zewnętrzny i fosę uchwycono w W3, poniżej młodszego nasypu wału z rampą. Fosa 42 miała w przekroju kształt nieckowaty, szerokość około 180 cm i głębokość do 75 cm. W jej wypełnisku wydzielono sypki piasek z domieszką materii organicznej 47, przemieszany sypki piasek z dużą domieszką materii organicznej 52, sypki piasek z dużą domieszką węgla drzewnych 58 i grupujące się w rynnie pojedyncze kamienie 57 średnicy do 15 cm. Pierwotnie fosa znajdowała się zapewne na obszarze pomiędzy wałem wewnętrznym, którego w W3 nie uchwycono, i wałem zewnętrznym, który przylega do fosy od strony zachodniej. Wał zewnętrzny w granicach W3 ma szerokość u podstawy około 220 cm i zachowaną wysokość 80 cm. Jego nasyp tworzą kolejno: sypki piasek 56, sypki piasek z domieszką materii organicznej 55, przemieszany, ilasty piasek z domieszką materii organicznej 54, piasek z drobinami węgla drzewnych 53 i przemieszany, sypki piasek z soczewkami materii organicznej 50.

Z fazą tą należy także łączyć pozostałość warstwy kulturowej – sypki piasek z dużą domieszką materii organicznej 78 – którą uchwycono w północnej części majdanu.

Chronologię tej fazy określono na podstawie relacji stratygraficznych oraz podparto analizą radiowęglową. Próbkę do analizy pobrano z jednostki 58, będącej wypełniskiem fosy. Wynik tej analizy dał po kalibracji przedział lat 671–876 n.e. z prawdopodobieństwem 95,4%. Przy prawdopodobieństwie 68,2% okres zawęża się do lat 671–779 n.e.¹⁸

Faza III

Faza ta związana jest z budową zamku, o której wspominał Piotr z Dusburga, lokując jego

powstanie w 1325 roku¹⁹ oraz z jego funkcjonowaniem w okresie średniowiecza. To w ciągu tej fazy powstały wszystkie umocnienia czytelne do dziś w morfologii terenu.

Modyfikacja umocnień w obrębie majdanu czytelna jest w W2, gdzie nieznacznie nadsypano krawędź szczytu za pomocą sypkiego piasku 36, formując zarazem przejście w kierunku południowym na wał z rampą. W miejscu, gdzie powinna znajdować się krawędź przejścia bramnego od strony wschodniej, natrafiono na nieregularnie owalny w planie, nieregularnie U-kształtny w przekroju wkop 37, którego uchwycone wymiary to średnica do 140 cm i głębokość do 80 cm. Jego wypełniskiem był przemieszany piasek z domieszką materii organicznej i węgla drzewnych 27. Możliwe było także wydzielenie prawdopodobnie cienia po zdegradowanym słupie, który wyznaczał przemieszany, lekko próchniczny piasek 38. Opisany obiekt to najpewniej dół postłupowy będący jednym z elementów linii umocnień krawędzi majdanu. Warstwą kulturową, która powstała przy przejściu bramnym jest przemieszany piasek z dużą domieszką materii organicznej i drobinami węgla drzewnych 22.

Działaniem mającym na celu uformowanie docelowego kształtu *plateau* majdanu było wykopanie masywnej fosy 41. Jej wymiary uchwycone w W3 to szerokość 430 cm i głębokość do 170 cm. Urobkiem z kopania tej fosy nadsypano prawdopodobnie powierzchnię majdanu oraz wykorzystano do zbudowania wału z rampą. Przygotowując się do budowy tego wału zniszczono starsze umocnienia – zepchnięto nasyp wału z fazy II do sąsiadującej z nią fosy. Śladem tej niwelacji są przemieszany, lekko ilasty piasek z domieszką materii organicznej 51 i sypki piasek przemieszany z węglami drzewnymi 48. Następnie warstwy te nadsypano grubym na ponad 100 cm pokładem przemieszanego, sypkiego piasku z dużą domieszką materii organicznej 43, za pomocą którego wymodelowano kształt wału. Aby zabezpieczyć wał przed erozją, jego powierzchnię i stok wyłożono lekko ilastym piaskiem z dużą domieszką materii organicznej i żelazistymi wytrąceniami 49. Dno fosy z kolei wyłożono lekko ilastym piaskiem z bardzo dużą domieszką materii organicznej i żelazistymi wytrąceniami 45.

¹⁸ Analiza przeprowadzona w Poznańskim Laboratorium Radiowęglowym, próba nr Poz-149689.

¹⁹ Piotr z Dusburga 1679: 407–408; Wyszomirski 2011: 232–233, dokument 360.

W południowej części majdanu natrafiono na silnie zniszczone relikty architektury drewnianej i murowanej, które być może pochodzą z wspomnianego przez Piotra z Dusburga zamku. Pierwszą taką pozostałością jest szerokopłaszczyznowy wkop budowlany 5, o głębokości około 110 cm. W jego wnętrzu zachowały się w postaci nadpalonych zwęglonych smug drewna: ściana 12 wysokości 50 cm oraz dwa poziomy drewnianej podłogi, starszej 15 i młodszej 13, rozdzielonej przekładką sypkiego piasku z dużą domieszką materii organicznej i węgla drzewnych 14. Wypełniskiem wkopu budowlanego był piasek z domieszką materii organicznej i drobin węgla drzewnych 16. Piwniczkę po raz pierwszy uchwycono w W1, gdzie jej szerokość wynosiła około 320 cm, ale zadokumentowano tam tylko jedną jej ścianę. Aby uchwycić jej drugą ścianę otworzono W6, ale tam natrafiono tylko na jej zasypanisko. Urobkiem z kopania dołu pod piwniczkę podnoszono poziom gruntu wokół niej. W ten sposób powstała warstwa niwelacyjna grubości do 55 cm, stworzona z przemieszanych starszych warstw kulturowych i piasku calcowego, na którą składają się: piasek przemieszany z licznymi drobinami gruzu ceglanego i pojedynczymi węglami drzewnymi 8, sypki piasek z domieszką materii organicznej i smugami żelazistych wytraćen 19, piasek z domieszką materii organicznej i licznymi drobinami węgla drzewnych 83, cienka warstewka popiołów 82 oraz sypki piasek z domieszką materii organicznej i pojedynczymi kamieniami 81. Głębokość piwniczki liczona od uchwyconej drewnianej podłogi do szczytu warstwy kulturowej, którą przy piwnicze tworzył ilasty piasek z domieszką materii organicznej 81, wynosi 190 cm. Ze zwęglonej podłogi 15 pobrano próbę do analizy radiowęglowej. Wynik tej analizy dał po kalibracji przedział lat 1041–1217 n.e. z prawdopodobieństwem 95,4%²⁰.

Reliktem architektury murowanej jest mały odcinek, długości około 60 cm, platformy 90 ułożonej z pojedynczej warstwy ustawionych na wozówkach cegieł. Konstrukcję tę zadokumentowano na przestrzeni pomiędzy W6 i W7. Znajdowała się w regularnym, prostokątnym w przekroju wkopie 89, szerokości do 160 cm i głębokości do 25 cm, którego wypełniskiem był gliniasty piasek z dużą

domieszką materii organicznej 88. Funkcja obiektu nie została określona. Może być to fragment fundamentu umocnienia krawędzi wału, gdyż konstrukcja ta znajduje się blisko granicy majdanu. Nie można jednak wykluczyć, że była to też posadzka chodnika.

Obiekt o nieokreślonej funkcji odkryto przy północnej krawędzi majdanu, w W5. Został on wyprowadzony ze szczytu warstw niwelacyjnych: przemieszanego, ilastego piasku z cętkami żelazistych wytraćen 77 i przemieszanego, sypkiego piasku z domieszką materii organicznej 76 oraz występującej tam warstwy kulturowej, piasku z dużą domieszką materii organicznej, kawałkami gruzu ceglanego i pojedynczymi kamieniami 75. Wkop 69 był prostokątny w planie, nieregularnie Ukształtny w przekroju, a jego uchwycone wymiary to długość co najmniej 200 cm, szerokość około 150 cm i głębokość do 115 cm (ryc. 27). W wypełnisku tego obiektu znajdowały się kolejno: przemieszany, lekko gliniasty piasek z domieszką materii organicznej 73, rumosz kamiennie-ceglany oblepiony gliną 71 i piasek z domieszką materii organicznej przemieszany z dużą ilością zbitą gliny i węgla drzewnych 72. Wypełnisko tego obiektu musiało pierwotnie wystawać ponad powierzchnię warstwy kulturowej, gdyż jej granice są wyraźnie pionowe, a krawędź wkopu 69 jest wyraźnie niżej. Być może taki kształt utrzymywał się ze względu na to, że warstwę tworzyła zbita glina, odporniejsza na erozję od warstw piaszczystych. Wokół obiektu zadokumentowano kamienie o średnicy do 30 cm, które grupowały się wyraźnie wokół tego obiektu. Z warstwy 72, spomiędzy kamieni 71 w dolnej części obiektu, pobrano próbę węgla do analizy radiowęglowej. Wynik tej analizy dał po kalibracji przedział lat 1052–1263 n.e. z prawdopodobieństwem 95,4%. Przy prawdopodobieństwie 89,6% okres zawężył się do lat 1156–1263 n.e.²¹

W centralnej części majdanu, w W4, zadokumentowano warstwę kulturową, którą tworzył sypki piasek z dużą domieszką materii organicznej 64. Ponad nim wydzielono piasek z domieszką materii organicznej przemieszany z grudami gliny 63. Typ gliny jest zbliżony do tego z obiektu 69, w którym glinę wykorzystano do spojenia ze sobą cegieł. Być może warstwa ta jest więc związana z pracami budowlanymi, które prowadzono w pobliżu.

²⁰ Analiza przeprowadzona w Poznańskim Laboratorium Radiowęglowym, próba nr Poz-149690.

²¹ Analiza przeprowadzona w Poznańskim Laboratorium Radiowęglowym, próba nr Poz-149691.

Faza IV

Faza ta wyznacza okres, który nastąpił po opuszczeniu zamku. Odkryte ślady jednoznacznie wskazują, że zamek został doszczętnie zniszczony, ale nie sposób określić, czy był to wynik ataku, czy może po opuszczeniu nie został on rozebrany w celu pozyskania budulca. Upadek tego miejsca nastąpił prawdopodobnie na przełomie XV i XVI wieku, gdyż opisujący miejscowość Pluty w 1595 C. Henneberger podaje, że znajdujący się tam zamek jest opuszczony²².

Najwięcej o charakterze tego miejsca z okresu przed upadkiem mówi wypełnisko drewnianej piwniczki w południowej części majdanu. Znalaziono tam bardzo dużo rumoszu kamienno-ceglanego, jednoznacznie świadczącego, że tutejsza architektura była murowana i że musiało być to założenie dość duże. Uchwycone w obrębie piwniczki warstwy zasypiskowe 95 to: sypki piasek z domieszką drobnego żwiru i silnymi żelazystymi wytrąceniami 4, rumosz kamienno-ceglany oblepiony gliną 10, glina przemieszana z drobnym rumoszem kamienno-ceglanym 9, plastry gliny z grudami polepy i drobinami węgla drzewnych przemieszane z sypkim piaskiem 11, przemieszany piasek z dużymi grudami zwartej gliny, materią organiczną i kawałkami gruzu ceglanego 3, piasek z dużą domieszką materii organicznej i pojedynczymi drobinami węgla drzewnych 7, przemieszany ilasty piasek z domieszką materii organicznej 94, przemieszany piasek, glina, materia organiczna i drobiny gruzu ceglanego 93, rumosz kamienno-ceglany przemieszany z piaskiem

²² Henneberger 1595: 349.

i gliną 92 oraz przemieszana, piaszczysta glina z domieszką materii organicznej i gruzu ceglanego 91.

W fosie wydzielono warstwę erozyjną powstałą w wyniku wymywania materiału ze stoku wałów. Warstwą tą jest lekko ilasty piasek z bardzo dużą domieszką materii organicznej i pojedynczymi kamieniami 44.

Ponad warstwami zasypiskowymi czytelnym jest wyraźny poziom erozyjny powstały w wyniku długotrwałego procesu rozmywania piaszczystych warstw przez wodę. Nie można wykluczyć, że powierzchnię majdanu poddano jakiejś formie kultywacji, o czym może świadczyć rycina z XIX wieku, na której szczyt wzgórza z grodziskiem jest całkowicie odlesiony. Wydzielonymi warstwami erozyjnymi są: w W1 przemieszany piasek z dużą domieszką materii organicznej i pojedynczymi kawałkami gruzu ceglanego 2, w W2 przemieszany, sypki piasek z domieszką materii organicznej 21 i przemieszany, sypki piasek z dużą domieszką materii organicznej 20, w W4 sypki piasek z dużą domieszką materii organicznej i pojedynczymi kawałkami gruzu ceglanego 62, w W5 lekko ilasty piasek z dużą domieszką materii organicznej i drobinami gruzu ceglanego 67 i 68, w W6 przemieszany, gliniasty piasek z domieszką gruzu ceglanego 74.

Faza V

Faza ta wyznacza współczesny poziom użytkowy stanowiska. Warstwą przypisaną do tego etapu jest pokrywający jego całą powierzchnię piasek z bardzo dużą domieszką materii organicznej 1.



Ryc. 27. Lubianka, st. 6.
Widok na obiekt 69
z wypełniskiem z rumoszu
kamienno-ceglanego 71
(fot. D. Skoczylas)

Z fazą tą można także połączyć nieregularny w planie i nieregularny w przekroju wkop 39, którego uchwycone wymiary to szerokość do 110 cm i głębokość do 75 cm. Wypełniskiem jest przemieszany, luźny piasek z dużą domieszką materii organicznej 40. Wkop ten zadokumentowano w W2, przy wejściu na majdan. Jest to być może pozostałość wspólnego wkopu rabunkowego.

ZNALEZISKA

DANIEL SKOCZYŁAS I RAFAŁ SOLECKI

Podczas archeologicznych badań wykopaliskowych grodziska w Lubiance, st. 6 pozyskano łącznie 551 fragmentów ceramiki (tabela 2-3; tablice 1-4), 97 kości zwierzęcych oraz 109 zabytków wydzielonych (tablice 5-13).

Ceramika

Pozyskany zbiór fragmentów ceramiki, liczący 551 elementów, jest generalnie źle zachowany. Większość stanowiły fragmenty małe, których największy wymiar mieścił się w przedziale 1-4 cm (398 fragmentów; 72,2% zbioru). Stosując klasyfikację stanu zachowania powierzchni i krawędzi zaproponowaną przez Andrzeja Buko, 25 fragmentów (4,5% zbioru) przypisano do kategorii III (ceramika mocno zerodowana), 117 fragmentów (21,2% zbioru) do kategorii II (ceramika zerodowana w średnim stopniu), 406 fragmentów (73,7% zbioru) do kategorii I (ceramika nie wykazująca większego zniszczenia powierzchni) i 3 fragmenty (0,6% zbioru) do kategorii 0 (ceramika bez śladów zniszczenia). Pomimo to tylko 51 fragmentów (9,2% zbioru) określono jako niediagnostyczne. Jest tak dlatego, gdyż duża część drobnych fragmentów pochodziła ze zniszczonych naczyń zachowanych *in situ* i pozwalających na ich wyklejenie.

Zbiór fragmentów ceramiki posiadających jakiegokolwiek cechy diagnostyczne liczy 500 elementów i można go podzielić na pięć grup technologiczno-surowcowych.

Ceramika wczesnożelazna

Do grupy technologiczno-surowcowej charakterystycznej dla okresu wczesnej epoki żelaza zaliczono 127 fragmentów (25,4% zbioru fragmentów diagnostycznych).

Fragmenty z tej grupy można podzielić wewnętrznym, bazując na formie opracowa-

nia ścian naczyń. Naczynia, gdzie ściany miały powierzchnię chropowatą lub szorstką (łącznie 60 ułamków, 47,2% tej grupy), były wykonane ze słabo wyrobionej masy ceramicznej z dość dużą ilością drobnej, średniej i grubej domieszki schudzającej – piasku, drobin startego granitu i miki. Drugi typ obejmuje naczynia, gdzie ściany były gładkie (64 ułamki, 50,4% tej grupy). Tu masa garncarska była nieznacznie lepiej wyselekcjonowana i zawierała raczej drobną domieszkę schudzającą. 3 fragmenty miały wypłukaną powierzchnię i nie określono ich typu. Naczynia o gładkiej powierzchni miały nieznacznie cieńsze ścianki – ich średnia grubość wynosi 6,5 mm. Naczynia o powierzchni szorstkiej lub chropowatej miały średnią grubość ścianek 7,7 mm. Naczynia wypalane były w niezaawansowanej technologii utleniającej, co powodowało, że ściany miały barwę niejednorodną, obejmującą odcienie od pomarańczowego, przez beże, do brązów i szarości.

W analizowanym zbiorze znalazło się 17 fragmentów wylewów, 104 brzuśce, 4 części przydenne i 2 ułamki ucha. Stan zachowania pozwolił na częściową rekonstrukcję kilku naczyń. Pierwszy wydzielony typ to naczynia wazowate lub dwustożkowate – typ I lub II wg klasyfikacji Mirosława Hoffmanna²³ lub typ III wg klasyfikacji Łucji Okulicz²⁴ (tabl. 1:1-4). Mają one ustawione pionowo, niewydzielone krawędzie wylewów, których średnice wynoszą 15 cm, 15 cm i około 33 cm. Poniżej krawędzi wylewu znajdowała się krótka szyjka przechodząca w silnie wydęty brzusec. Krawędź przejścia jest wyraźna, a w przypadku największego naczynia dodatkowo zaakcentowana niewielkimi dołkami wykonanymi poprzez załuskanie paznokciem (tabl. 1:1). Naczynia o podobnej formie znane są z oddalonego o 25 km na południe Stolna, gm. Miłakowo, gdzie znaleziono je w kurhanie, w grobie łączonym z wczesnolateńską fazą osadnictwa ludności kultury kurhanów zachodniobałtyjskich²⁵. Kolejne, także znalezione w kurhanie, pochodzi ze wsi Boguchwały, gm. Miłakowo²⁶ oddalonej o 39 km na południe. Kolejnym typem jest amfora (tabl.

²³ Hoffmann 2000: ryc. 35-36.

²⁴ Okulicz 1970: 25.

²⁵ Hoffmann 1999: 260, tabl. LVI; Waluś i Kowalska 1999.

²⁶ Hoffmann 1992: 21, 29, tabl. 1:6.

Tabela 2. Zestawienie ilościowe fragmentów ceramiki z grodziska w Lubiance, st. 6 (oprac. D. Skoczylas, K. Turzyński i R. Solecki)

Faza	Jednostka stratygraficzna	Liczba fragmentów łącznie	Liczba różnych naczyń	Wylewy			Brzoście					Ucha	Części przydenne	Liczba fragmentów	SEN (procent obwodu)	Dna			Fragmenty przepalone	Fragmenty o wypukłej powierzchni	Grupa technologiczna																	
				Liczba fragmentów	SEN (procent obwodu)	Ornamentowane	Chropowate	Gładkie	Wyświecane	Szorstkie	Nieokreślone					Ornamentowane	Wklęsłe	Lekko wklęsłe			Płaskie	Wczesna epoka żelaza	Wczesne średniowiecze	Siwa	Ceglasta	Nowożytna	Nieokreślone											
I	6	6	2	1	2			2		4			1							4												2						
I	26	8	1	1	15			8		6			1							8																		
I	29	60	14	6	43	2	3	32	20	6	2		1						58														2					
I	30	18	5	4	38	1		6	3	9			1						18																			
I	31	11	4	1	2			7		4									11																			
II	78	10	3	1				5	1	4									4																			
III	8	3	3					1	1	2									1																			
III	13	6	4					5	1	1									1																			
III	15	2	2					1	1	1									2																			
III	64	33	8	2	4	1		16	1	12	4	3	1					2																				
III	72	3	2					2		1																												
III	75	22	6	1	3			10	9	3	2							1																				
III	76	39	7	4	10	2		19	1	19	2							2																				
III	81	8	4					4	1	4	3								3																			
III	83	1	1	1	1					1									1																			
III	88	1	1							1																												
IV	2	25	7	7	20	4		17	1	7	2							3																				
IV	3	12	3	3	30	3		11			5																											
IV	4	1	1							1																												
IV	21	4	3	2	6	1		1	2	1																												
IV	62	2	1					2		2																												
IV	68	67	11	6	14	1		32		34	1	2						7																				
IV	74	30	11	5	12	1		9	3	16	4	2																										
IV	91	81	18	11	43	1		45	1	31	20							1																				
IV	92	26	4	5	15			22	2	22	1	8						1																				
IV	93	6	5					3	1	3	1																											
V	1	66	33	7	16			33	1	30	1							3																				
Suma		551	164	68	274	17	3	292	41	292	6	199	12	52	4	7	23	1	5	17	41	3	127	13	334	23	3	51	11									

Tabela 3. Fragmentacja i erozja fragmentów ceramiki z grodziska w Lubiance, st. 6 (oprac. D. Skoczył, K. Turzyński i R. Solecki)

Faza	Jedn. strat.	Kategorie wielkościowe (cm)										Stopień erozji				Suma			
		1	2	3	4	5	6	7	8	9	10	0	I	II	III				
I	6			1	1	1										6			6
I	26				1						2		1	1	3				8
I	29		1	14	10	9	10	7	4	1	4					55	5		60
I	30			5	5	1	1	1			5					11	7		18
I	31			4	5	1	1									11			11
II	78			5	4		1									10			10
III	8			1			1	1								2	1		3
III	13			4	2											6			6
III	15				2											2			2
III	64		6	12	9	4	1		1						27	6		33	
III	72			1	2										3			3	
III	75		2	9	6	2	2	1							18	4		22	
III	76	1	10	12	7	3	2		2	1	1				28	9	2	39	
III	81	4		2	2										5	3		8	
III	83	1														1		1	
III	88	1													1			1	
IV	2		3	9	5	5	2			1					2	20	3	25	
IV	3			1	3	1	2	3	1		1				1	9	2	12	
IV	4							1							1			1	
IV	21		1	1	1	1									4			4	
IV	62		1	1											1	1		2	
IV	68		4	24	22	10	3	2	1	1					56	11		67	
IV	74	7	15	4	4										1	17	12	30	
IV	91	9	20	22	17	7	2	1	2	1					54	21	6	81	
IV	92	1	3	13	4	3	1			1					25	1		26	
IV	93	1	2	2	1										6			6	
V	1	5	11	13	16	13	6	1	1						36	25	5	66	
Suma		30	79	160	129	61	36	20	13	7	16	3	406	117	25	551			

1:5) typu III, grupy III lub IV według Hoffmanna, którą autor datuje na okres lateński A/B (grupa III) lub wczesny okres przedrzymski (grupa IV)²⁷. Ma ona profil zbliżony do wcześniej opisanych naczyń wazowatych/dwustożkowatych, ale zaopatrzone jest w małe, krępe ucho umieszczone na największej wydętości brzuśca. Zbliżona forma znana jest z osiedla obronnego w Tolkmicku, gm. *loco* oddalonego o 49 km na zachód i datowanego na okres wczesnolateński²⁸. Fragmenty misy lub mis – typ VI wg Hoffmanna²⁹ – znaleziono tuż obok siebie i pomimo że mają nieznacznie inaczej uformowane krawędzi wylewów, to być może pochodzą z jednego naczynia. Jako że brak pewności, to na tablicy 1 zaprezentowano je niezależnie (tabl. 1:6–7). Reprezentują one odmianę płytkich mis, o dużej średnicy i o przekroju wycinka kuli. Ostatni typ to naczynia o jajowatym kształcie (tabl. 2:1–2) – typ IV wg M. Hoffmanna³⁰. Dobrze zachowany fragment takiego naczynia (tabl. 2:2) miał górną partię zagładzoną z szerokim, taśmowatym uchem umieszczonym przy krawędzi wylewu. Dolna część naczynia była intencjonalnie chropowata. Zbliżone naczynie, również z uchem, ale o chropowacieńcu dochodzącym pod sam wylew, znane jest z oddalonego o 74 km na południowy zachód wczesnożelaznego osiedla obronnego w Dzierzgoniu Starym³¹. Zapewne jajowatą formę miało także naczynie, którego fragment znaleziono na wtórnym złożu. Miało ono chropowatą powierzchnię brzuśca, a krawędź wylewu była nieznacznie pocieniona (tabl. 2:7).

Na wtórnym złożu znaleziono fragment wylewu o wychylonej na zewnątrz, nieco pogrubionej krawędzi wylewu, która po zewnętrznej stronie była zdobiona pasem skośnych nacięć (tabl. 2:4). Zdobienie tej części naczynia występuje dość często na naczyniach bałtyjskiego kręgu kulturowego, od wczesnej epoki żelaza – tu przykład analogii z oddalonego o około 85 km na północny wschód osiedla obronnego w Welawie (niem. *Alt Wehlau*)³² – aż po wczesne średniowiecze – tu przykład oddalonego o 92 km na zachód

stanowiska w Węgrach, gm. Sztum³³. W tym przypadku, przy zachowanym jedynie niedużym fragmencie, precyzyjne określenie chronologii nie jest możliwe.

Ceramika wczesnośredniowieczna

Zbiór ceramiki, którą przypisano do grupy technologiczno-surowcowej charakterystycznej dla okresu wczesnego średniowiecza liczy 13 fragmentów (2,6% zbioru fragmentów diagnostycznych), a tylko 6 z nich znaleziono w warstwie kulturowej łączącej z fazą II, która przypisana jest do wczesnego średniowiecza. Pozostałe fragmenty znaleziono na wtórnym złożu, w młodszym jednostkach stratygraficznych.

W analizowanym zbiorze znalazły się trzy fragmenty wylewów i osiem brzuśców. Tylko jeden wylew był w warstwie fazy II – to ułamek o niepogrubionej krawędzi wylewu i esowatym profilu (tabl. 2:3). Dwa podobne profile, ale o nieco pogrubionej krawędzi wylewu miały kawałki znalezione na wtórnym złożu (tabl. 2:5–6). Jeden z nich miał dodatkowo pojedyncze, luźno ułożone nacięcia w poprzek krawędzi wylewu (tabl. 2:5). Podobne zdobienie znane jest z badań domniemanego grodziska w Malborku-Wielbarku datowanego na około XI–XII wiek³⁴ oraz grodziska w Bornitach, gm. Pieniężno, z fazy datowanej na IX–X wiek³⁵. Na brzuścach znalezionych na złożu wtórnym odnotowano obecność zdobień, które często występują na ceramice wczesnośredniowiecznej – linii falistej (tabl. 2:8) i skośnych nacięć (tabl. 2:9). Nie pozwalają one jednak na określenie bardziej precyzyjnej chronologii.

Ceramika siwa

Do grupy ceramiki wypalanej w atmosferze redukcyjnej i zwyczajowo określanej mianem siwej zaliczono 334 fragmenty (66,8% zbioru fragmentów diagnostycznych). Naczynia uformowano z dobrze wyrobionej masy ceramicznej z niedużą domieszką drobno- i średnioziarnistego piasku. Ich powierzchnia była najczęściej gładka (200 przypadków 59,9% tej grupy), rzadziej szorstka (200 przypadków 39,5% tej grupy), a na 2 fragmentach (0,6% tej grupy) odnotowano ślady wyświecania. Średnia grubość ścianek wyno-

²⁷ Hoffmann 2000: ryc. 37.

²⁸ Antoniewicz 1964: 145–147, tabl. 39:e.

²⁹ Hoffmann 2000: ryc. 40.

³⁰ Hoffmann 2000: ryc. 38.

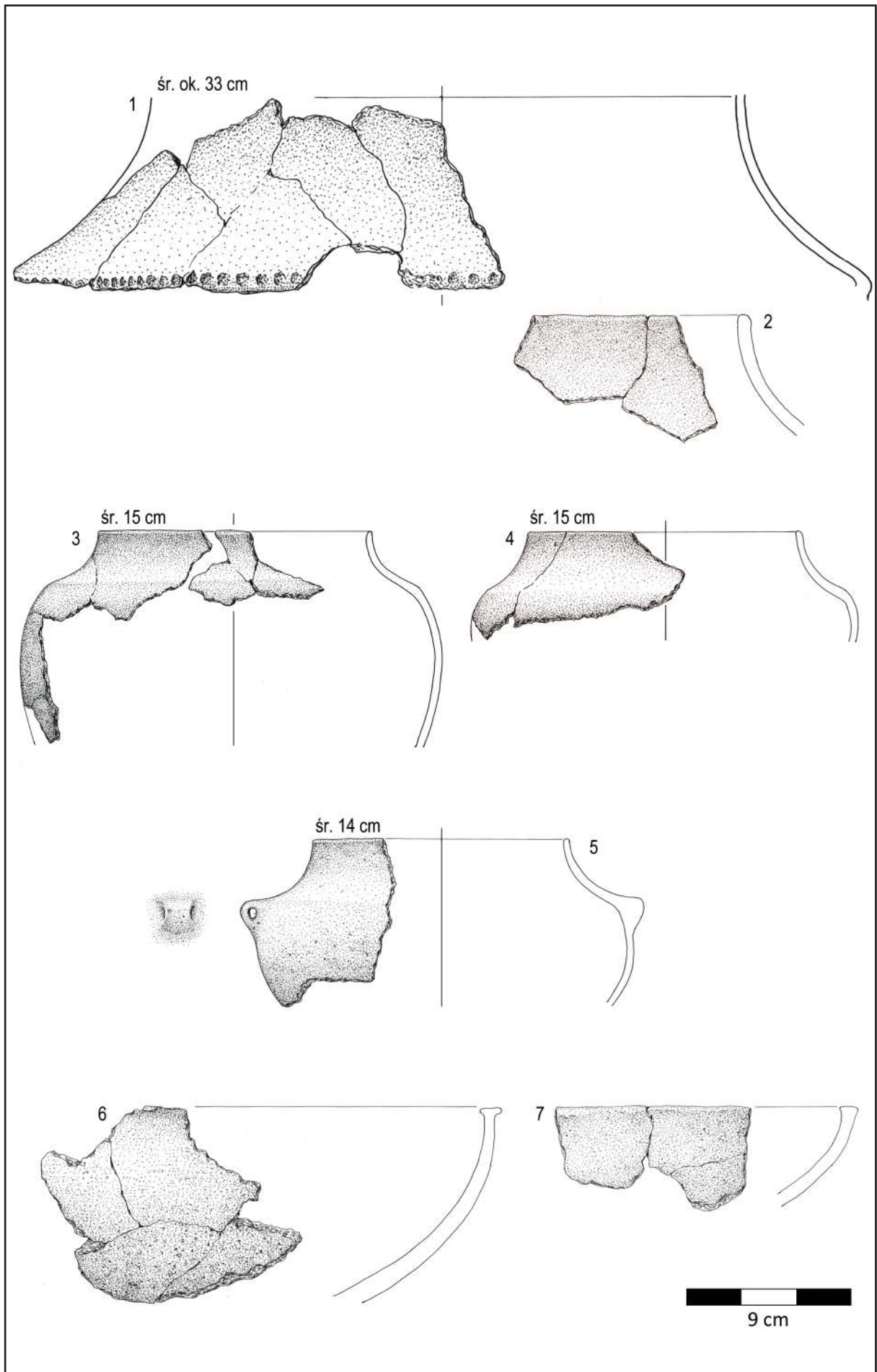
³¹ Okulicz 1970: 256, tabl. XXV:7.

³² Hoffmann 1999: 11, 235, tabl. XXXI:1

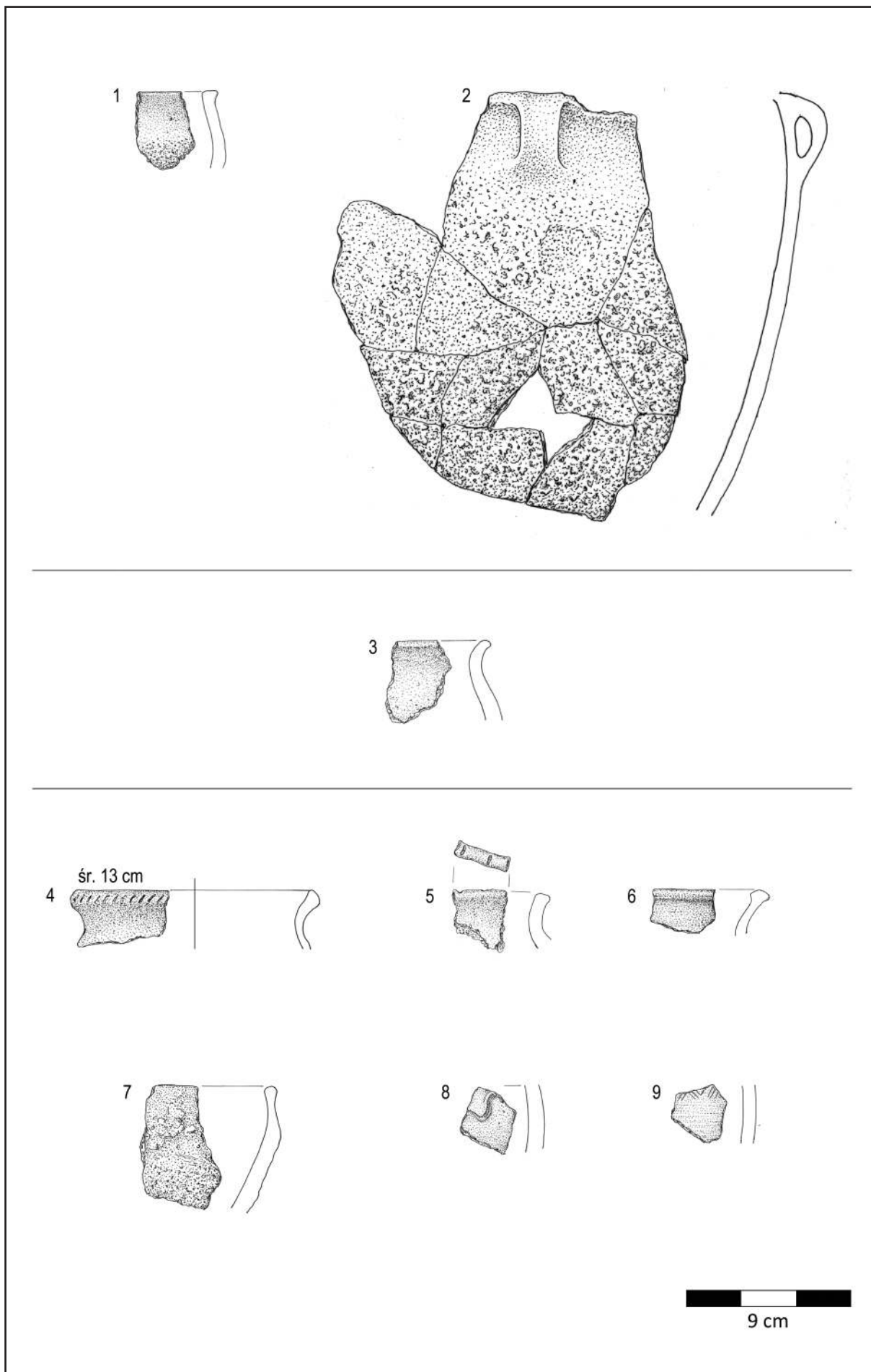
³³ Haftka i Wadył 2015: 222, tabl. 11:d.

³⁴ Wadył 2019: 83–106, ryc. 61.

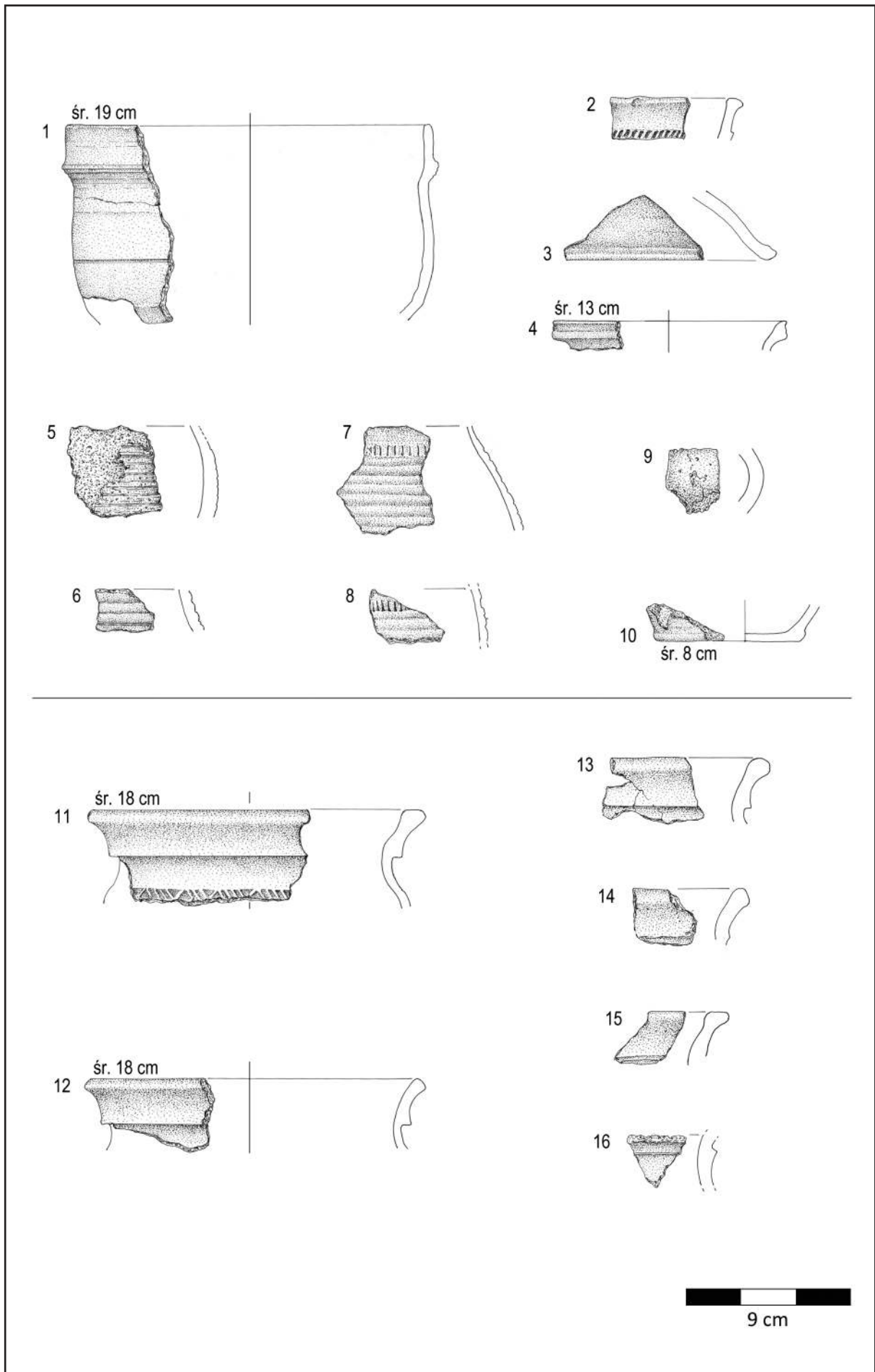
³⁵ Wadył i Martyka 2019: 83–86.



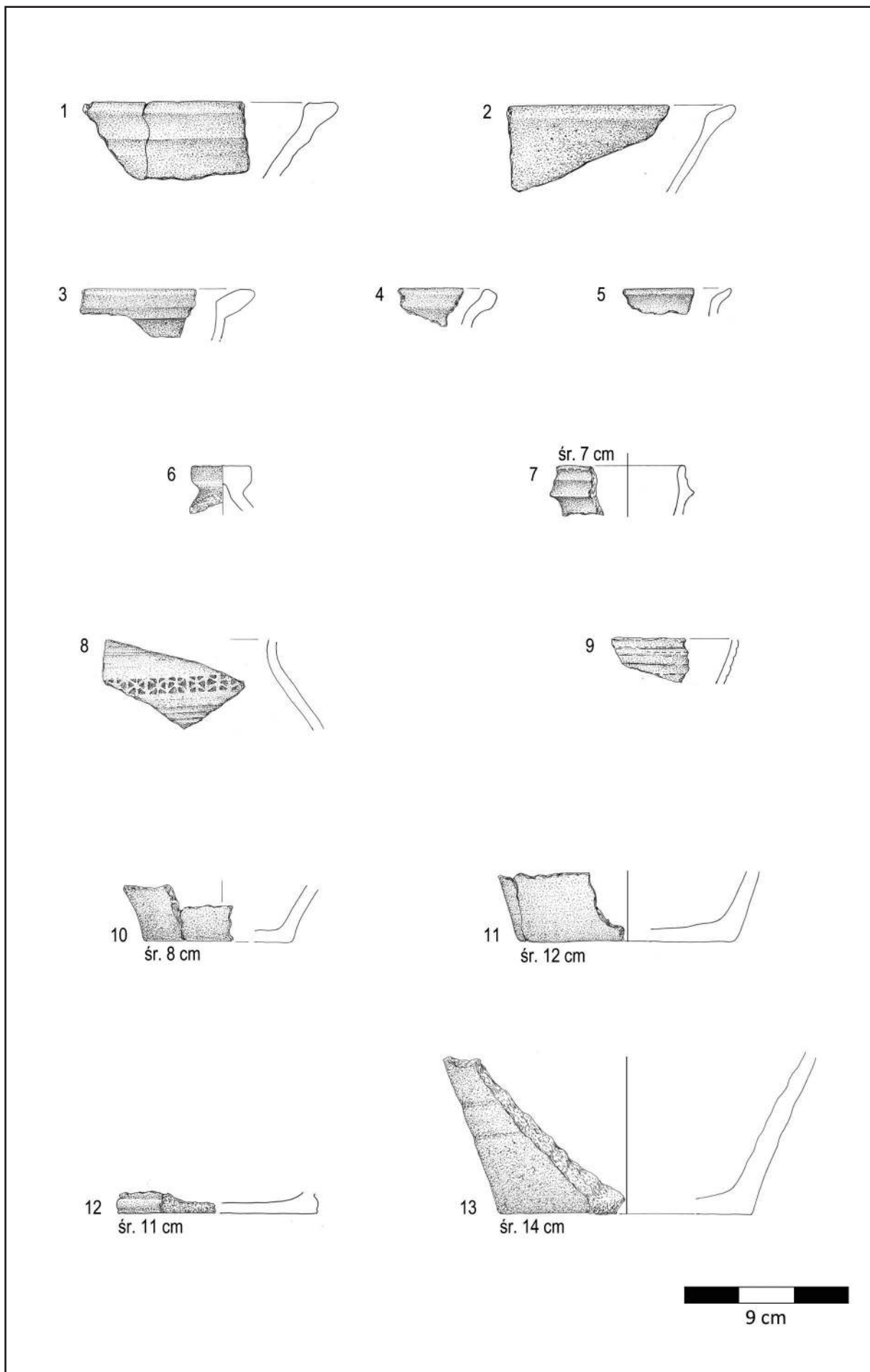
Tablica 1. Lubianka, st. 6. Ceramika z fazy I (rys. B. Karch)



Tablica 2. Lubianka, st. 6. Ceramika: 1–2) z fazy I, 3) z fazy II, 4–9) z fazy III (rys. B. Karch)



Tablica 3. Lubianka, st. 6. Ceramika: 1–10) z fazy III, 11–16) z fazy IV (rys. B. Karch)



Tablica 4. Lubianka, st. 6. Ceramika z fazy IV i V (rys. B. Karch)

si 5,5 mm. Naczynia wypalono w atmosferze redukcyjnej, dzięki czemu ich ściany są barwy szarej i ciemnoszarej. Na 44 fragmentach odnotowano zdobienia w postaci dookólnych rowków (tabl. 3:5–8, 4:8–9), pionowych bądź lekko ukośnych karbów (tabl. 3:2, 7–8) albo stempelka z kombinacjami trójkątów i kresek (tabl. 3:11, 4:8), także tworzących dookolne pasy. Ceramika wykonana w taki sposób upowszechnia się na omawianym obszarze od około 2. połowy XIII wieku³⁶ i utrzymuje się do przełomu XV i XVI wieku³⁷.

W analizowanym zbiorze znalazło się 38 fragmentów wylewów, 277 brzuśców, 1 ucho, 1 część przydenna i 18 fragmentów denek. Z warstw przypisanych do fazy III pozyskano jedynie 84 fragmenty (25,1% tej grupy). Pozostałe 250 fragmentów znaleziono na wtórnym złożu w młodszych warstwach. Ze znalezisk, które znajdowały się w swych prawidłowych kontekstach, udało się określić formę tylko 1 naczynia – garnka o średnicy wylewu 19 cm, który przypisano do typu V.1 wg klasyfikacji Michała Starskiego (tabl. 3:1). Charakterystyczną cechą tych garnków jest ich U-kształtny profil, ze średnicą wylewu zbliżoną do największej wydętości brzuśca. Autor typologii określił chronologię takich garnków, bazując na zbiorze z Pucka, na czwartą ćwierć XV i początek XVI wieku³⁸. Z innych znalezisk *in situ* można wymienić fragment wylewu z okapem (tabl. 3:2), wylewu o średnicy 13 cm z miejscem na pokrywkę (tabl. 3:4), fragment pokrywki (tabl. 3:3), czy fragment ucha z taśmy (tabl. 3:9). Więcej informacji o charakterystyce zbioru dają fragmenty redeponowane. Tu wydzielono fragmenty wylewów 2 garnków, obu o średnicy 18 cm, zaopatrzonych w okapy (tabl. 3:11–12). Asortyment garnków był zapewne bogatszy, gdyż analogicznych fragmentów znaleziono nieco więcej (tabl. 3:13–16). Kolejny typ to misy – typ I.1 wg Starskiego³⁹ – o wychylonych na zewnątrz ściankach i pogrúbionej krawędzi wylewu (tabl. 4:1–2). Wydzielono też wylew dzbanka o średnicy 7 cm (tabl. 4:7) i guzek pokrywki (tabl. 4:6). Sposód fragmentów den 13 było płaskich (tabl. 3:10, 4:10–13) o średnicach 8 cm, 8 cm, 11 cm, 12 cm i 14 cm. Na 1 ułamku dna zaobserwowano dookólny wałek.

³⁶ Lubowicka 2011: 129.

³⁷ Marcinkowski 2013: 245.

³⁸ Starski 2009: 210, 263, fig. 17.

³⁹ Starski 2009: 218, 263, fig. 17.

Ceramika ceglasta

Do grupy ceramiki ceglastej zaliczono 23 fragmenty (4,6% zbioru fragmentów diagnostycznych). Czerepy naczyń z tej grupy uformowano z dobrze wyrobionej masy ceramicznej z małą domieszką drobno- i średnioziarnistego piasku. Ich powierzchnia jest najczęściej gładka – w 16 przypadkach (69,5% analizowanego zbioru) – rzadkiej szorstka – 7 przypadków (30,5% analizowanego zbioru). Grubość ścianek waha się w przedziale 3–6 mm ze średnią 3,8 mm. Naczynia wypalono w zaawansowanej atmosferze utleniającej, co powodowało, że ich powierzchnia była jednolicie pomarańczowa. Aby zmniejszyć nasiąkliwość ścian naczyń stosowano szkliwienie. Jego ślady odnotowano na 9 fragmentach (39,1% analizowanej grupy). Na 5 fragmentach odnotowano ślady osmalenia lub przepalenia. Ceramika wykonywana w ten sposób zaczyna się upowszechniać na omawianym obszarze na przełomie XV i XVI wieku⁴⁰.

Ułamki tej grupy (w liczbie trzech sztuk) znaleziono tylko raz w warstwie przypisanej do fazy III, związanej z funkcjonowaniem zamku. W pozostałych przypadkach były znajdowane na wtórnym złożu w warstwach przypisanych do fazy IV i V.

W grupie tej znalazło się 5 wylewów, 17 brzuśców, 1 fragment dna. Żaden z tych fragmentów nie pozwolił na rekonstrukcję formy naczynia, z którego pochodził.

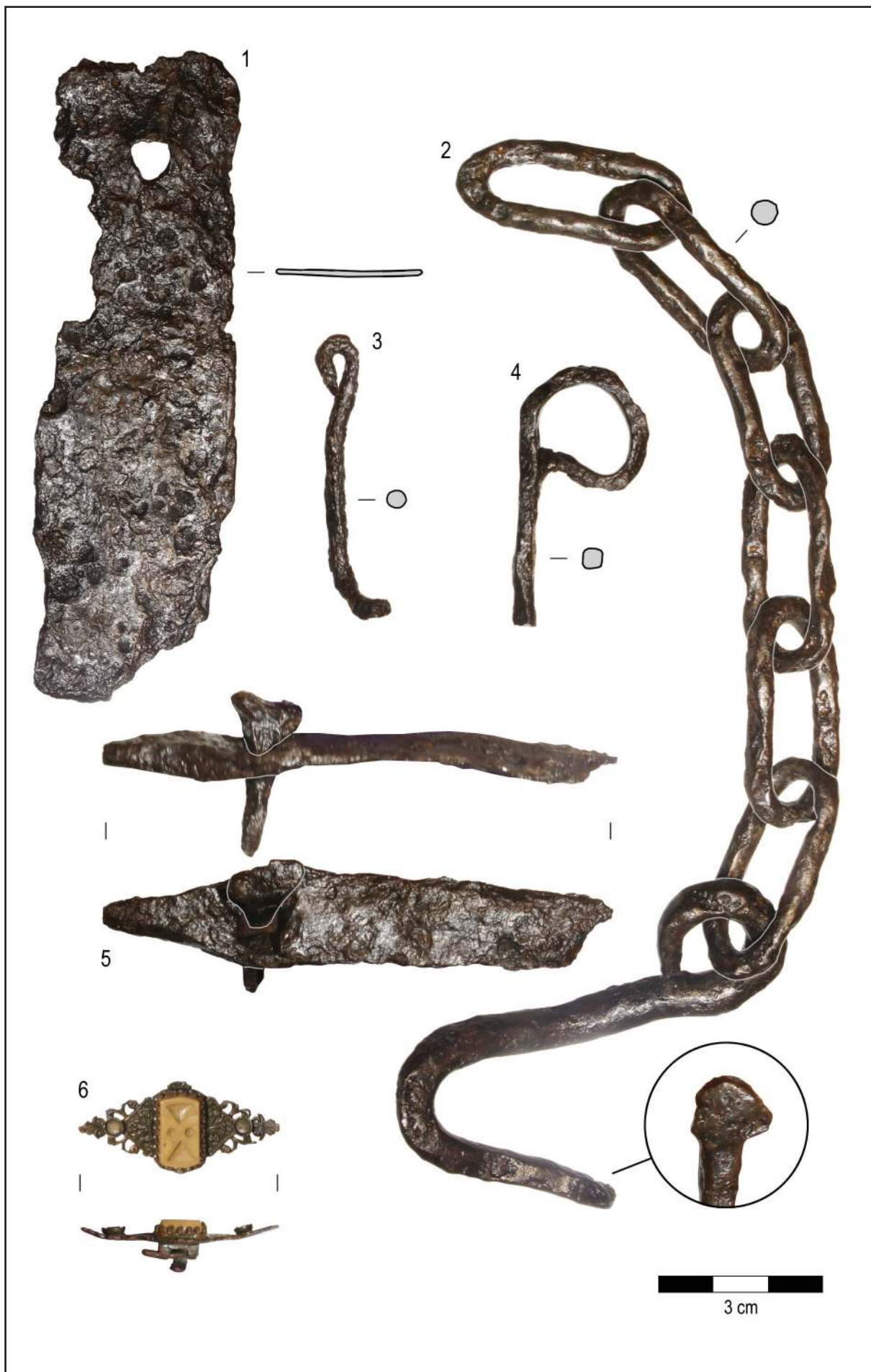
Porcelana

Do grupy tej zaliczono trzy niewielkie ułamki naczyń, które nie pozwalają na określenie formy naczynia ani precyzyjnej chronologii. Znaleziono je w warstwach przypisanych do fazy IV i należy je najpewniej wiązać z okazjonalnymi odwiedzinami obszaru grodziska w czasach współczesnych.

Zabytki wydzielone

Do kategorii zabytków wydzielonych zakwalifikowano 109 zabytków metalowych, które zostały podzielone pod kątem ich chronologii. Warto zauważyć, że ze względu na przekształcenia stanowiska większość zabytków została odnaleziona na wtórnym złożu, w kontekstach młodszych niż wynikałoby to z ich własnej chronologii opartej na analizie typologicznej.

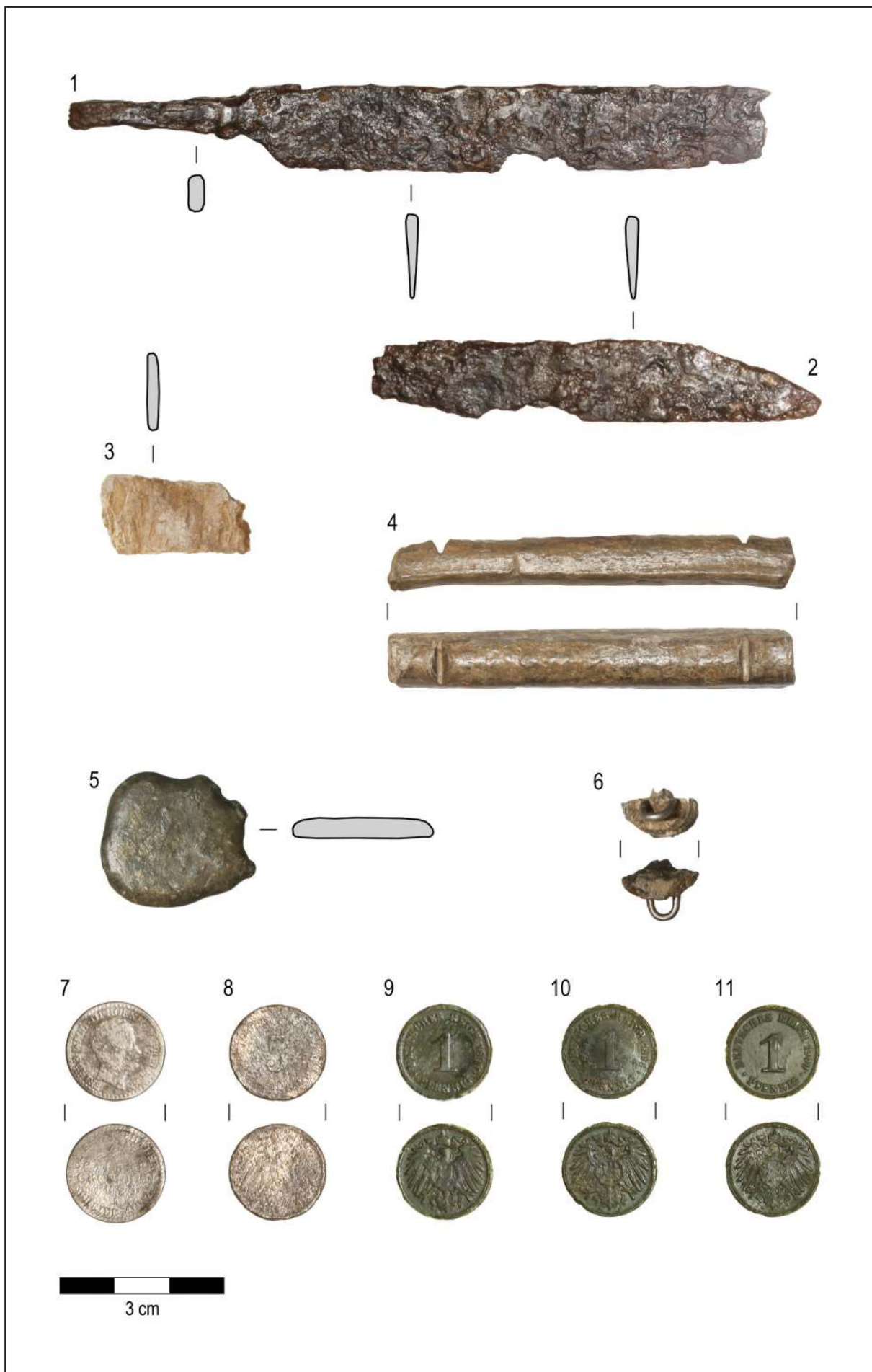
⁴⁰ Marcinkowski 2013: 245–247.



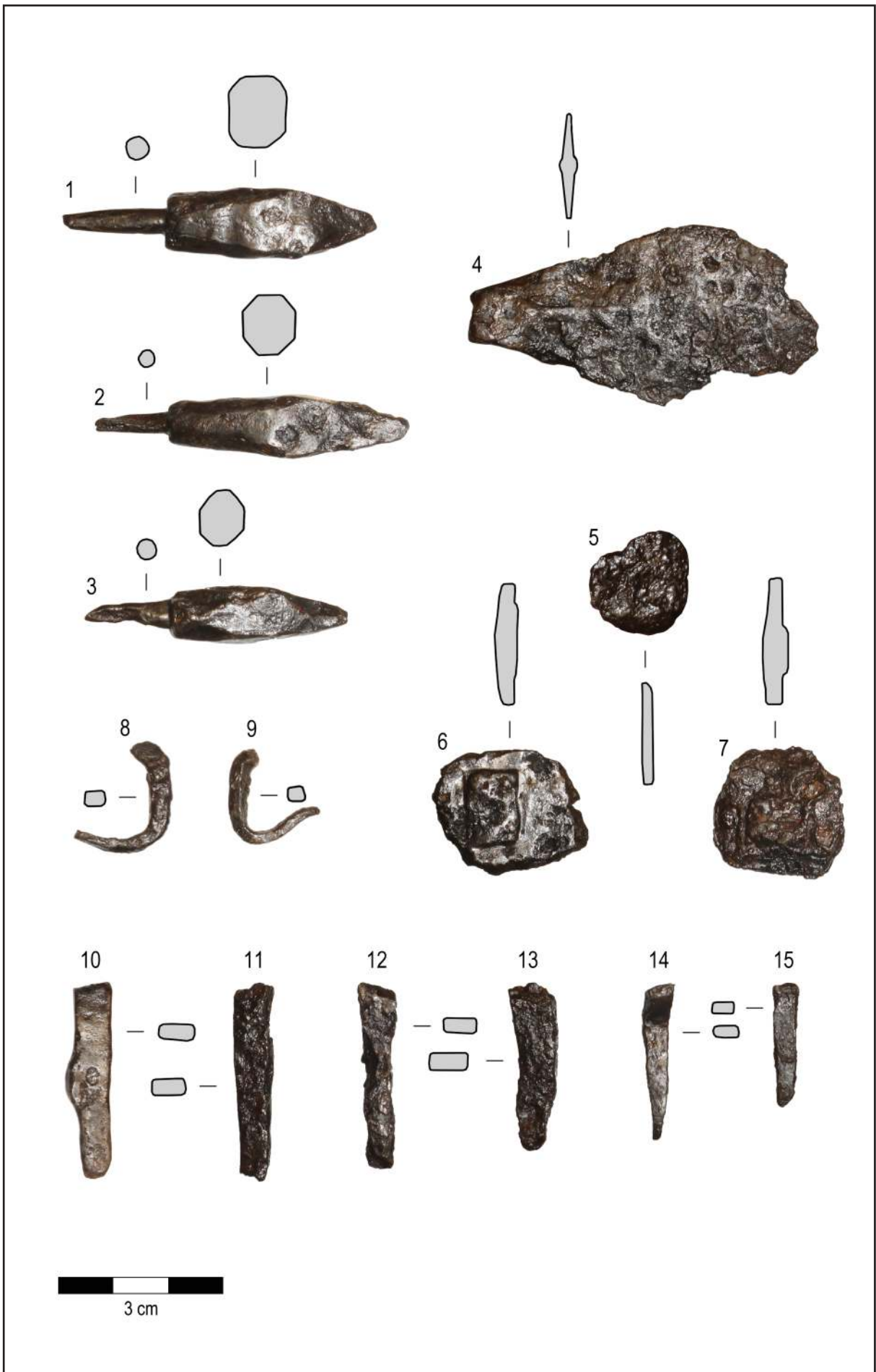
Tablica 5. Lubianka, st. 6. Zabytki wydzielone (fot. R. Solecki)



Tablica 6. Lubianka, st. 6. Zabytki wydzielone (fot. R. Solecki)



Tablica 7. Lubianka, st. 6. Zabytki wydzielone (fot. R. Solecki)



Tablica 8. Lubianka, st. 6. Zabytki wydzielone (fot. R. Solecki)



Tablica 9. Lubianka, st. 6. Zabytki wydzielone (fot. R. Solecki)



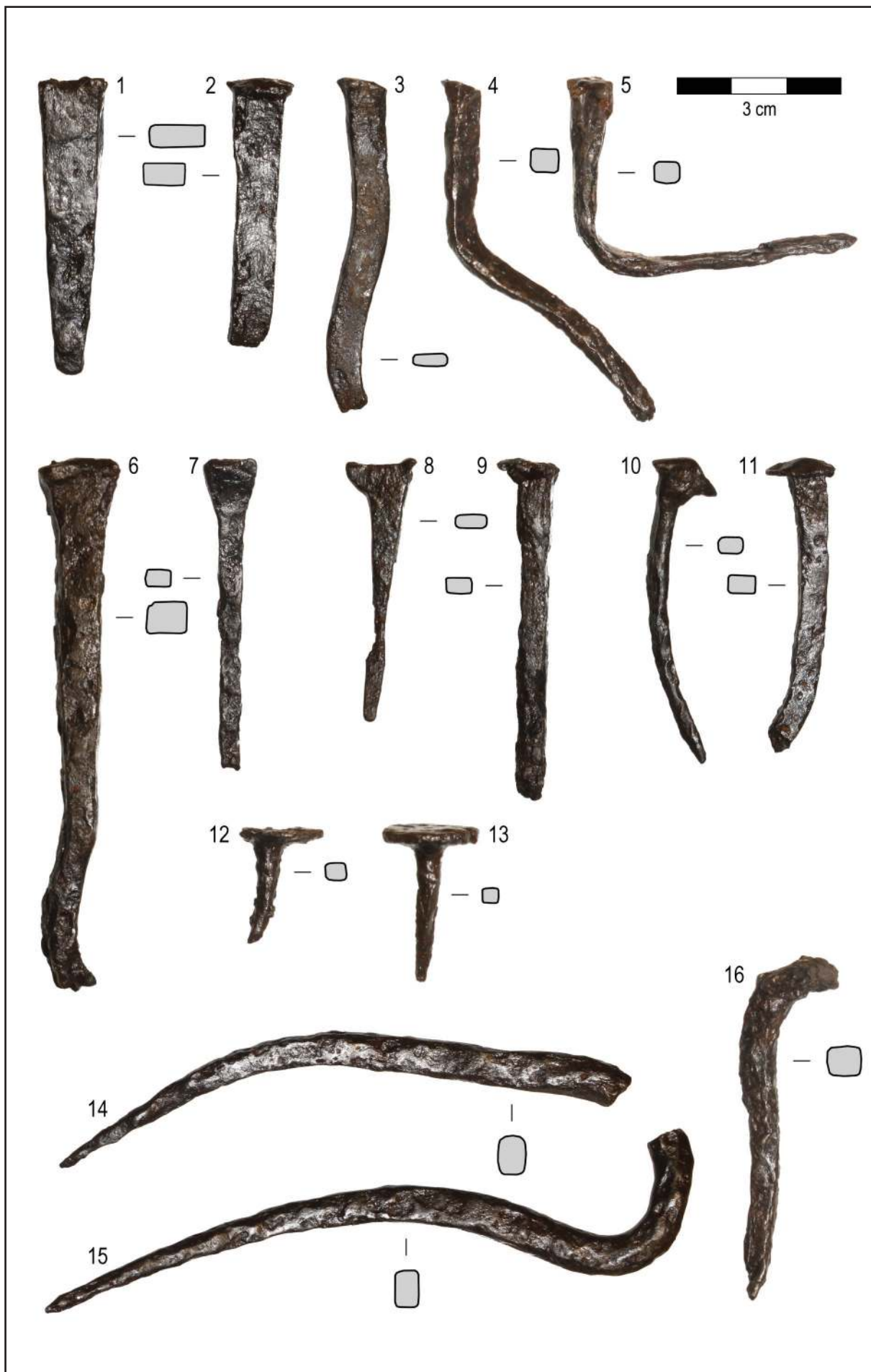
Tablica 10. Lubianka, st. 6. Zabytki wydzielone (fot. R. Solecki)



Tablica 11. Lubianka, st. 6. Zabytki wydzielone (fot. R. Solecki)



Tablica 12. Lubianka, st. 6. Zabytki wydzielone (fot. R. Solecki)



Tablica 13. Lubianka, st. 6. Zabytki wydzielone (fot. R. Solecki)

Do grupy średniowiecznych militariów należy sześć przedmiotów. Pierwszy z nich to fragmentarycznie zachowany grot strzały (tabl. 8:4). Był on mocowany za pomocą trzpienia i miał płaskie, szerokie ostrze, prawdopodobnie o kształcie laurowatym lub lancetowatym. W typologii Andrzeja Nadolskiego należy on do typu III, którego najwcześniejsze znaleziska z terenu Polski datowane są IX–X wiek⁴¹, ale występuje także w kontekstach dużo młodszych, nawet z XIII–XIV wieku⁴². Następne trzy zabytki to groty bełtów z trzpieniem (tabl. 8:1–3), reprezentujące typ II wg A. Nadolskiego⁴³. Są to okazy występujące dość często na stanowiskach średniowiecznych. Podobne groty znaleziono m.in. na grodzisku w Grabinie, gm. Ostróda⁴⁴, czy Leszczu, gm. Dąbrówno⁴⁵. Typ ten datowany jest szeroko na XIV–XV wiek. Kolejne dwa przedmioty to fragmentarycznie zachowane noże. Pierwszy nóż (tabl. 7:1) reprezentuje typ Ia wg klasyfikacji Ryszarda Rogosza⁴⁶, o prostym tyłcu, stosunkowo wąskiej główki i łagodnie łukowatym ostrzu oraz trzpieniu wyodrębnionym dwustronnie. Egzemplarz ten ma długość 13 cm. Drugi fragment noża (tabl. 7:2) formą zakończenia ostrza odpowiada typowi II wg R. Rogosza, natomiast stan zachowania nie pozwala mieć pewności. Precyzyjne określenie chronologii noży jest utrudnione, ze względu na ich dość popularną formę oraz odkrycie ich na złożu wtórnym.

Do grupy narzędzi zaliczono żelazny haczyk z esowato zawiniętym uszkiem (tabl. 5:3). Podobne haczyki znaleziono na grodzisku w Bornitach, gm. Pieniężno⁴⁷ oraz podczas badań zespołu osadniczego w miejscowości Węgry, gm. Sztum w nawarstwieniach z XI–XII wieku⁴⁸. Ten typ haczyka jest dość popularny i nie sposób określić jego dokładnej chronologii. Następny przedmiot to żelazny drut o kwadratowym przekroju, ze sklepanym, jednostronnie wygiętym uchem (tabl. 5:4). Zachowana część ma długość około 6 cm. Taki kształt jest dość uniwersalnym uchwytem i może występować m.in. przy pro-

stych kluczach. Dwa żelazne okucia (tabl. 5:1, 5) także mają uniwersalny kształt. Pierwsze z nich to prostokątna żelazna blaszka o długości 10,5 cm i szerokości 3,5 cm, posiadająca otwór do mocowania. Drugie okucie ma kształt sztabki długości 9,1 cm i szerokości 1,5 cm, z jedną stroną zwężoną i otworem, w którym nadal utkwiony jest gwóźdź. Podobne okucia znalezione na późnośredniowiecznym grodzisku we wspomnianym już Leszczu interpretowane są jako związane ze skrzynią⁴⁹. Kolejne dwa przedmioty to fragmenty żelaznych skobli (tabl. 13:14–15) o prostokątnym przekroju i długości w przedziale od 6 do 12 cm. Żelazne skoble są dość częstym zabytkiem spotykanym na stanowiskach mieszkalnych z okresu średniowiecza i nowożytności⁵⁰. Z zamykaniem drzwi być może także związany jest łańcuch o sześciu owalnych ogniach zakończony haczykowato wygiętym pręcikiem z trójkątną główką (tabl. 5:2). Taka forma zbliżona jest do wrzeczadza⁵¹.

Ostatnią opisaną grupą średniowiecznych zabytków są gwoździe, lub ich fragmenty, których łącznie pozyskano 68 sztuk. Klasyfikacje wykonano według typologii zaproponowanej przez Łukasza Siczka⁵². Typ A to gwoździe bez wyraźnie wyodrębnionej główki, służące jako uniwersalne łączniki. Na grodzisku w Lubiance znaleziono łącznie 17 takich przedmiotów, długości od 4 do 11 cm (tabl. 12:1–12, tabl. 13:1–5). Typ B to gwoździe o główce uformowanej przez sklepanie wyrostka pozostałego po odcięciu pręta. Często służyły do mocowania gontów. W omawianym zbiorze odnaleziono 4 takie egzemplarze o długości od 4,5 do 10 cm (tabl. 13:6–9). Typ C to gwoździe o główce wyodrębnionej ze wszystkich stron, służyły do łączenia ze sobą drewna, ale też łączenia metalu z drewnem. Do typu tego zaliczono 2 egzemplarze o długości około 6 cm (tabl. 13:10–11). Typ D to gwoździe z wyraźnie uformowaną główką, służące do wykonywania i okuwania mebli i skrzyń. Do tego typu zaliczono 2 gwoździe o długości 2–3 cm (tabl. 13:12–13). Gwoździe typu E posiadają główkę wyraźnie i równomiernie wyodrębnioną względem ostrza oraz pełnią uniwersalną funkcję. Podczas badań znaleziono łącznie 32 tego typu zabytki (tabl. 9:1–10,

⁴¹ Nadolski 1954: 64–65, 271, tabl. XXXI:4.

⁴² Kuśnierz 2005: 118–120.

⁴³ Nadolski 1954: 60–66.

⁴⁴ Solecki 2017: 324–325, 329, tabl. 10:5.

⁴⁵ Marciniak-Kajzer 2006: 12–16.

⁴⁶ Rogosz 1983: 264–265.

⁴⁷ Wadył i Martyka 2019: 85, ryc. 8:d

⁴⁸ Haftka i Wadył 2015: 151–152, 217, tabl. 6.

⁴⁹ Marciniak-Kajzer 2006: 12–16.

⁵⁰ Łukomiak 2015: 39–48.

⁵¹ Łukomiak 2015: 48–58.

⁵² Siczek 2016.

tabl. 10:1–10, tabl. 11:1–12). Ich długość wahała się od 4,5 do 10 cm. Ponadto znaleziono trzy ułamane główki gwoździ typu E (tabl. 8:5–7) oraz ułamane ostrza gwoździ nieokreślonych typologicznie (tabl. 8:8–15). Wymienione typy gwoździ są dość popularne i występują powszechnie od około XIII wieku, aż po XVIII wiek.

Z okresem nowożytnym i współczesnym można powiązać 24 zabytki. Pierwszą grupą są tu przedmioty osobiste i numizmaty. Ozdobą jest miedziana broszka, która ma formę zdobionego, ażurowego rombu, z miejscem na ozdobne kamienie pośrodku (tabl. 5:6). Kolejnym zabytkiem jest fragment mosiężnego guzika z aluminiowym uszkiem. Typ dwuwarstwowy. Jest to guzik cywilny i można go datować na czasy współczesne (tabl. 7:6). Znaleziono również 5 monet. Pierwsza to 1 srebrny grosz Cesarstwa Niemieckiego (tabl. 7:7) – awers: „FRIEDR WILH III KOENIG V PREUSSEN”, rewers: „1 SILBER GROSCHEN 30 EINEN THALER 18.. SCHEIDE MÜNZE”. Kolejna moneta to 5 Pfennigów z miedzioniklu (tabl. 7:8) – awers: Herb Cesarstwa, rewers „DEUTSCHER REICH 5 PFENNING”. Następne numizmaty to trzy monety o nominale 1 Pfenniga – awers: Herb Cesarstwa Niemieckiego, rewers: „DEUTSCHER REICH 1890 1 PFENNING” (tabl. 7:9), „DEUTSCHER REICH 1896 1 PFENNING” (tabl. 7:10), „DEUTSCHER REICH 1900 1 PFENNING” (tabl. 7:11).

Następną grupą są współczesne militaria, których znaleziono 17. Cztery z nich to fragmenty skorupy radzieckiego granatu obronowego F-1 (tabl. 6:7–10). Kolejne 6 to odłamki żeliwne o podłużnej formie (tabl. 6:11–16). Jest tu też fragmentarycznie zachowana miedziana łuska o długości 2,5 cm (tabl. 6:17) oraz 6 pocisków karabinowych. Pięć z nich ma kaliber około 7–8 mm (dokładny pomiar jest niemożliwy ze względu na zły stan zachowania) (tabl. 6:1–5), co może odpowiadać kalibrowi 7,62 mm używanemu w karabinach Mosin, lub 7,92 mm używanemu w karabinach Mauser. Jeden pocisk jest zmiażdżony (tabl. 6:6), co uniemożliwia jego identyfikację.

Ostatnia kategoria to zabytki o nieokreślonej funkcji oraz chronologii. Pierwszy przedmiot to nieduża grudka stopu miedzi o wymiarach około 3 × 3 cm (tabl. 7:5). Jest to zapewne odpad produkcyjny. Kolejny to cienka blaszka ołowiana długości 3 cm, szerokości 1 cm i grubości nie przekraczającej 0,5 cm

(tabl. 7:3). Ostatnim zabytkiem jest sztaba ołowiu długości 7,5 cm (tabl. 7:4). Posiada ona nacięcia, najprawdopodobniej ułatwiające jej przełamanie w oznaczonym miejscu. Tu najbliższą analogią są sztaby metali i punce metalurgiczne odkryte podczas badań archeologicznych w Janowie Pomorskim⁵³. Zabytek z Lubianki mógłby być surowcem używanym przy wytapianiu stopów metali, a karby miałyby wskazywać odpowiednią porcję.

Kości zwierzęce

W trakcie przeprowadzonych badań pozyskano dość liczny zbiór 97 kości zwierzęcych, który należy wiązać z użytkowaniem obszaru grodziska w okresie średniowiecza. Udało się dokonać oznaczeń 16 kości bydła, 9 konia, 53 świni, 9 owcy/kozy, oraz po 1 małego przeżuwacza, ptaka i ryby. Na licznych kościach odnotowano ślady konsumpcji. Szczegółowa analiza całego zbioru znajduje się w niezależnym opracowaniu⁵⁴.

CHRONOLOGIA I DZIEJE GRODZISKA W LUBIANCE, ST. 6

DANIEL SKOCZYLAS I RAFAŁ SOLECKI

Pomimo że grodzisko w Lubiance jest znane od dawna i swoją formą terenową jednoznacznie wskazuje na wysoką rangę, jaką pełniło w przeszłości, to do 2021 roku nie były na nim prowadzone żadne badania wykopaliskowe. Informacje o grodzisku i jego chronologii prezentowane w publikacjach opierały się wyłącznie na powielanych przekazach źródłowych.

Badania archeologiczne przeprowadzone w 2021 i 2023 roku pozwoliły potwierdzić przekazy Piotra z Dusburga, że we wsi Pluty znajdował się w 1325 roku gród⁵⁵. Ponadto dostarczyły ważnych źródeł do opisu formy, jaką mógł on posiadać, a także wykazały, że budowa zamku była tylko kolejną fazą wykorzystywania tego miejsca jako umocnionej punktu oporu.

Pierwszy potwierdzony horyzont osadniczy można datować na wczesną epokę żelaza, prawdopodobnie na okres lateński B/C. W tym czasie funkcjonowało tu osiedle

⁵³ Strobin i Żołędziowski 2021: 236, tabl. XLVII:26, 237, tabl. XLVII:3, 224, tabl. XXXV:3.

⁵⁴ Szczygieł 2024.

⁵⁵ Piotr z Dusburga 1679: 407–408; Wyszomirski 2011: 232–233, dokument 360.

obronne, którego relikty uchwycono na obszarze dzisiejszej południowej części majdanu. Zadokumentowano tam pozostałość silnie zniszczonego nasypu wału ziemnego z przyległą do niego warstwą kulturową bogatą w materiał ceramiczny. Z warstwą tą związane były jednostki stratygraficzne, które można wiązać z istnieniem obiektu mieszkalnego. W skład tych jednostek wchodziło skupisko kamieni i warstwa z dużą ilością węgla drzewnych, które można interpretować jako ślad po palenisku. Próba węgla pobrana z tej warstwy i poddana analizie radiowęglowej wskazała po kalibracji na przedział lat 364–121 p.n.e. z prawdopodobieństwem 95,4%⁵⁶. Jednostki stratygraficzne związane z tym osadnictwem są generalnie dość dobrze zachowane, gdyż zabezpieczyły je młodsze niwelacje nadsypiane powyżej.

Kolejny horyzont osadniczy związany ze starszą fazą wczesnego średniowiecza został rozpoznany na bardzo małym obszarze. Z okresem tym można powiązać jednostki stratygraficzne tworzące linie umocnień – wał w południowej części dzisiejszego majdanu oraz wał i fosę poniżej nasypu wału z rampą. Z wypełniska wspomnianej fosy pobrano próbę węgla do datowania radiowęglowego. Wynik tej analizy dał po kalibracji przedział lat 671–876 n.e. z prawdopodobieństwem 95,4%, a przy prawdopodobieństwie 68,2% okres zawęził się do lat 671–779 n.e.⁵⁷ Można zatem potwierdzić, że w miejscu tym istniało grodzisko o bardzo wczesnej średniowiecznej metryce, ale szersze rozpoznanie tego osadnictwa może być problematyczne. Powodem jest fakt, że zabezpieczyło ono starszy horyzont wczesnożelazny, który zachował się dość dobrze, ale prace ziemne związane z młodszym osadnictwem średniowiecznym, w pierwszej kolejności dotyczyły warstw kulturowych tego horyzontu. Dlatego też większość materiału zabytkowego, który można wiązać z osadnictwem wczesnośredniowiecznym została odnaleziona na wtórnym złożu, w młodszych warstwach niwelacyjnych.

Grodzisko w Lubiance, które zasadniczo powinno być łączone ze wsią Pluty, znane jest przede wszystkim z przekazu Piotra z Dusburga, który przekazał informację, że w 1325 roku prepozyt kapituły warmińskiej

⁵⁶ Analiza przeprowadzona w Poznańskim Laboratorium Radiowęglowym, próba nr Poz-149692.

⁵⁷ Analiza przeprowadzona w Poznańskim Laboratorium Radiowęglowym, próba nr Poz-149689.

wybudował w Plutach zamek⁵⁸. W świetle przeprowadzonych badań wydaje się jednak, że wspomniany w cytowanym tekście źródłowym zamek był rozbudową nieco wcześniejszego założenia obronnego. Być może dotyczyło to budowy murowanego budynku w obrębie istniejącego już grodu drewnianego. Za taką interpretacją przemawiają pozyskane w trakcie badań daty radiowęglowe. Pierwszą pobrano z podłogi drewnianej piwniczki, którą odkryto w południowej części majdanu. Wynik tej analizy dał po kalibracji przedział lat 1041–1217 n.e. z prawdopodobieństwem 95,4%⁵⁹. Drugą próbę pobrano z dna obiektu wypełnionego kamieniami, który odsłonięto w północnej części majdanu. Wynik tej analizy dał po kalibracji przedział lat 1052–1263 n.e. z prawdopodobieństwem 95,4%, a przy prawdopodobieństwie 89,6% zawęził się do lat 1156–1263 n.e.⁶⁰ Nie można zatem wykluczyć, że w początkach osadnictwa krzyżackiego na tym obszarze, zapewne około połowy XIII wieku, wybudowany został tu drewniany gród, który miał za zadanie zabezpieczyć jedną z przepraw przez Wałszę, która miała się w znajdować na wysokości wsi Pluty. Na fakt, że w XIII wieku w Plutach funkcjonowała już osada, może wskazywać znalezione jeszcze w okresie przedwojennym cmentarzysko o właśnie takiej chronologii (ryc. 10)⁶¹.

Komornictwo pieniądzeńskie, w którego skład wchodziła wieś Pluty, stało się częścią uposażenia kapituły warmińskiej na mocy dokumentu z 10 lipca 1277 roku⁶². Parafia w Plutach jest jednak młodsza, gdyż powstała najpewniej w 1326 roku⁶³. W tym okresie powstała murowana świątynia i najpewniej murowany budynek na obszarze wcześniejszego grodu. Potwierdzeniem istnienia architektury murowanej na obszarze majdanu są znaleziska dużej liczby cegieł palcówek, w większości zrzucanych jako element zasypania starszej piwniczki. Dokładnego po-

⁵⁸ Piotr z Dusburga 1679: 407–408; Wyszomirski 2011: 232–233, dokument 360.

⁵⁹ Analiza przeprowadzona w Poznańskim Laboratorium Radiowęglowym, próba nr Poz-149690.

⁶⁰ Analiza przeprowadzona w Poznańskim Laboratorium Radiowęglowym, próba nr Poz-149691.

⁶¹ Informacja z teczki miejscowości Pluty w *Staatliche Museen zu Berlin, Museum für Vor- und Frühgeschichte*, PM-A 1138/1.

⁶² Kopiczko 2018: 12.

⁶³ Klimek 2021: 463.

łożenia samego budynku murowanego jednak nie potwierdzono. Wskazane byłoby przeprowadzenie w tym celu rozpoznania z wykorzystaniem metod nieinwazyjnych. W obecnej sytuacji, gdy majdan jest silnie zalesiony, takie rozpoznanie jest jednak utrudnione.

Na podstawie przeprowadzonych badań nie sposób określić kiedy dokładnie doszło do zniszczenia zamku. Można jedynie szacować na podstawie materiału zabytkowego, że był to prawdopodobnie przełom XV i XVI wieku. Tu przesłanką jest występowanie pojedynczych fragmentów ceramiki ceglastej, która w tym okresie zaczyna się upowszechniać. Ten typ ceramiki stanowi jednak tylko 4,6% zbioru fragmentów diagnostycznych, więc jest to najpewniej dopiero początkowy okres wprowadzania takich naczyń tego typu. Pomocna jest tu także informacja przekazana przez C. Hennebergera w 1595 roku, który wskazuje, że zamek w Plutach jest już opuszczony⁶⁴. Tu warto także odnotować, że obszar majdanu został prawdopodobnie poddany intencjonalnej niwelacji, która doprowadziła do całkowitego zatarcia śladów po zamku. Jego murowane ściany zostały też najpewniej w dużej mierze rozebrane w celu pobrania materiału budowlanego.

Najmłodszy okres, kiedy obszar grodziska był wykorzystywany w celach obronnych, to czasy II wojny światowej. Na powierzchni stanowiska natrafiono w trakcie prospekcji te-

renowej na liczne ślady działań wojennych. Nie wykluczone, że podczas tego epizodu powstały umocnione stanowiska ogniowe, które częściowo naruszają starsze umocnienia. Mogą to być jednak także ślady wkopów rabunkowych, których obecność stwierdzono już w okresie powojennym⁶⁵.

Reasumując, grodzisko w Lubiance jest niezwykle ciekawym stanowiskiem archeologicznym o wielofazowej chronologii i bardzo dobrze zachowanej formie terenowej, prezentującej formę umocnień z najmłodszego, późnośredniowiecznego horyzontu osadniczego. Przeprowadzone badania wykazały, że liczba źródeł archeologicznych, które nadal są możliwe do pozyskania, jest bardzo duża i stanowisko zdecydowanie zasługuje, aby w jego granicach przeprowadzić archeologiczne badania wykopaliskowe. Dzięki nim być może byłoby możliwe zlokalizowanie reliktyw architektury murowanej związanej z zamkiem, który miał się tam znajdować. Obecne badania bowiem pozwoliły tylko na stwierdzenie, że taka architektura była, a jej pozostałości odnaleziono w postaci gruzu ceglanego w warstwach niwelacyjnych i zasypiskowych. Grodzisko ze względu na swą dobrze zachowaną i bardzo atrakcyjną formę może także stać się ciekawym punktem na mapie turystycznej gminy. Obecnie szlak prowadzący na stanowisko nie jest oznaczony i dojdzie tam może być dużym wyzwaniem.

⁶⁴ Henneberger 1595: 349.

⁶⁵ Informacja z KESA 14-59/13.

WYKAZ CYTOWANEJ LITERATURY

- Antolak, M.
2013. Problemy zagospodarowania turystycznego rezerwatów przyrody na przykładzie rezerwatu przyrody „Dolina rzeki Wąszy”. *Zeszyty Naukowe. Inżynieria Środowiska* 149(29), 14–22.
- Antoniewicz, J.
1964. Osiedla obronne okresu wczesnożelaznego w Prusach. *Światowit* 25: 5–211.
- Arnold, J.R. i R.R. Reinertsen
2012. *Triumf Napoleona. Kampania Frydlandzka 1807 roku*. Oświęcim: Wydawnictwo Napoleon V.
- Bender, J.
1871. Grabhügel im Födersdorfer Forste. *Altpreußische Monatsschrift* 8, 177–182.
1887. *Zeitschrift für die Geschichte und Altertumskunde Ermlands*. Band 9, Heft 27–29. Braunsberg: Verlag von Hune’s Buchhandlung.
- Bezenberger, A.
1909. Hügelgräber in dem Födersdorfer Forst. *Sitzungsberichte der Altertums-gesellschaft Prussia* 22: 1–27.
- Biermann, F., C. Herrmann, A. Koperkiewicz i E. Ubis
2019. Burning Alt-Wartenburg. Archaeological evidence for the conflicts between the Teutonic Order and the Grand Duchy of Lithuania from a deserted medieval town near Barczewko (Warmia, Poland). *Lietuvos archeologija* 45: 265–293
DOI: 10.33918/25386514-045008
- Biskup, M.
2019. *Wojny Polski z Zakonem Krzyżackim 1308–1521*. Oświęcim: Napoleon V.
- Bötticher, A.
1894. *Die Bau- und Kunstdenkmäler der Provinz Ostpreußen. 4: Die Bau- und Kunstdenkmäler in Ermland*. Königsberg: Teichert.
- Buko, A.
1990. Wykorzystanie zjawiska erozji ceramiki w analizach procesów formowania się stanowisk osadniczych. *Sprawozdania Archeologiczne* 42: 349–359.
- Ceynowa B. (red.)
2020. *Kawa czy herbata? Archeologiczne świadectwa konsumpcji napojów w dawnym Gdańsku*. Gdańsk: Muzeum Archeologiczne w Gdańsku.
- Chilińska-Früboes, A.
2018. Zapinki oczkowe serie głównej jako głos w dyskusji nad początkami kultury Dollkeim-Kovrovo, [w:] S. Wadył, M. Karczewski i M. Hoffmann (red.), *Materiały do archeologii Warmii i Mazur. Tom 2*: 15–41. Warszawa-Białystok-Olsztyn: Instytut Archeologii Uniwersytetu Warszawskiego, Wydział Historyczno-Socjologiczny Uniwersytetu w Białymstoku, Instytut Historii i Stosunków Międzynarodowych Uniwersytetu Warmińsko-Mazurskiego w Olsztynie.
- Chojnacka-Banaszkiewicz, A.
2017a. Stary Folwark, st. 1: znaleziska, [w:] Z. Kobyliński (red.), *Katalog grodzisk Warmii i Mazur. Tom 1*: 129–182. Warszawa: Instytut Archeologii Uniwersytetu Kardynała Stefana Wyszyńskiego w Warszawie i Fundacja Res Publica Multiethnica.
2017b. Stary Folwark, st. 1: chronologia stanowiska, [w:] Z. Kobyliński (red.), *Katalog grodzisk Warmii i Mazur. Tom 1*: 191–193. Warszawa: Instytut Archeologii Uniwersytetu Kardynała Stefana Wyszyńskiego w Warszawie i Fundacja Res Publica Multiethnica.
- Cieśliński, A.
2016. The society of Wielbark culture, AD 1–300, [w:] A. Rzeszotarska-Nowakiewicz (red.), *The Past Societies. Polish lands from the first evidence of human presence to the early middle ages. Chapter 4. 500 BC – 500 AD*: 217–255. Warszawa: Instytut Archeologii i Etnologii Polskiej Akademii Nauk.
- Crome, H.
1937. Karte und Verzeichnis der vor- und frühgeschichtlichen Wehranlagen in Ostpreussen. *Altpreußen* 2: 97–125.
1940. Verzeichnis der Wehranlagen Ostpreußens. *Prussia: Zeitschrift für Heimatkunde* 34: 83–154.
- Dąbal, J.
2015. Wyroby ceramiczne, [w:] J. Dąbal, K. Krawczyk i T. Widerski (red.), Gdańsk, *Twierdza Wisłoujście. Badania archeologiczno-architektoniczne w latach 2013–2014*: 221–264. Gdańsk: Instytut Archeologii i Etnologii PAN i Uniwersytet Gdański.
- Dąbrowski, J.
1960. Badania na grodzisku Łęcze pow. Elbląg w roku 1958. *Wiadomości Archeologiczne* XXVI/3–4: 266–272.
1967. Wyniki prac wykopaliskowych na grodzisku Łęcze, pow. Elbląg. *Wiadomości Archeologiczne* XXXII/3–4: 385–404.
1997. *Epoka brązu w północno-wschodniej Polsce*. Białystok: Białostockie Towarzystwo Naukowe, Instytut Archeologii i Etnologii Polskiej Akademii Nauk.
- Drzewicz, A.
2004. *Wyroby z kości i poroża z osiedla obronnego ludności kultury łużyckiej w Biskupinie*. Warszawa: Wydawnictwo Naukowe Semper.
- Eichhorn, A.
1863. *Zeitschrift für die Geschichte und Altertums-kunde Ermlands*. Band 2, Heft 4–6. Mainz: Verlag von Franz Kichheim.

1866. *Zeitschrift für die Geschichte und Altertumskunde Ermlands*. Band 3, Heft 7–9. Braunsberg: Verlag von Eduard Peter.
- Florek, M.
2014. Czy „grodzisko” to dawny, zniszczony gród? O niebezpieczeństwach korzystania ze źródeł topomastycznych. *Materiały i Sprawozdania Rzeszowskiego Ośrodka Archeologicznego* XXXV: 171–188.
- Gackowski, J.
2000. Osiedla nawodne z Mołtajn i Pieczarek na tle osadnictwa Pojezierza Mazirskiego we wczesnej epoce żelaza. *Światowit* 2(43)/Fasc. B: 65–69.
- Gierlach, B.
1966. Zabytki metalowe, [w:] J. Gąsowski, B. Gierlach i E. Kowalczevska (red.), *Materiały wykopaliskowe z Zamku Królewskiego w Warszawie. Tom I*: 141–150. Warszawskie Materiały Archeologiczne 1. Warszawa: Prezydium Stołecznej Rady Narodowej – Wydział Kultury, Urząd Konserwatorski M. St. Warszawy – Konserwator Zabytków Archeologicznych.
- Gładki, M. i A. Jaremek
2021. Materiały z badań ratowniczych na stan. 25 w Strużynie, gm. Morań, pow. ostródzki. Kolejny głos w dyskusji nad tzw. „pograniczem bałtyjsko-pomorskim” w późnej epoce brązu i początkach wczesnej epoki żelaza. *Światowit Supplement Series B: Barbaricum* 15: 79–98.
- Gryzińska-Sawicka, N.
2012. Próba modelowego ujęcia gospodarki na Pomorzu we wczesnym okresie rzymskim. *Przegląd Archeologiczny* 60: 85–105.
- Haftka M. i S. Wadył
2015. *Węgry: zespół osadniczy na pograniczu pomorsko-pruskim w XI–XII w.* Malbork: Muzeum Zamkowe w Malborku.
- Henneberger, C.
1576. *Prussiae, das ist des Landes zu Preussen, welches das herrichste Theil ist Sarmathiae Europae eigentliche und warhafftige Beschreibung*, skala około 1:370 000, Königsberg.
1595. *Erclerung der Preüssischen grössern Landtaffel oder Mappen Mit leicht erfindung aller Stedte, Schlösser, Electen, Kirchdörffer, Orte, Ströme fliesser vnd See so darinnen begriffen*. Królewiec: bey Georgen Osterbergern.
- Herrmann, J.
2002. Tradition und Neubeginn ur- und frühgeschichtlicher Forschungen an der Berliner Akademie der Wissenschaft 1946–1952. Zum 110. Geburtstag von Wilhelm Unverzagt. *Sitzungsberichte der Leibniz-Sozietät* 54/3: 85–100.
- Hilczerówna, Z.
1956. *Ostrogi Polskie z X–XIII wieku*. Poznań: Państwowe Wydawnictwo Naukowe.
- Hollack, E.
1908. *Erläuterungen zur vorgeschichtlichen Übersichtskarte von Ostpreußen. Im Auftrage des ostpreußischen Provinzial Verbandes bearbeitet und herausgegeben*. Glogau-Berlin: Kommissions Verlag von Carl Flemming.
- Holtmann, G.F.W.
1993. *Untersuchung zu mittelalterlichen und frühneuzeitlichen Messern*. Göttingen.
- Hoffmann, M.J.
1992. Nieznane materiały kultury kurhanów zachodniobałtyjskich. *Światowit Supplement Series B: Barbaricum* 2: 20–38.
1999. *Źródła do kultury i osadnictwa południowo-wschodniej strefy nadbałtyckiej w I tysiącleciu p.n.e.* Rozprawy i Materiały Ośrodka Badań Naukowych im. Wojciecha Kętrzyńskiego w Olsztynie 177, Olsztyn: Towarzystwo Naukowe i Ośrodek Badań Naukowych im. Wojciecha Kętrzyńskiego.
2000. *Kultura i osadnictwo południowo-wschodniej strefy nadbałtyckiej w I tysiącleciu p.n.e.* Rozprawy i Materiały Ośrodka Badań Naukowych im. Wojciecha Kętrzyńskiego w Olsztynie 191, Olsztyn: Towarzystwo Naukowe i Ośrodek Badań Naukowych im. Wojciecha Kętrzyńskiego.
- Honczaruk, M. i L. Kacprzak
2014a. *Objaśnienia do Szczegółowej Mapy Geologicznej Polski: 1:50.000. Arkusz Głębock (34)*. Warszawa: Państwowy Instytut Geologiczny.
2014b. *Objaśnienia do Szczegółowej Mapy Geologicznej Polski: 1:50.000. Arkusz Wolnica (98)*. Warszawa: Państwowy Instytut Geologiczny.
- Horanin, M.
2005. Sieć leprozoriów w państwie zakonnym w Prusach. *Komunikaty Mazursko-Warmińskie* 2: 133–155.
- Ilan, D.
2016. The ground stone components of drills in the ancient Near East: sockets, flywheels, cobble weights, and drill bits. *Journal of Lithic Studies* 3/3: 261–277. DOI: 10.2218/jls.v3i3.1642
- Jagielska, E.
2020. (red.) Standardy prowadzenia badań archeologicznych. Cz. 1. Badania nieinwazyjne łądowe. *Kurier Konserwatorski* 17: 9–49.
- Jagodziński, M.F.
1997. *Archeologiczne ślady osadnictwa między Wisłą a Pasłęką we wczesnym średniowieczu. Katalog stanowisk*. Warszawa: Instytut Archeologii i Etnologii PAN.

2010. *Truso. Między Weonodlandem a Witlandem*. Elbląg: Muzeum Archeologiczno-Historyczne w Elblągu.
2017. *Janów Pomorski/Truso. Struktura i zabudowa strefy portowej (badania 1982–1991)*. Elbląg: Muzeum Archeologiczno-Historyczne w Elblągu.
- Kacprzak L. i M. Honczaruk
2014. *Objaśnienia do Szczegółowej Mapy Geologicznej Polski: 1:50.000. Arkusz Górowo Haweckie (62)*. Warszawa: Państwowy Instytut Geologiczny.
- Kadrow, S.
1994. Co datują laboratoria radiowęglowe? *Światowit* XXXIX:143–151.
- Khomiakova O.
2021. Sambian-Natangian hillforts in the 1st-millennium AD settlement system of the southeastern Baltic region, [w:] T. Ibsen, K. Ilves, B. Maixner, S. Messal i J. Schneeweiß (red.), *Fortifications in their Natural and Cultural Landscape: From Organising Space to the Creation of Power*: 35–49. Schriften Des Museums Für Archäologie Schloss Gottorf 15. Bonn: Habelt-Verlag.
- Khomiakova O., I. Skhodnov i S. Chaukin
2019. Hillforts of the Central Nadruvians: a case study of settlement patterns and social organization in former East Prussia in the first half of the 1st millennium AD. *Archaeologia Lituana* 19: 78–99.
DOI: 10.15388/ArchLit.2018.19.5
- Klimek, R.
2017. Obraz rzeki Pasłęki na nieznannej mapie archiwalnej, [w:] M. Dzik i G. Śnieżko (red.), *Fines testis temporum. Studia ofiarowane Profesor Elżbiecie Kowalczyk-Heyman w pięćdziesięciolecie pracy naukowej*: 197–219. Rzeszów: Oficyna Wydawnicza Ziemowit.
2021. Pierwsze kościoły na Warmii i ich wpływ na rozwój dróg lokalnych. *Komunikaty Mazursko-Warmińskie* 3(313): 459–472.
DOI: 10.51974/kmw-141599
2022. Brody na Warmii w średniowiecznych dokumentach i na nowożytnych mapach rękopiśmiennych. *Komunikaty Mazursko-Warmińskie* 1(316): 123–143.
DOI: 10.51974/kmw-149251
- Kobylińska, U.
- 2017a. Tątlawki, st. 2: znaleziska, [w:] Z. Kobyliński (red.), *Katalog grodzisk Warmii i Mazur. Tom 2*: 118–132. Warszawa: Instytut Archeologii Uniwersytetu Kardynała Stefana Wyszyńskiego w Warszawie i Fundacja Res Publica Multiethnica.
- 2017b. Wieprz, st. 20: znaleziska, [w:] Z. Kobyliński (red.), *Katalog grodzisk Warmii i Mazur. Tom 2*: 249–259. Warszawa: Instytut Archeologii Uniwersytetu Kardynała Ste-
- fana Wyszyńskiego w Warszawie i Fundacja Res Publica Multiethnica.
- 2017c. Durąg, st. 1: znaleziska, [w:] Z. Kobyliński (red.), *Katalog grodzisk Warmii i Mazur 2*: 272–295. Warszawa: Instytut Archeologii Uniwersytetu Kardynała Stefana Wyszyńskiego w Warszawie i Fundacja Res Publica Multiethnica.
- 2017d. Podągi, st. 2: znaleziska, [w:] Z. Kobyliński (red.), *Katalog grodzisk Warmii i Mazur 1*: 444–459. Warszawa: Instytut Archeologii Uniwersytetu Kardynała Stefana Wyszyńskiego w Warszawie i Fundacja Res Publica Multiethnica.
- Kobylińska, U., R. Solecki i J. Wysocki
2017. Tątlawki, st. 2: chronologia stanowiska, [w:] Z. Kobyliński (red.), *Katalog grodzisk Warmii i Mazur 2*: 135–136. Warszawa: Instytut Archeologii Uniwersytetu Kardynała Stefana Wyszyńskiego w Warszawie i Fundacja Res Publica Multiethnica.
- Kondracki, J.
2002. *Geografia regionalna Polski*. Warszawa: Wydawnictwo Naukowe PWN.
- Kontny, B.
2005. Czas wojny czy czas dobrobytu? Zmiany w obrazie wyposażenia w broń grobów kultury przeworskiej w rozwiniętym odcinku fazy B2. *Studia i Materiały Archeologiczne* 12: 59–88.
- Koperkiewicz, A.
2023. Civitas Ylienburg. Głos wołającego na Puszczy (Galindzkiej) o ratunek dla pierwszych lokacji miejskich Warmii i Mazur. *Warmińsko Mazurski Biuletyn Konserwatorski* 15: 6–27.
- Kopiczko, A.
2018. Warmińska kapituła katedralna. Zarys dziejów. *Studia Elbląskie* XIX: 11–27.
2019. Parafia i kościół w Orniecie w świetle protokołu powizytacyjnego z 1798 r. *Archiwa, Biblioteki i Muzea Kościelne* 111: 129–145.
DOI: 10.31743/abmk.2019.111.07
- Kosmowska-Ceranowicz, B. i T. Pietrzak
1982. *Znaleziska i dawne kopalnie bursztynu w Polsce*. Warszawa: Wydawnictwa Geologiczne.
- Koziełto-Poklewski,
- 1973a. Dzieje powiatu, [w:] M. Lossman (red.), *Braniewo. Z dziejów miasta i powiatu*: 37–84. Olsztyn: Pojezierze.
- 1973b. Orneta, Pieniężno, [w:] M. Lossman (red.), *Braniewo. Z dziejów miasta i powiatu*: 137–169. Olsztyn: Pojezierze.
- Krause, E.
1976. Z problematyki badań tzw. „grodzisk stożkowatych” w Polsce. *Sprawozdania Archeologiczne* XXVIII: 283–284.
- Kruppé, J.
1981. *Garncarstwo późnośredniowieczne w Pol-*

- sce. Wrocław-Warszawa-Kraków-Gdańsk-Łódź: Zakład Narodowy im. Ossolińskich. Wydawnictwo Polskiej Akademii Nauk.
- Kubicki, R.
2012. *Młynarstwo w państwie Zakonu Krzyżackiego w Prusach w XIII–XV wieku (do 1454 r.)*, Gdańsk: Wydawnictwo Uniwersytetu Gdańskiego.
- Kurzyk, K. i A. Ostasz
2015. Osada kultury iwieńskiej z Mieścina, gm. Tczew, woj. pomorskie, stan. 17. *Pomorania Antiqua* XXIV: 105–130.
- Kuśnierz, J.
2005. Militaria z Czeramna nad Huczwą. Próba rekonstrukcji sposobu ataku Tatarów na gród (w 1240 r.) na podstawie dotychczasowych badań archeologicznych. *Acta Militaria Mediaevalia* 1: 115–132.
- Labuda, G.
1990. Podbój Prus w XIII wieku, [w:] M. Biskup (red.), *Ekspansja niemieckich zakonów rycerskich w strefie Bałtyku od XIII do połowy XVI wieku*: 31–50. Toruń: Instytut Historii Polskiej Akademii Nauk, Zakład Historii Pomorza.
- Lubowicka, A.M.
2011. Ceramika z najnowszych badań zamku krzyżackiego w Toruniu. O naczyniach i wiktuałach z krzyżackiej kuchni. *Rocznik Toruński* 38: 127–155.
- Łągiewka, M., L. Opyrchał i M. Wanat
2015. Rola obiektów hydrotechnicznych na obszarach objętych ochroną przyrody. *Przeegląd Naukowy – Inżynieria i Kształtowanie Środowiska* 69: 249–256.
- Łapo, J.M.
2009. Wokół Szwedzkiego Szańca. Echa Wojen Szwedzkich w ludowych podaniach historycznych i mikrotoponimii na obszarze dawnych Ziem Pruskich. *Pruthenia* 4: 241–286.
- Łukomiak, K.
2015. *Sposoby zamykania pomieszczeń i skrzyń w późnym średniowieczu na tle źródeł archeologicznych z terenu Polski*. Praca magisterska, promotor prof. nadzw. dr hab. Anna Marciniak-Kajzer, Instytut Archeologii, Uniwersytet Łódzki.
2016. Zamykanie pomieszczeń w późnośredniowiecznych siedzibach mieszkalno-obronnych na podstawie źródeł archeologicznych, [w:] K. Marinow, K. Szadkowski, K. Węgrzyńska (red.), *Varia Mediaevalia. Studia nad średniowieczem w 1050. Rocznice Chrztu Polski*: 141–154. Łódź: Wydawnictwo Uniwersytetu Łódzkiego. DOI: 10.18778/8088-325-3.14
- Majewski, M.
2017. Plomby ołowiane, [w:] M. Majewski i K. Stań (red.), *Archeologia Stargardu. Badania na Rynku Staromiejskim*: 117–125. Stargard: Muzeum Archeologiczno-Historyczne w Stargardzie.
- Marciniak-Kajzer, A.
2006. Późnośredniowieczny dwór rycerski w Leszczu. Przyczynek do dyskusji na temat funkcji niektórych siedzib możnowładczych. *Komunikaty Mazursko-Warmińskie* 1:7–17.
2011. *Średniowieczny dwór rycerski w Polsce. Wizerunek archeologiczny*. Łódź: Wydawnictwo Uniwersytetu Łódzkiego.
2016. *Archaeology on Medieval Knights' Manor Houses in Poland*. Łódź-Kraków: Wydawnictwo Uniwersytetu Łódzkiego, Wydawnictwo Uniwersytetu Jagiellońskiego.
2018. Gródki stożkowate czy zamki typu motte. *Archaeologia Historica Polona* 26: 59–70.
- Marcinkowski, M.
2011. *Fajans pomorski ze Starego Miasta w Elblągu*, Elbląg.
2013. Cechy obce i lokalne w średniowiecznej i nowożytniej ceramice elbląskiej. Zarys problematyki na podstawie wybranych przykładów. *Archaeologia Historica Polona* 21: 239–255. DOI: 10.12775/AHP.2013.011
- Mączyńska, M.
2019. Faza C3 w kulturze wielbarskiej – próba wyróżnienia. *Wiadomości Archeologiczne* LXX: 43–63. DOI: 10.36154/wa.70.2019.02
- Melcher, B. i A. Melcher
1903. *Handbuch des Grundbesitzes im Deutschen Reiche. Dritte Lieferung: Provinz Ostpreussen. Mit einer Karte der Provinz Ostpreussen*. Berlin: Verlag des Königlichen Statistischen Landesamts.
- Michalik, P.
2007. *Późnośredniowieczne i wczesnonowożytnie noże z zamku w Pucku*. Światowit Supplement Series P: Prehistory and Middle Ages 15, Warszawa: Instytut Archeologii Uniwersytetu Warszawskiego.
- Nadolski, A.
1954. *Studia nad uzbrojeniem polskim w X, XI i XII wieku*. Łódź: Zakład im. Ossolińskich we Wrocławiu.
- Okulicz, Ł.
1970. *Kultura kurhanów zachodniobałtyjskich we wczesnej epoce żelaza*. Wrocław: Zakład Narodowy im. Ossolińskich, Wydawnictwo Polskiej Akademii Nauk.
- Okulicz, J.
1973. *Pradzieje ziem pruskich od późnego paleolitu do VII w. n.e.* Wrocław-Warszawa-Kraków-Gdańsk: Zakład Narodowy Imienia Ossolińskich, Ośrodek Badań Naukowych Imienia Wojciecha Kętrzyńskiego w Olsztynie.
- Oniszcuk A.
2013. *Życie odbite w naczyniu. Konsumpcja*

- luksusowa i codzienna w Gdańsku w XVII–XIX wieku na podstawie naczyń ceramicznych z terenu Centrum Dominikańskiego i kwartału Długi Targ - Powroźnicza, T. I. Warszawa.
- Pasierb, B.
2012. Techniki pomiarowe metody elektrooporowej. *Czasopismo Techniczne. Środowisko* 109/2: 191–199.
- Pilø, L.
2011. The Pottery, [w:] D. Skre (red.), *Things from the Town: Artefacts and Inhabitants in Viking-Age Kaupang. Volume 3*: 281–304. Aarhus: Aarhus University Press. DOI: 10.2307/jj.608256.12
- Piotr z Dusburga.
1679. *Ordinis Teutonicis Sacerdotis, Chronicon Prussiae, in quo Ordinis Teutonicis origo, nec non res ab ejusdem Ordinis magistris ab An. MCCCXXVI. usque ad An. MCCCXXVI. in Prussia gestae exponuntur, cum incerti auctoris continuatione usque ad Annum MCCCCXXXV.*
- Pollakówna, M.
1953. *Osadnictwo Warmii w okresie krzyżackim.* Poznań: Instytut Zachodni.
- Pończyński, Ł.
2017. Ołowiane plomby towarowe z Gdańska, Długich Ogrodów, stanowisko 86. *Gdańskie Studia Archeologiczne* 6: 201–216.
- Popkiewicz, E. i J. Czebreszuk
2016. Wiedza i umiejętności rzemieślników obrabiających bursztyn w epoce brązu. Studium archeologii eksperymentalnej na przykładzie produkcji bursztynowego pektorału kultury mykeńskiej. *Fontes Archaeologici Posnanienses* 52: 81–101.
- Purowski, T.
2008. Wyniki badań wykopaliskowych osady obronnej w Tarławkach, pow. węgorzewski. *Wiadomości Archeologiczne* LX: 335–360.
- Rabek, W. i M. Narwojsz
2014. *Objaśnienia do Szczegółowej Mapy Geologicznej Polski: 1:50.000. Arkusz Orneta (97).* Warszawa: Państwowy Instytut Geologiczny.
- Rabek, W. i A. Młynczak
2002. *Objaśnienia do Szczegółowej Mapy Geologicznej Polski: 1:50.000. Arkusz Pieniężno (61).* Warszawa: Państwowy Instytut Geologiczny.
- Rabek, W. i B. Świerszcz
2002. *Objaśnienia do Szczegółowej Mapy Geologicznej Polski: 1:50.000. Arkusz Chruściel (60).* Warszawa: Państwowy Instytut Geologiczny.
- Rabiega, K., F. Welc, R. Solecki i B. Nowacki
2021. Wyniki badań na stanowisku Wysoka Wieś, stan. 8, pow. ostródzki, [w:] R. Solecki (red.), *Interdyscyplinarne badania wielofazowych osiedli obronnych z Pojezierza Hławskiego i Garbu Lubawskiego*: 71–90. Archaeologica Hereditas. Prace Instytutu Archeologii Uniwersytetu Kardynała Stefana Wyszyńskiego w Warszawie 18. Warszawa: Wydawnictwo Naukowe Uniwersytetu Kardynała Stefana Wyszyńskiego w Warszawie.
- Rabiega, K., F. Welc, R. Solecki, B. Nowacki, A. Orłowska i J. Wysocki
2021. Wyniki badań na stanowisku Stańkowo, stan. 1, pow. kwidziński, [w:] R. Solecki (red.), *Interdyscyplinarne badania wielofazowych osiedli obronnych z Pojezierza Hławskiego i Garbu Lubawskiego*: 21–42. Archaeologica Hereditas. Prace Instytutu Archeologii Uniwersytetu Kardynała Stefana Wyszyńskiego w Warszawie 18. Warszawa: Wydawnictwo Naukowe Uniwersytetu Kardynała Stefana Wyszyńskiego w Warszawie.
- Radkowski, J. i J. Wysocki
2016. Wstęp do problematyki gródków stożkowatych z terenu średniowiecznego państwa zakonu krzyżackiego, znajdujących się na obszarze województwa warmińsko-mazurskiego, [w:] Z. Kobyliński (red.), *Grodziska Warmii i Mazur 2. Nowe badania i interpretacje*: 295–385. Archaeologica Hereditas. Prace Instytutu Archeologii Uniwersytetu Kardynała Stefana Wyszyńskiego w Warszawie 7. Warszawa: Instytut Archeologii UKSW, Fundacja Res Publica Multiethnica.
- Rogosz, R.
1983. Obróbka i zastosowanie żelaza, [w:] E. Cnotliwy, L. Leciejewicz i W. Łosiński (red.), *Szczecin we wczesnym średniowieczu. Wzgórze Zamkowe*: 262–267. Wrocław-Warszawa-Kraków-Gdańsk-Łódź: Zakład Narodowy Imienia Ossolińskich, Wydawnictwo Polskiej Akademii Nauk.
- Rutkowska, P.
2020. *Przebieg procesu bielcowania w cyklu uprawy monokultur sosnowych w wybranych obszarach piaszczystych Polski Północnej.* Doktorat przygotowany w Katedrze Gleboznawstwa i Kształtowania Krajobrazu Uniwersytet Mikołaja Kopernika w Toruniu.
- Rutyna, M.
2017. Strużyna, st. 21: znaleziska, [w:] Z. Kobyliński (red.), *Katalog grodzisk Warmii i Mazur 2*: 79–88. Warszawa: Instytut Archeologii Uniwersytetu Kardynała Stefana Wyszyńskiego w Warszawie i Fundacja Res Publica Multiethnica.
- Schuldt, E.
1981. *Gross Raden. Die Keramik einer slawischen Siedlung des 9./10. Jahrhunderts.* Berlin: VEB Deutsches Verlag der Wissenschaften.

- Siczek, Ł.
2016. Gwoździe jako zabytek archeologiczny. Materiały z badań zamku Chojniku. *Śląskie Sprawozdania Archeologiczne* 58: 165–179.
DOI: 10.17427/SSA16009
- Solecki, R.
2017a. Strużyna, st. 24: znaleziska, [w:] Z. Kobyliński (red.), *Katalog grodzisk Warmii i Mazur. Tom 2*: 101–105. Warszawa: Instytut Archeologii Uniwersytetu Kardynała Stefana Wyszyńskiego w Warszawie i Fundacja Res Publica Multiethnica.
2017b. Grabin, st. 1: znaleziska, [w:] Z. Kobyliński (red.), *Katalog grodzisk Warmii i Mazur. Tom 2*: 315–332. Warszawa: Instytut Archeologii Uniwersytetu Kardynała Stefana Wyszyńskiego w Warszawie i Fundacja Res Publica Multiethnica.
2021. (red.) *Interdyscyplinarne badania wielofazowych osiedli obronnych z Pojezierza Hławskiego i Garbu Lubawskiego*. Archaeologica Hereditas. Prace Instytutu Archeologii Uniwersytetu Kardynała Stefana Wyszyńskiego w Warszawie 18. Warszawa: Wydawnictwo Naukowe Uniwersytetu Kardynała Stefana Wyszyńskiego w Warszawie.
2022a. Boreczno, st. 8: położenie grodziska i jego forma, [w:] R. Solecki (red.), *Katalog grodzisk Warmii i Mazur. Tom 3*: 192–194. Warszawa: Wydawnictwo Naukowe Uniwersytetu Kardynała Stefana Wyszyńskiego w Warszawie.
2022b. Winiec, st. 2: znaleziska, [w:] R. Solecki (red.), *Katalog grodzisk Warmii i Mazur. Tom 3*: 119–132. Warszawa: Wydawnictwo Naukowe Uniwersytetu Kardynała Stefana Wyszyńskiego w Warszawie.
- Solecki, R., F. Welc i B. Nowacki
2021. Wyniki badań na stanowisku Wysoka Wieś, stan. 7, pow. ostródzki, [w:] R. Solecki (red.), *Interdyscyplinarne badania wielofazowych osiedli obronnych z Pojezierza Hławskiego i Garbu Lubawskiego*: 91–105. Archaeologica Hereditas. Prace Instytutu Archeologii Uniwersytetu Kardynała Stefana Wyszyńskiego w Warszawie 18. Warszawa: Wydawnictwo Naukowe Uniwersytetu Kardynała Stefana Wyszyńskiego w Warszawie.
- Solecki, R. i J. Wysocki
2017. Wieprz, st. 20: położenie grodziska i jego forma, [w:] Z. Kobyliński (red.), *Katalog grodzisk Warmii i Mazur 2*: 243–244. Warszawa: Instytut Archeologii Uniwersytetu Kardynała Stefana Wyszyńskiego w Warszawie i Fundacja Res Publica Multiethnica.
- Solon, J., J. Borzyszkowski, M. Bidłasik, A. Richling, K. Badora, J. Balon, T. Brzezińska-Wójcik, Ł. Chabudziński, R. Dobrowolski, I. Grzegorzczak, M. Jodłowski, M. Kistowski, R. Kot, P. Krąż, J. Lechnio, A. Macias, A. Majchrowska, E. Malinowska, P. Migoń, U. Myga-Piątek, J. Nita, E. Papińska, J. Rodzik, M. Strzyż, S. Terpiłowski i W. Ziaja
2018. Physico-geographical mesoregions of Poland: Verification and adjustment of boundaries on the basis of contemporary spatial data. *Geographia Polonica* 91/2: 143–170.
DOI: 10.7163/GPol.0115
- Sowiński, T.
2015. *Z biegiem Wąszy. Szlaki dydaktyczno-historyczne w gminie Pieniężno*. Pieniężno: Urząd Miejski w Pieniężnie.
- Starski, M.
2009. Późnośredniowieczne naczynia gliniane z zamku w Pucku. *Studia i Materiały Archeologiczne* 14: 195–284.
- Szczygieł, K.
2024. Wyniki analizy szczątków zwierzęcych pochodzących z warstw kulturowych grodzisk badanych w ramach projektu „Katalog grodzisk Warmii i Mazur. Część 2. Warmia Wschodnia”, [w:] R. Solecki (red.), *Grodziska Warmii i Mazur 3: Odkrywane na nowo*. Warszawa: Wydawnictwo Naukowe Uniwersytetu Kardynała Stefana Wyszyńskiego w Warszawie.
- Thielen, P. G.
1958. *Das grosse Zinsbuch des Deutschen Ritterordens (1414–1438)*. Marburg: N.G. Elwert Verlag.
- Wadył, S.
2013a. Wczesnośredniowieczny zespół osadniczy w Rejsytach, gm. Rychliki (stan. 1 i 2) w świetle wyników badań archeologicznych. *Pruthenia* VIII: 149–164.
2013b. Wczesnośredniowieczna ceramika naczyniowa z mezoregionu dorzecza górnej Drwęcy. *Acta Universitatis Nicolai Copernici* XXXIII: 129–152.
DOI: 10.12775/AUNC_ARCH.2013.007
2015. Wczesnośredniowieczna ceramika naczyniowa z mikro-regionu Baldram-Podzamcze, gm. Kwidzyn. *Pomorania Antiqua* 24: 411–452.
2018. Ostroga z zaczepami haczykowatymi zaagiętymi do wnętrza z Bornit, pow. braniewski. *Pomorania Antiqua* XXVII: 241–254.
2019. *Studia nad kształtowaniem się pogranicza pomorsko- i mazowiecko-pruskiego we wczesnym średniowieczu*. Olsztyn: Oficyna Wydawnicza Pruthenia.
2022. Wprowadzenie, [w:], S. Wadył (red.), *Miejsce, które rodziło władzę. Gród z początków wczesnego średniowiecza w Pasyumi*

- na Pojezierzu Mazurskim: 13–19. Warszawa: Wydział Archeologii Uniwersytetu Warszawskiego.
DOI: 10.47888/9788366210301.13-19
- Wadył, S. i K. Martyka
2019. Nowy element układanki. Wczesnośredniowieczne grodzisko w Bornitach koło Pieniężna. *Slavia Antiqua* LX: 75–93.
DOI: 10.14746/sa.2019.60.4
- Wadył, S., K. Martyka i D. Malarczyk
2018. Wczesnoabbasydzkie dirhamy z nowo odkrytego grodziska w Bornitach koło Pieniężna. *Wiadomości Numizmatyczne* 62/1–2(205–206): 129–143.
DOI: 10.24425/wn.2018.125040
- Waluś, A.
1987. Wstępne wyniki badań cmentarzyska kurhanowego w miejscowości Piórkowo, gm. Płoskinia, woj. elbląskie [w:] A. Pawłowski (red.), *Badania archeologiczne w województwie elbląskim w latach 1980–83*: 177–192. Malbork: Muzeum Zamkowe.
1990. „Łużycka” faza cmentarzyska kultury kurhanów zachodniobałtyjskich w Piórkowie, woj. elbląskie, [w:] T. Malinowski (red.), *Problemy kultury łużyckiej na Pomorzu*: 117–132. Słupsk: Wyższa Szkoła Pedagogiczna w Słupsku.
1992. Cmentarzysko kurhanowe w Piórkowie, woj. elbląskie, w świetle prac wykopaliskowych przeprowadzonych w latach 1984–1987. *Światowit Supplement Series B: Barbaricum* 2: 39–52.
- Waluś A. i B. Kowalewska
1999. *Kurhan I i II z cmentarzyska w Stolnie, gm. Miłakowo, woj. warmińsko-mazurskie*. (= Światowit Supplement Series P: Prehistory and Middle Ages 1). Warszawa: Uniwersytet Warszawski.
- Wiewióra, M.
2016. Gród i zamek w państwie krzyżackim – miejsce tradycji czy tradycja miejsca? *Archaeologia Historica Polona* 24: 195–231.
DOI: 10.12775/AHP.2016.010
- Woelky, C.P. i J.M. Saage
1860. *Codex diplomaticus Warmiensesis oder Regesten und Urkunden zur Geschichte Ermlandes. Bd. 1: Urkunden der Jahre 1231–1340*. Mainz: Verlag von Franz Kirchheim.
- Woelky, C.P.
1874. *Codex diplomaticus Warmiensesis oder Regesten und Urkunden zur Geschichte Ermlands. Bd. 3, Urkunden der Jahre 1376–1424 nebst Nachträgen*. Braunschweig-Leipzig: Eduard Peter.
- Wołagiewicz, R.
1993. *Ceramika kultury wielbarskiej między Bałtykiem a Morzem Czarnym*. Szczecin: Muzeum Narodowe.
- Woźniakowski, A.
2017. *Trójkąt Lidzbarski odcinek 1 Frombork – Płoskiński Młyn. Mapa turystyczna fortyfikacji na terenie Nadleśnictwa Zaporowo*. Wejherowo: Casamata.
- Wólkowski, W.
2017. Początki zamków warmińskich – problem pierwotnych układów funkcjonalno-przestrzennych zamków dominium warmińskiego do połowy XIV w., [w:] A. Bocheńska i P. Mrozowski (red.), *Początki mury wanych zamków w Polsce do połowy XIV w.*: 105–118. Warszawa: Arx Regia – Ośrodek Wydawniczy Zamku Królewskiego w Warszawie.
- Wyrobisz, A.
1968. *Szkło w Polsce od XIV do XVII wieku*. Wrocław-Warszawa-Kraków: Zakład Narodowy im. Ossolińskich, Wydawnictwo Polskiej Akademii Nauk.
- Wyszomirski, S. (tłum).
2011. *Piotr z Dusburga. Kronika ziemi pruskiej*. Toruń: Wydawnictwo Naukowe Uniwersytetu Mikołaja Kopernika.
- Voigt, J.
1830. *Geschichte Preussens : von den aeltesten Zeiten bis zum Untergange der Herrschaft des deutschen Ordens*. Tom 4 (= *Die Zeit von der Unterwerfung der Preussen 1283 bis zu Dieterichs von Altenburg Tod 1341*). Königsberg: Verlage der Gebrueder Borntrager.
- Żórawska, A.
2000. Osada ludności kultury kurhanów zachodniobałtyjskich w Piórkowie, woj. warmińsko-mazurskie. *Światowit* 2(43)/Fasc. B: 286–290.
2001. Bursztyn w kulturze kurhanów zachodniobałtyjskich. *Światowit* 3(44)/Fasc. B: 213–231.
- Żurowski, T.
1951. Fajki gliniane: z badań archeologicznych. *Ochrona Zabytków* 4/1–2(12–13): 39–57.

